

**СХІДНОУКРАЇНСЬКИЙ НАЦІОНАЛЬНИЙ УНІВЕРСИТЕТ
ІМЕНІ ВОЛОДИМИРА ДАЛЯ**

Факультет інженерії

Кафедра електричної інженерії

ПОЯСНЮВАЛЬНА ЗАПИСКА

**до кваліфікаційної магістерської роботи
ступінь вищої освіти магістр**

**галузі знань 14 Електрична інженерія
спеціальності 141 Електроенергетика, електротехніка та електромеханіка**

**на тему Дослідження енергоощадного частотного
асинхронного електроприводу**

Виконав: студент групи ЕЕ-22дм

Лочман П. Г.
(прізвище, та ініціали)

(підпис)

Керівник

доц. Руднєв Є. С.
(прізвище, та ініціали)

(підпис)

Завідувач кафедри

доц. Руднєв Є. С.
(прізвище, та ініціали)

(підпис)

Рецензент

доц. Іванов В. Г.
(прізвище, та ініціали)

(підпис)

Київ 2023 р.

Східноукраїнський національний університет імені Володимира Даля

(повне найменування вищого навчального закладу)

Інститут, факультет, відділення Факультет інженерії

Кафедра, циклова комісія Електричної інженерії

Ступень вищої освіти магістр

Напрям підготовки 14 Електрична інженерія
(шифр і назва)

Спеціальність 141 Електроенергетика, електротехніка та електромеханіка
(шифр і назва)

ЗАТВЕРДЖУЮ

Завідувач кафедри

доц. Руднєв Є. С.

“ ” 2023 року

З А В Д А Н Н Я
НА МАГІСТЕРСЬКУ РОБОТУ СТУДЕНТУ

Лочману Петру Григоровичу

(прізвище, ім'я, по батькові)

1. Тема проекту (роботи) Дослідження енергоощадного
частотного асинхронного електроприводу

керівник проекту (роботи) Руднєв Є. С. д-р. техн. наук, доцент
(прізвище, ім'я, по батькові, науковий ступінь, вчене звання)

затверджені наказом вищого навчального закладу від “23” 10 2023 р. № 564 / 15.23-С

2. Срок подання студентом проекту (роботи) 8 грудня 2023 р.

3. Вихідні дані до проекту (роботи) Вихідні дані визначені в переліку питань,
що підлягають розробці в магістерській роботі

4. Зміст розрахунково-пояснювальної записки (перелік питань, які потрібно розробити) енергозбереження в асинхронному електроприводі; розрахунок статичних характеристик АД при живленні від джерела напруги; залежності для побудови енергоефективних систем; моделювання енергозберігаючої системи електроприводу

5. Перелік графічного матеріалу (з точним зазначенням обов'язкових креслень)
плакати, що пояснюють суть магістерської роботи в кількості 10 шт.

6. Консультанти розділів проекту (роботи)

Розділ	Прізвище, ініціали та посада консультанта	Підпис, дата	
		завдання видав	завдання прийняв
1-4	доц. Руднєв Є. С.		

7. Дата видачі завдання 6 жовтня 2023 р.**КАЛЕНДАРНИЙ ПЛАН**

№ з/п	Назва етапів кваліфікаційної роботи	Строк виконання етапів роботи	Примітка
1	Енергозбереження в асинхронному електроприводі		
2	Розрахунок статичних характеристик АД при живленні від джерела напруги		
3	Залежності для побудови енергоефективних систем		
4	Моделювання енергозберігаючої системи електроприводу		

Студент

(підпис)

Лочман П. Г.

(прізвище та ініціали)

Керівник роботи

(підпис)

Руднєв Є. С.

(прізвище та ініціали)

РЕФЕРАТ

Магістерська робота на тему: «Дослідження енергоощадного частотного асинхронного електроприводу», містить 101 сторінку, 35 рисунків, 18 найменування літературних посилань, 1 додаток.

Об'єктом дослідження є електромагнітні, механічні і енергетичні процеси в асинхронному двигуні.

Предметом дослідження є електропривод за системою «тиристорний перетворювач напруги – асинхронний двигун» в якій забезпечується оптимальне керування.

Методи дослідження. При рішенні поставлених завдань використовувалися загальні методи автоматичного керування, чисельного рішення систем диференціальних рівнянь, методи математичного аналізу і математичного моделювання. Перевірка основних теоретичних положень і результатів виконувалася з використанням чисельного моделювання шляхом застосування пакетів розширення системи MATLAB / Simulink.

В пакеті MATLAB розроблені скрипт-програми розрахунку залежностей напруги і ковзання від координат стану АМ при яких забезпечується екстремальний характер енергопоказників: мінімум струму статора та мінімум реактивної потужності.

**АСИНХРОННИЙ ДВИГУН, ТИРИСТОРНИЙ ПЕРЕТВОРЮВАЧ,
МАТЕМАТИЧНА МОДЕЛЬ, ОПТИМАЛЬНЕ УПРАВЛІННЯ**

ЗМІСТ

Вступ.....	4
1 Енергозбереження в асинхронному електроприводі.....	7
1.1 Основні шляхи підвищення енергетичної ефективності асинхронних електроприводів.....	7
1.2 Енергетична ефективність асинхронних електроприводів.....	12
1.3 Електропривод з тиристорним регулятором напруги	19
1.4 Системи електроприводів «Тиристорний перетворювач напруги - асинхронний двигун».....	28
1.5 Оптимізація втрат і ККД в системах ТПН–АД при зміненні параметрів усталеного режиму	35
1.6 Системи ТПН–АД	41
2 Розрахунок статичних характеристик АД при живленні від джерела напруги	49
3 Залежності для побудови енергоефективних систем	53
4 Моделювання енергозберігаючої системи електроприводу.....	55
4.1 Модель асинхронної машини	55
4.2 Функціональна схема системи ТПН-АД. Робота системи.....	58
4.3 Структурна схема системи і оптимізація.....	59
4.4 Моделювання системи ТПН-АД в MATLAB / Simulink.....	62
Висновки	69
Перелік посилань	70
Додатки	72

ВСТУП

Об'єктом дослідження є електромагнітні, механічні і енергетичні процеси в асинхронному двигуні.

Предметом дослідження є електропривод за системою «тиристорний перетворювач напруги – асинхронний двигун» в якій забезпечується оптимальне керування.

Метою роботи є розробка системи електроприводу, яка має покращені енергопоказники в порівнянні з нерегульованим електроприводом.

Для досягнення поставленої мети поставлені наступні завдання:

- розрахунок статичних енергетичних характеристик асинхронного двигуна при живленні його змінною напругою різних рівнів при незмінній частоті;
- отримання залежностей напруги на двигуні від координат стану при яких забезпечується екстремальне значення енергопоказника;
- побудова системи електроприводу з використанням отриманих залежностей яка забезпечує автоматичну зміну напруги при зміні навантаження для забезпечення екстремального значення енергопоказника.

Зростаючі технологічні вимоги до якості виробничих процесів, необхідність впровадження високих технологій зумовлюють стійку тенденцію впровадження в різні галузі промислового і сільськогосподарського виробництва регульованих електроприводів.

Розвиток математичної теорії машин змінного струму, створення удосконалених силових напівпровідникових приладів і перетворювачів на їх основі, використання сучасних засобів управління, включаючи мікропроцесорні, дозволили створити високоякісні і надійні системи регульованих асинхронних електроприводів, які стають основним видом регульованого електроприводу. В 2002 р. на європейському ринку із загального числа проданих регульованих приводів електроприводи змінного струму склали 68%, електроприводи постійного струму - 15%, механічні та гіdraulічні приводи - 17%. Тенденція зростання частки впроваджуваних регульованих асинхронних електроприводів об'єктивно збережеться і надалі, так як масовий

регульований електропривод може бути реалізований тільки на базі асинхронних двигунів. Це пов'язано з тим, що в діапазоні потужностей до 100 кВт їх виробляється в 40–50 разів більше, ніж двигунів постійного струму.

Широке використання регульованих електроприводів привело до того, що сучасний електропривод є не тільки енергосиловою основою, що дозволяє забезпечити виробничі механізми необхідною механічною енергією, але і засобом управління технологічними процесами, тому що завдання по реалізації якості виробничих процесів в даний час в більшості випадків покладаються на системи управління регульованими електроприводами в поєднанні з системами технологічної автоматики. У зв'язку зі зростанням цін на енергоносії, зокрема на електроенергію, і обмеженими можливостями збільшення потужності енергогенеруючих установок проблема енергозбереження, в тому числі зниження електроспоживання, набуває особливої актуальності.

Енергозбереження стало одним з пріоритетних напрямків технічної політики у всіх розвинених країнах світу. Це пов'язано, по-перше, з обмеженістю і непоноавлюваністю основних енергоресурсів, по-друге, з безперервно зростаючими складнощами їх видобутку та вартістю, по-третє, з глобальними екологічними проблемами, які виникли на рубежі тисячоліть.

Енергозбереження є найбільш дешевим і безпечним способом збільшення енергогенеруючих потужностей, так як втрати на економію 1 кВт потужності обходяться в 4-5 разів дешевше, ніж вартість знову вводиться 1 кВт потужності.

Основні втрати (до 90%) припадають на сферу енергоспоживання, в якій повинні бути сконцентровані основні зусилля з енергозбереження електроенергії. Так як електроприводи споживають до 70% електроенергії, що виробляється, найбільш істотна економія електроенергії може бути досягнута при використанні регульованих електроприводів для управління технологічними процесами, що в поєднанні з можливостями автоматизації може забезпечити оптимальне використання електроенергії та інших ресурсів.

У зв'язку з тим що серед регульованих електроприводів домінуюче положення займають частотно-регульовані асинхронні електроприводи, їх масове застосування дозволяє вирішувати не тільки технологічні завдання, а й проблему енергозбереження.

1 ЕНЕРГОЗБЕРЕЖЕННЯ В АСИНХРОННОМУ ЕЛЕКТРОПРИВОДІ

1.1 Основні шляхи підвищення енергетичної ефективності асинхронних електроприводів

В даний час основним типом регульованого електроприводу є частотно-регульований асинхронний електропривод - система «напівпровідниковий перетворювач частоти - асинхронний двигун» (НПЧ-АД). Однак поряд з цим електроприводом в деяких випадках для вирішення окремих виробничих завдань і енергозбереження знаходить застосування система «тиристорний перетворювач напруги - асинхронний двигун» (ТПН - АД), що забезпечує регулювання напруги першої гармоніки напруги, що підводиться до статора.

В експлуатації також є електроприводи на основі асинхронних двигунів з фазовим ротором, регульовані за рахунок зміни додаткових опорів в роторних ланцюгах, так звані системи реостатного регулювання - «пристрій реостатного регулювання - асинхронний двигун з фазовим ротором» (ПРР-АДФР). Особливо багато таких електроприводів входить до складу підйомно-транспортних механізмів. З урахуванням наведених вище способів і систем керування асинхронними електроприводами можна окреслити такі напрями зниження споживання енергії АД.

Перший напрям пов'язаний зі зниженням втрат в електроприводі при виконанні ним заданих технологічних операцій по заданих тахограми і з певним режимом навантаження. Це електроприводи, що працюють в пускогальмівних режимах (кракти, ліфти, головні приводи слябінгів і блюмінгів, допоміжні позиційні механізми прокатних станів і т.д.) або тривалих режимах з повільно змінним навантаженням (насоси, вентилятори, компресори, транспортери і т.д.). У таких електроприводах за рахунок зниження втрат електроприводу в сталих і перехідних режимах можлива значна економія електроенергії. У кінематично пов'язаних електроприводах (рольганги,

багатодвигунні приводи візків і т.д.) рівномірний розподіл навантажень між двигунами дозволяє також мінімізувати втрати в них.

Другий напрямок пов'язаний зі зміною технологічного процесу на основі переходу до більш досконалих методів регулювання електроприводу і параметрів цього технологічного процесу. При цьому відбувається зниження споживання енергії електроприводом. Як приклад можна привести електроприводи турбомеханізмів (насосів, вентиляторів, турбокомпресорів), поршневих насосів та компресорів, транспортерів, систем регулювання співвідношення паливо-повітря і ін. При цьому, як правило, ефект не обмежується економією електроенергії в електроприводі, у багатьох випадках можлива економія ресурсів (води, твердого та рідкого палива і т.д.).

Для обох названих напрямів характерним є те, що в них знижується споживання енергії саме в електроприводі: в першому випадку за рахунок зниження втрат енергії, у другому за рахунок використання менш енерговитратного з боку електроприводу управління технологічним процесом.

Можна назвати і третій напрямок, що забезпечує реалізацію енергозберігаючих технологій. Відомо, що є ряд технологічних процесів, де електропривод порівняно невеликої потужності управлює потоком енергії, потужність якого в десятки і сотні разів перевищує потужність електроприводу. До таких об'єктів можна віднести дугові сталеплавильні печі постійного і змінного струму, вакуумні дугові печі, рудо-відновлювальні печі, установки індукційного нагріву і т.д. На них електроприводи потужністю в кілька кіловат можуть управляти процесом, який споживає десятки і навіть сотні мегават. Очевидно, що від досконалості електроприводу, його швидкості та точності, ступеня автоматизації процесу багато в чому залежить ефективне використання таких значних обсягів енергії. Цей напрямок не пов'язаний зі зменшенням потоку енергії через електропривод, частіше споживання енергії електроприводом навіть збільшується.

Сформулюємо шляхи енергозбереження в асинхронному електроприводі.

В рамках першого напряму для зниження втрат енергії в асинхронному електроприводі можна використовувати наступні шляхи.

1. Обґрунтований вибір встановленої потужності двигуна, що відповідає реальним потребам керованого механізму. Це завдання пов'язано з тим, що коефіцієнт завантаження багатьох двигунів становить 50% і менше, що говорить або про низьку кваліфікацію розробників, або про недосконалість використаної методики розрахунку потужності електроприводу. Очевидно, що двигун заниженою потужності швидко виходить з ладу через перегрів, а двигун з великим запасом потужності перетворює енергію неефективно, тобто з високими питомими втратами в самому двигуні через низький ККД і в мережі живлення через низький коефіцієнт потужності. Тому перший шлях полягає в удосконаленні методик вибору потужності двигуна і перевірки його по нагріванню, а також в підвищенні кваліфікації розробників, проектувальників і обслуговуючого персоналу. На практиці зустрічаються випадки, коли двигун, який вийшов з ладу замінюються відповідним по висоті вала або його діаметру, а не по потужності. Існуючі методики вибору потужності двигуна і перевірки його по нагріванню можуть розглядатися лише як перше наближення. Необхідна розробка більш досконалих методик, заснованих на точному обліку режимів роботи електроприводу, зміні його енергетичних показників, теплових процесів в двигуні, стану ізоляції і т.д. Зрозуміло, це передбачає широке використання обчислювальної техніки і спеціального програмного забезпечення. Необхідна розробка більш досконалих методик, заснованих на точному обліку режимів роботи електроприводу, зміні його енергетичних показників, теплових процесів в двигуні, стану ізоляції і т.д. Зрозуміло, це передбачає широке використання обчислювальної техніки і спеціального програмного забезпечення. Необхідна розробка більш досконалих методик, заснованих на точному обліку режимів роботи електроприводу, зміні його енергетичних показників, теплових процесів в двигуні, стану ізоляції і т.д.

Зрозуміло, це передбачає широке використання обчислювальної техніки і спеціального програмного забезпечення.

2.Перехід на більш економічні двигуни, в яких за рахунок збільшення маси активних матеріалів (заліза і міді), застосування більш досконалих матеріалів і технологій підвищеної номінальні значення ККД і коефіцієнта потужності. Цей шлях, незважаючи на високу вартість таких двигунів, стає очевидним, якщо врахувати, що за даними західноєвропейських експертів, вартість електроенергії, споживаної щорічно середнім двигуном, в 5 разів перевершує його вартість. За час служби двигуна, а це десятки років, економія енергії значно перевищить капітальні витрати на таку модернізацію. Як вже зазначалося раніше, цей шлях поки не отримав належного визнання у вітчизняній практиці.

3.Перехід до більш досконалої з енергетичної точки зору системі електроприводу. Втрати енергії в перехідних режимах помітно змінюються при використанні реостатного регулювання, систем ТПН – АД і НПЧ – АД з мінімальними втратами при застосуванні частотно-регульованих електроприводів. Тому в рамках кожної з перерахованих систем є більш-менш вдалі в енергетичному і технологічному плані варіанти. Завданням проектувальника є грамотний і всебічно обґрунтований вибір конкретного технічного рішення.

4.Використання спеціальних технічних засобів, що забезпечують мінімізацію втрат енергії в електроприводі. Так як значна частина асинхронних електроприводів працює в умовах коли навантаження повільно змінюється (електроприводи турбомеханизмов, конвеєрів і т.д.), відхилення навантаження електроприводу від номінального погіршує енергетичні показники електроприводу. В даний час до таких засобів можна віднести пристрой регулювання напруги на двигуні відповідно до рівня його навантаження. Як правило, це або спеціальні регулятори напруги на основі ТПН, що включаються між мережею і статором двигуна, або перетворювачі частоти, в яких передбачений так званий режим енергозбереження. У першому випадку ТПН

виконує крім функції енергозбереження не менш важливі функції управління режимами пуску і гальмування іноді регулює швидкість або момент, здійснює захист, діагностику, т.і. Підвищує технічний рівень приводу в цілому. У другому випадку режим енергозбереження розглядається як додаткова опція перетворювача частоти і є лише в деяких типах перетворювачів. З урахуванням багатофункціональності застосування таких пристройів виявляються економічно доцільними для приводів зі змінним навантаженням навіть при їх відносно високій вартості. У другому випадку режим енергозбереження розглядається як додаткова опція перетворювача частоти і є лише в деяких випускаються типах перетворювачів.

5.Удосконалення алгоритмів керування електроприводом в системах ТПН – АД і НПЧ – АД на основі енергетичних критеріїв оцінки його якості, тобто удосконалення відомих рішень, розробка ефективних технічних засобів для їх здійснення і пошук нових рішень, оптимальних в енергетичному сенсі.

В рамках другого напрямку зниження споживання енергії вирішальне значення має переход від нерегульованого електроприводу до регульованого і підвищення рівня автоматизації за рахунок включення в контур регулювання ряду технологічних параметрів (тиску, витрати, температури і т.д.). Так як цей напрямок пов'язано зі зниженням споживання енергії електроприводом за рахунок зміни технологічного процесу, з'являється можливість регулювати які раніше не регулювали технологічні параметри або змінювати спосіб їх регулювання.

Для третього напряму зниження споживання енергії характерні удосконалення системи електроприводу в поєднанні з автоматизацією технологічного процесу і правильний вибір відповідного за якістю регулювання електроприводу з уже наявних або розробка нових, більш якісних систем.

Зауважимо, що при реалізації конкретних проектів виявляється, як правило, не один, а кілька можливих шляхів енергозбереження, тому для отримання максимального ефекту необхідний комплексний підхід до вирішення завдання енергозбереження в електроприводі.

Розглянемо деякі з перерахованих шляхів підвищення енергетичної ефективності асинхронного електроприводу.

1.2 Енергетична ефективність асинхронних електроприводів.

Деякі сучасні напівпровідникові перетворювачі (ТВП та НПЧ) у вигляді додаткової функції містять так званий режим енергозбереження. Розглянемо можливості цього режиму на прикладі перетворювача частоти зі скалярним керуванням.

Засобом додаткового енергозбереження при частотному управлінні асинхронним двигуном є розробка такого алгоритму управління, який оптимізував би магнітний потік. Оптимізація магнітного потоку дозволяє трохи знизити споживану потужність шляхом зниження рівня напруги при роботі в сталому режимі. У переходних режимах слід використовувати регулювання з номінальним потоком, так як робота з оптимальним за умовами енергозбереження магнітним потоком пов'язана з істотним зменшенням перевантажувальної здатності двигуна, що не дозволяє досягти необхідного динамічного моменту.

Для того щоб оцінити ефективність оптимізації магнітного потоку, можна скористатися Г-подібною схемою заміщення асинхронного двигуна в статичних режимах для аналізу усталених режимів роботи АД. Завдання полягає в тому, щоб при заданому моменті навантаження і заданій швидкості ротора визначити такі значення частоти і амплітуди напруги, при яких забезпечується мінімум втрат в двигуні. Так як при фіксованих моменті і швидкості механічна потужність не змінюється, то мінімум втрат відповідає мінімуму споживаної потужності і максимуму ККД двигуна. Отримання аналітичного виразу для амплітуди і частоти напруги утруднено через складність системи рівнянь асинхронного електроприводу, яка включає векторні величини і комплексні опору, залежні від ковзання і швидкості обертання магнітного поля. Замість цього наведемо результати чисельного рішення цих рівнянь без урахування

можливого змінення параметрів схеми заміщення. Алгоритм рішення виглядає наступним чином:

- задається момент навантаження M_c і кутова швидкість ω ;
- задається діюче значення напруги U_1 , прикладеної до двигуна;
- чисельно знаходиться така швидкість ω_0 , яка при розрахунок електромагнітного моменту M дає результат $M = M_c$;
- розраховуються сумарні втрати енергії в двигуні;
- в процесі розрахунку визначається точка з мінімумом втрат енергії і всі параметри, що відповідають цій точці.

Проаналізуємо деякі результати моделювання за вказаним алгоритмом для двигуна типу 4A160S2, що має $P_{ном} = 15$ кВт. На рис. 1.1 показані залежності втрат від амплітуди напруги і моментів навантаження при $\omega = \omega_{ном}$ (а) і $\omega = 0,5\omega_{ном}$ (б). Як видно на рис. 1.1, а, можливість зниження втрат є лише при моментах опору $M_c < 0,6M_{ном}$. Очевидно, що при зниженні швидкості діапазон моментів навантаження, в якому доцільно знижувати напругу, зменшується (див. рис. 1.1, б). В цьому випадку не розглядається можливість збільшення напруги, так як воно призведе до насичення магнітного ланцюга.

Можливості економії споживаної потужності при різних швидкостях і моментах двигуна типу 4A160S2 зведені в табл. 1.1, а на рис. 1.2 показана діаграма, яка наочно ілюструє економію споживаної потужності в залежності від швидкості і моменту статичного навантаження двигуна типу 4A160S2. Очевидно, що можливості економії знижаються при збільшенні моменту навантаження і зменшенні швидкості. У точці $M_c = 0,05M_{ном}$, $\omega = \omega_{ном}$ можна додатково заощадити 3,6% номінальної потужності. Якщо порівняти потужність, споживану в даному режимі до і після введення оптимізації, то отримана економія складе 40%. Однак вираз економії споживаної потужності у відсотках від номінальної потужності дає більш наочне уявлення про можливий ефект.

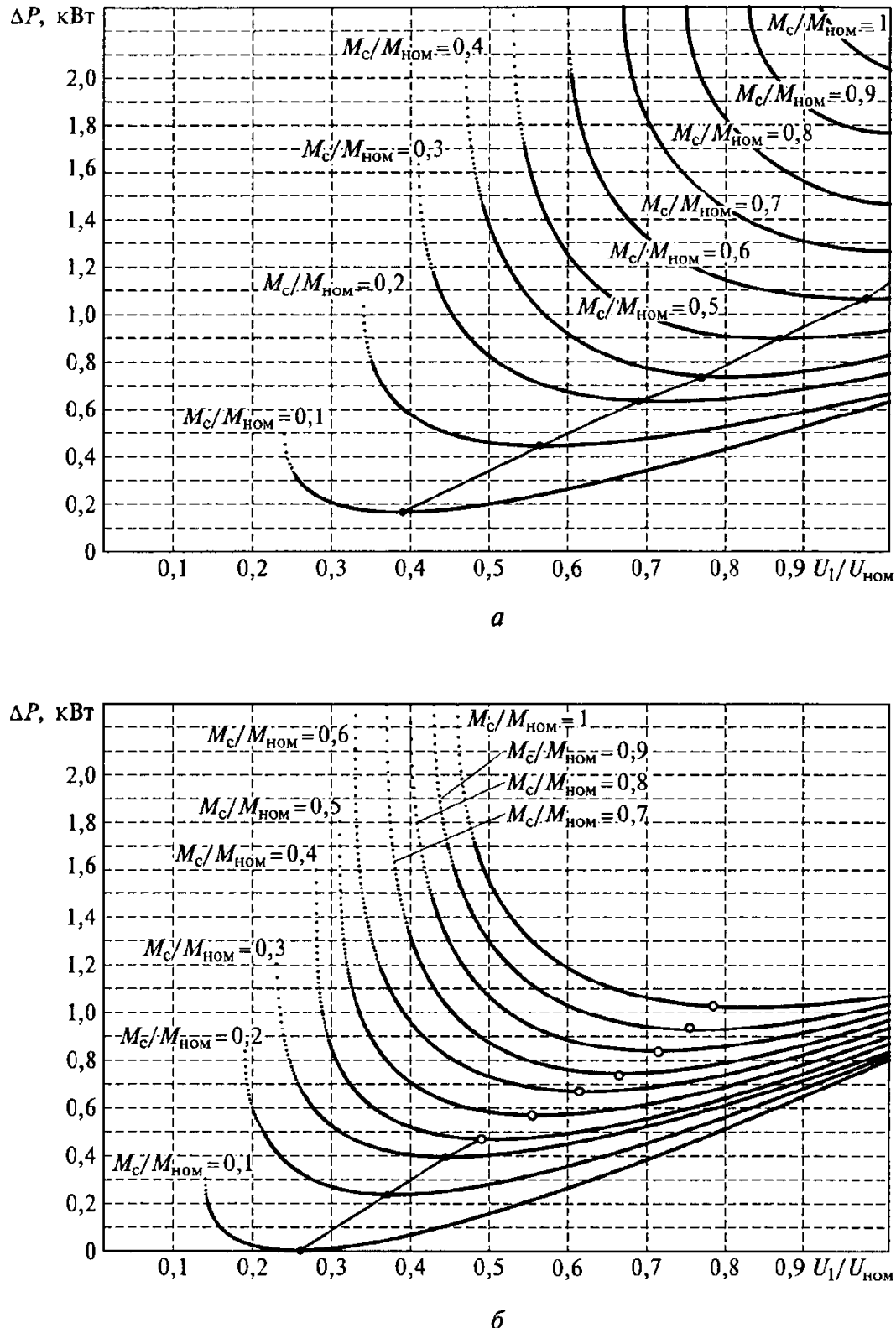


Рисунок 1.1 - Залежність втрат ΔP в АД типу 4A160S2 від амплітуди напруги при постійній швидкості і різних моментах навантаження
при $\omega = \omega_{\text{ном}}$ (а) і $\omega = 0.5\omega_{\text{ном}}$ (б)

Таблиця 1.1 - Економія споживаної потужності двигуна типу 4A160S2 в залежності від швидкості і моменту статичного навантаження $\Delta P / P_{\text{ном}}, \%$

$M_c / M_{\text{ном}}, \%$	$\omega / \omega_{\text{ном}}, \%$									
	10	20	30	40	50	60	70	80	90	100
5	0,26	0,36	0,52	0,75	1,05	1,41	1,85	2,37	2,96	3,61
10	0,12	0,2	0,34	0,53	0,78	1,1	1,49	1,95	2,47	3,07
15	0,03	0,09	0,19	0,34	0,55	0,82	1,16	1,56	2,03	2,57
20	0	0,02	0,08	0,18	0,35	0,58	0,86	1,21	1,63	2,11
25	0	0	0,01	0,08	0,2	0,38	0,61	0,91	1,26	1,69
30	0	0	0	0,01	0,08	0,21	0,4	0,64	0,94	1,31
35	0	0	0	0	0,02	0,09	0,23	0,42	0,67	0,98
40	0	0	0	0	0	0,02	0,1	0,25	0,43	0,69
45	0	0	0	0	0	0	0,02	0,11	0,25	0,43
50	0	0	0	0	0	0	0	0,03	0,12	0,26
55	0	0	0	0	0	0	0	0	0,02	0,12
60	0	0	0	0	0	0	0	0	0	0,02

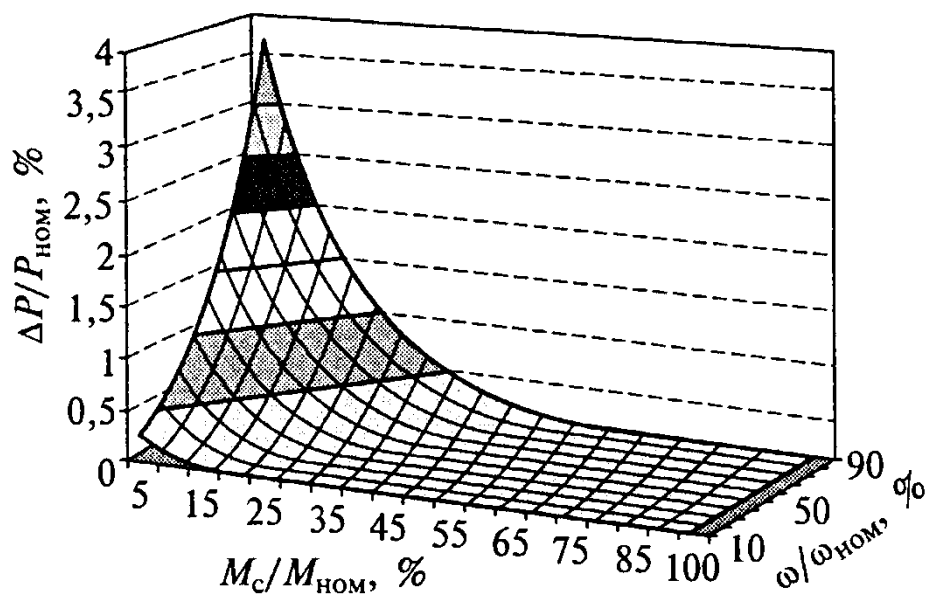


Рисунок 1.2 - Діаграма економії споживаної енергії двигуном типу 4A160S2

Аналогічні розрахунки були проведені для двигуна типу 4A80A4, який має Рном = 1,1 кВт. У точці Mc = 0,05Мном, ω = ωном можна заощадити до 13% номінальної потужності. При розрахунку в цій же точці для двигуна типу 4АН250М4 (Рном = 110 кВт) отримано 2,4% економії. Це підтверджує відомий факт збільшення ефективності енергозберігаючого режиму зі зменшенням потужності двигуна.

Енергозберігаючий режим може бути здійснений наступними способами:

- 1) підтримкою сталості $\cos\phi_1$;
- 2) підтриманням постійного ковзання;
- 3) управлінням з використанням моделі двигуна;
- 4) за допомогою пошукових алгоритмів.

Перераховані способи оптимізації, крім останнього, використовують інформацію про параметри двигуна, які, як правило, невідомі. Завантажувати систему скалярного управління завданнями ідентифікації не представляється доцільним. Тому найбільш надійним і незалежним від властивостей конкретного об'єкта управління методом оптимізації є пошукові алгоритми, які при розрахунку використовують тільки значення струмів і напруг.

У цьому випадку оптимальний режим досягається шляхом мінімізації споживаної потужності, розрахованої за формулою

$$P_1 = 3U_1I_1\cos\phi_1. \quad (1.1)$$

В процесі роботи система управління ітеративно (східчасто) змінює рівень напруги для відшукання точки найнижчий рівень споживання електроенергії. Критерієм пошуку може також служити максимум $\cos\phi_1$ або мінімум споживаного струму. Відшукання максимуму $\cos\phi_1$ не дає переваг перед мінімізацією потужності з точки зору обчислювальної складності, так як $\cos\phi$ розраховується також через вектори струму і напруги. Перевага в даному випадку полягає в тому, що максимум $\cos\phi$ виражений більш явно, ніж мінімум потужності, і він легше локалізується. Недоліком є невідповідність максимального і оптимального $\cos\phi$. Перевага мінімізації струму полягає в спрощенні реалізації алгоритму. Однак це спрощення несуттєво, так як на

практиці доводиться використовувати процедури обробки та фільтрації сигналів з датчиків струму. Додаткове введення в розрахунок вектора напруги не призводить до помітного ускладнення, так як можна використовувати задане значення цього вектора при здійсненні векторної ШІМ. Розрахунок косинусоїдальної функції також проводиться порівняно просто навіть при використанні щодо нескладних мікроконтролерів. Крім того, регулювання по мінімуму струму не відповідає регулюванню по мінімуму потужності.

При реалізації енергозберігаючого алгоритму виникає проблема зниження перевантажувальної здатності двигуна при зменшенні напруги живлення. Система управління повинна відновлювати магнітний потік при механічному збуренні, тобто реагувати на збільшення струму. Критичний момент в даному випадку пропорційний квадрату напруги і може бути розрахований за формулою

$$M_{\kappa} = \frac{3U_1^2}{2\omega_0 \left(R_1 + \sqrt{R_1^2 + \omega_0^2 (L_{1\sigma} + L_{2\sigma})^2} \right)} \quad (1.2)$$

Таким чином, найбільш прийнятним методом оптимізації енергоспоживання для перетворювачів зі скалярним керуванням слід визнати метод мінімізації споживаної потужності.

Як приклад на рис. 1.3 представлена характеристики процесу пуску і пошуку оптимального напруги при роботі АД в сталому режимі при фном ($P1^*$, $U1^*$, $I1^*$, ω^* і $\phi0^*$ дані в відносних одиницях, за базові величини прийняті їх номінальні значення).

Пошуковому алгоритму може знадобитися кілька десятків секунд для виявлення оптимальної точки, що робить його непридатним до використання в механізмах циклічної дії з малими циклами. Це обумовлює доцільність застосування алгоритму пошуку мінімуму споживаної потужності в електроприводах, які тривалий час працюють з постійними навантаженнями, значно меншими номінальних.

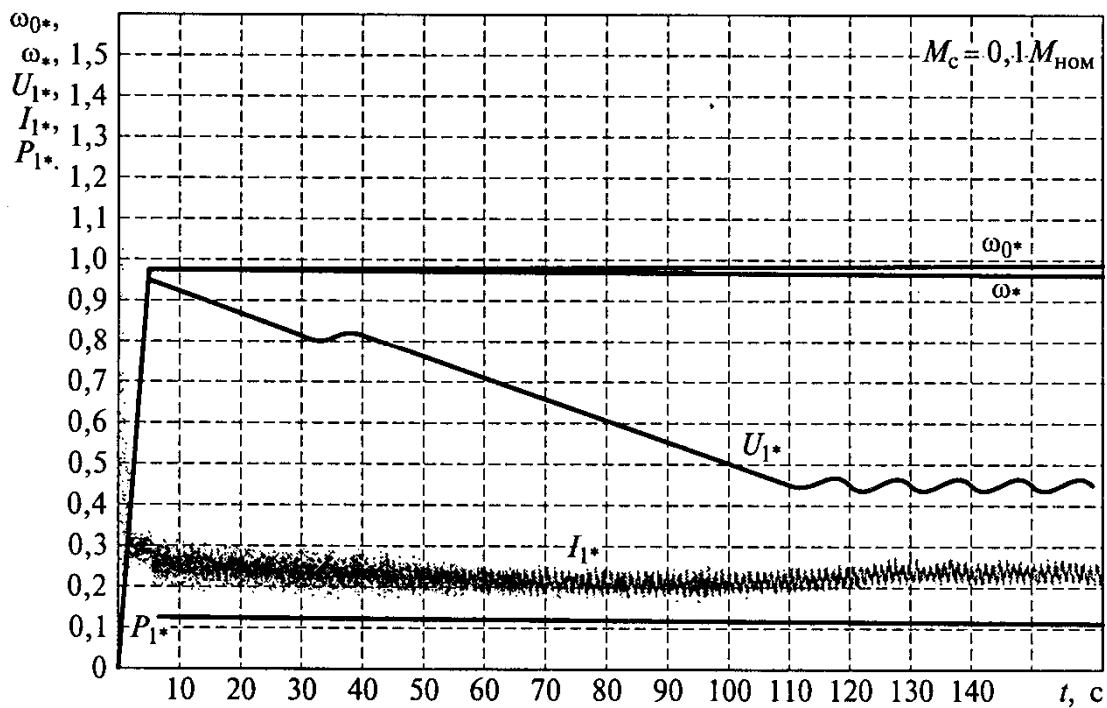


Рисунок 1.3 - Характеристики процесу пошуку оптимального напруги при роботі АД в сталому режимі при фном

Турбомеханизм характеризуються суттєвим зменшенням моменту навантаження зі зниженням швидкості, що, з одного боку, є перевагою з точки зору стійкості до зниження перевантажувальної здатності, а з іншого - не дозволяє отримати високу ефективність енергозберігаючого режиму, так як максимум економії досягається при максимальній швидкості і мінімумі моменту навантаження.

Можливість зниження напруги на статорі при зниженні навантаження на двигуні є також і в системі ТПН - АД.

1.3 Електропривод з тиристорним регулятором напруги

Поряд з перетворювачами частоти в регульованому асинхронному електроприводі іноді використовується тиристорний регулятор напруги (ТРН) (рис. 1.4). Він змінює амплітуду напруги, що підводиться до статора без зміни частоти, і використовується головним чином для управління пуском (м'які пускачі) і здійснення ряду інших корисних функцій.

Принцип дії тиристорного регулятора напруги розглянемо на прикладі регулювання напруги на однофазному навантаженні змінного струму за допомогою однофазного ТРН. Силова частина ТРН (рис. 1.4, а) утворена двома тиристорами VS1 і VS2, включеними в ланцюг навантаження за зустрічно-паралельною схемою, яка забезпечує протікання струму в навантаженні в обидва напівперіодах напруги мережі U1. Управління тиристорами здійснюється за допомогою системи імпульсно-фазового управління (СІФУ), яка подає на тиристори імпульси управління U_a і забезпечує їх зсув на кут управління α відповідно до величини зовнішнього сигналу управління U_y.

Якщо на тиристори VS1 і VS2 не подаються імпульси управління від СІФУ, то вони закриті і напруга на навантаженні U_{per} дорівнює нулю. При подачі на тиристори імпульсів управління в момент їх природного відкривання (кут управління α = 0) вони повністю відкриються (рис. 1.4, б) і до навантаження буде докладено напругу мережі U1 = U_{per} за вирахуванням невеликого (1 ... 3 В) падіння напруги на тиристорах.

Якщо здійснювати подачу імпульсів управління на тиристори з деякою затримкою щодо моменту їх природного відкриття (кут управління α ≠ 0), то до навантаження буде прикладатися частина напруги мережі (рис. 1.4, б). Змінюючи кут управління α від нуля до π, можна регулювати напругу на навантаженні від повної напруги мережі до нуля при незмінній частоті цієї напруги.

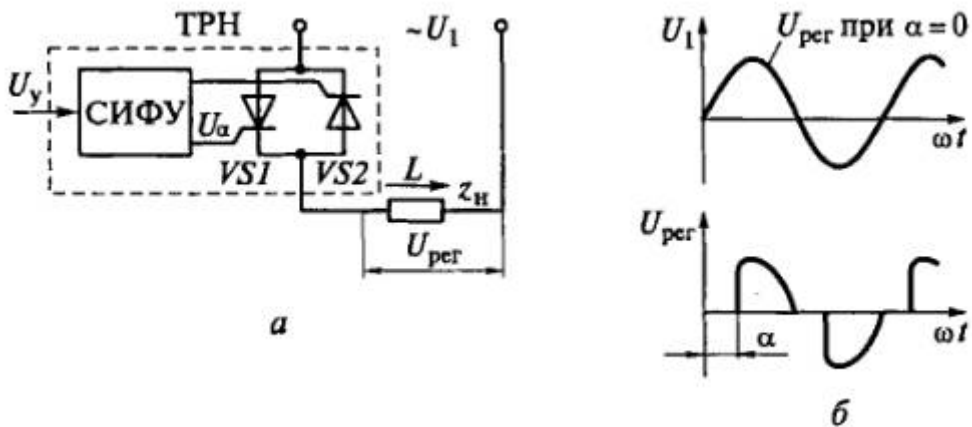


Рисунок 1.4 - Схема (а) і криві напруги (б) однофазного тиристорного регулятора напруги

При активному навантаженні ТРН крива струму I в навантаженні буде повторювати криву напруги на ній, а при активно-індуктивному характері навантаження буде від неї відрізнятися. Форма напруги на навантаженні є несинусоїдної. Несинусоїальну напругу можна подати як сукупність кількох синусоїальних напруг (гармонік). Частота зміни першої з них (основної гармоніки) дорівнює частоті напруги живлення, а частоти інших гармонік більше, ніж першої. Зазвичай 1-а гармоніка має найбільшу амплітуду і по ній ведуться всі основні розрахунки.

Закриття тиристорів в непровідний півперіод відбувається за рахунок напруги мережі (так звана природна комутація тиристорів), що дозволяє використовувати в схемах ТРН найбільш прості, надійні і дешеві одноопераційні тиристори.

На основі однофазної схеми (див. рис. 1.4, а) побудовані ТРН для регулювання напруги на трифазному навантаженні (рис. 1.5, а). Приклад силової частини схеми для регулювання напруги на статорі трифазного асинхронного двигуна АД, що складається з шести тиристорів VS1 ... VS6, наведено на рис. 1.5, б. За рахунок додавання в цю схему двох пар тиристорів створюються реверсивні схеми електроприводу, а за допомогою відповідного управління ТРН можуть забезпечувати і динамічне гальмування двигунів.

У схемах ТРН замість однієї пари зустрічно-паралельно включених тиристорів може застосовуватися напівпровідниковий прилад - симистор, що забезпечує протікання струму в навантаженні в обидва півперіоди напруги живлення і має такий же принцип дії, що і тиристор. Його застосування скорочує число електронних приладів вдвічі і спрощує схему СІФУ, хоча він і менш надійний в роботі.

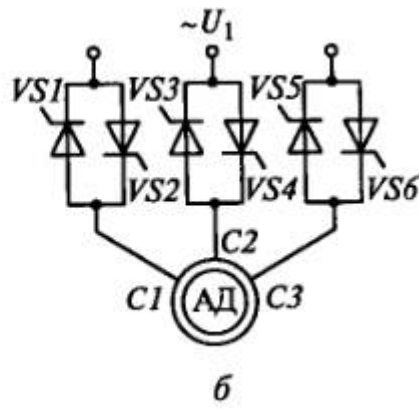
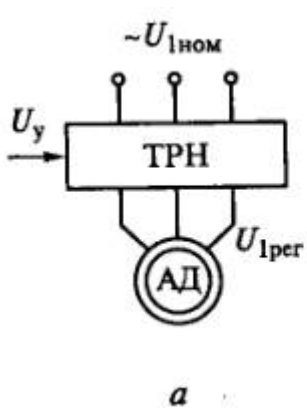


Рисунок 1.5 - Схеми включення тиристорного регулятора напруги на трифазне навантаження:
а - загальна; б - силовий частини

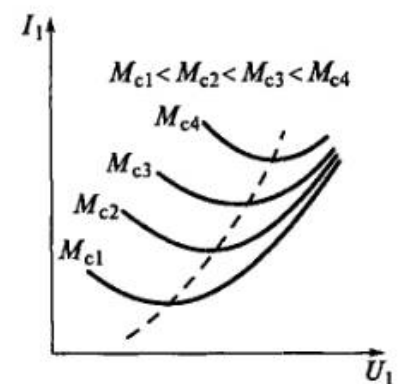


Рисунок 1.6 - U-подібні характеристики асинхронного двигуна

Тиристорні регулятори напруги знаходять широке застосування в електроприводах змінного струму, де за рахунок регулювання напруги на статорі асинхронних двигунів забезпечуються регулювання струмів і моментів двигунів в переходних режимах, симетрування струмів в фазах, ряд захистів двигуна і деякі інші опції. Одна з них пов'язана з підвищеннем енергетичних показників роботи асинхронних електроприводів при малих навантаженнях. Тиристорні регулятори напруги, які виконують цю функцію, отримали назву регуляторів економічності, або економайзерів.

Можливість енергозбереження цим способом ілюструють залежності струму статора I_1 від прикладеної до двигуна напруги U_1 (рис. 1.6) при різних моментах навантаження $M_c | < M_{c2} < M_{c3} < M_{c4}$. Ці залежності іноді називають U-подібними характеристиками двигуна. Як видно з графіків, при кожному

навантаженні двигуна є така напруга, при якій струм мінімальний. Зниження струму відбувається за рахунок зменшення його реактивної складової. За рахунок цього забезпечуються зниження втрат енергії в двигуні, підвищення його ККД і коефіцієнта потужності $\cos\varphi$.

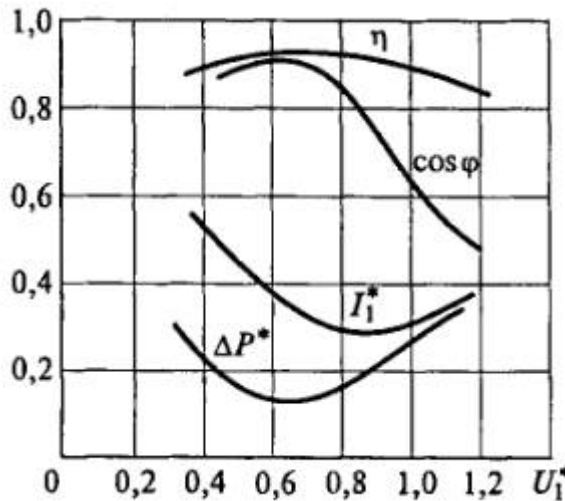


Рисунок 1.7 - Залежності струму статора, втрат потужності, ККД і коефіцієнта потужності від напруги

На рис. 1.7 показані побудовані для двигуна 4А180М4 потужністю 30 кВт залежності ККД η , $\cos\varphi$, відносних струму статора I_1^* і втрат потужності в двигуні ΔP^* від відносної напруги U_1^* при моменті навантаження M_c , рівному 20% від номінального. З кривих видно, що найкращих значень ці показники сягають при напругах, рівних 0,6 ... 0,8 номінального значення.

Досягнення екстремальних значень зазначених змінних може бути забезпечене за допомогою двох можливих схем включення асинхронного двигуна.

На рис. 1.8 приведена одна з них - схема з так званим екстремальним регулятором, що дозволяє мінімізувати споживання двигуном струм при різних навантаженнях M_c . Схема містить асинхронний двигун АД, ТРН зі схемою управління СУ, датчики струму ДТ і напруги ДН, функціональний перетворювач ФП і інерційну ланку ІЗ. За рахунок вибору характеристики ФП забезпечується мінімізація споживання струму при різних навантаженнях

двигуна, а інерційну ланку ІЗ спільно з негативним зворотним зв'язком по напрузі усуває можливі автоколивання в системі.

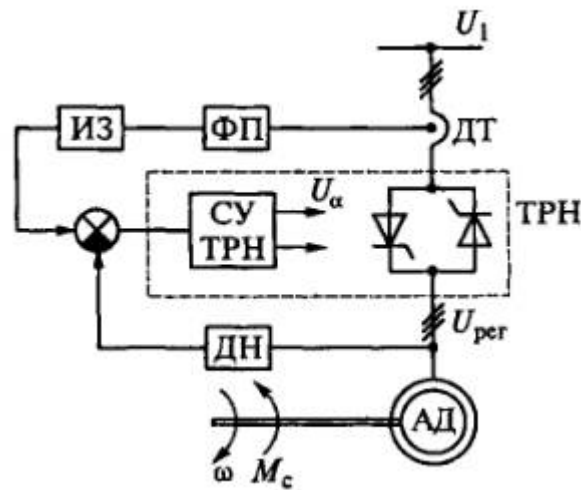


Рисунок 1.8 - Структурна схема електроприводу з екстремальним регулятором

Показано, що екстремальні значення змінних двигуна забезпечуються при певних (оптимальних) його ковзаннях, які повинні підтримуватися постійними при будь-яких навантаженнях. Ці ковзання сопт визначаються за формулами:

- при мінімізації струму статора –

$$s_{\text{опт}} = R'_2 / X_\mu; \quad (1.3)$$

- при мінімізації втрат потужності –

$$s_{\text{опт}} = (R'_2 \sqrt{(X_\mu^2 / R_\mu + R_l) / (R'_2 + R_l)}) / X_{k.3}; \quad (1.4)$$

- при мінімізації активної споживаної потужності –

$$s_{\text{опт}} = R'_2 \sqrt{1 + X_\mu^2 / (R_\mu R_l)} / X_\mu; \quad (1.5)$$

- при максимізації коефіцієнта потужності –

$$s_{\text{опт}} = R'_2 (R_l + \sqrt{R_l^2 + X_\mu X_{k.3}}) / (X_\mu X_{k.3}), \quad (1.6)$$

де R_1 , R_2 , R_μ - відповідно активні опори статора, наведене ротора і контуру намагнічування; X_μ , $X_{\text{к.з.}}$ - відповідно індуктивні опори контуру намагнічування і короткого замикання.

Значення струму статора при оптимальному ковзанні може бути обчислено за такою формулою:

$$I_{t \min} = \sqrt{2M_c \omega_0 / 3X_\mu}, \quad (1.7)$$

де M_c - момент навантаження двигуна; ω_0 - швидкість холостого ходу.

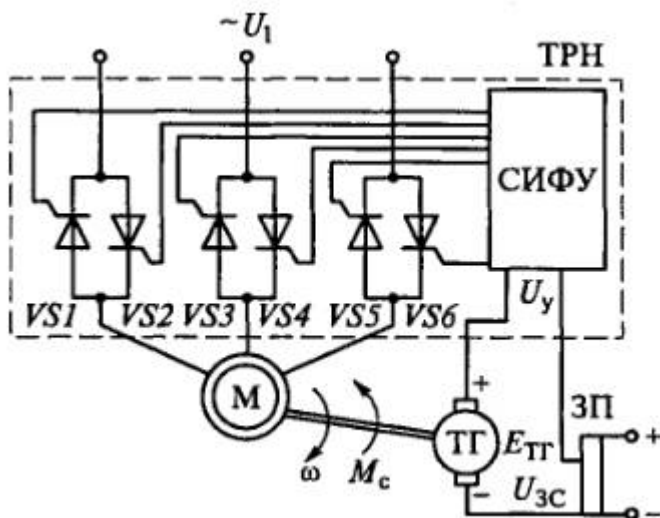


Рисунок 1.9 - Схема замкнутої системи ТРН - АД зі зворотним зв'язком за швидкістю

Необхідний рівень оптимального ковзання може бути реалізований в замкнутій за швидкістю системі ТРН-АД, схема якої приведена на рис. 1.9. На схемі позначено: ТГ - тахогенератор, ЗП - потенціометр завдання необхідної швидкості (ковзання) двигуна. Схема забезпечує підтримку швидкості зі змінами ковзання з певною точністю при змінах моменту навантаження M_c .

Як приклад проведено розрахунки по цим формулам стосовно до двигуна 4A200L6Y3, має наступні номінальні дані: $P_{\text{ном}} = 30 \text{ кВт}$; ковзання $s_{\text{ном}} = 0,021$; ток статора $I_{1\text{ном}} = 55,8 \text{ A}$; ККД $\eta_{\text{ном}} = 90,5\%$; $\cos\phi_{\text{ном}} = 0,9$. Результати розрахунків при моменті навантаження 29 Н м, що дорівнює 10% номінального моменту, наведені в табл. 1.3.

Таблиця 1.2 - Дані по оптимізації енергетичних параметрів

Спосіб оптимізації	$s_{\text{опт}}$	$\Delta P, \text{kVt}$	I_1, A	P_1, kVt	$\cos\varphi$
Мінімум втрат потужності ΔP	0,012	0,219	13,1	3,22	0,835
Мінімум струму статора I_1	0,006	0,271	11,8	3,29	0,678
Мінімум активної потужності P_1	0,014	0,223	13,9	3,21	0,858
Максимум $\cos\varphi$	0,024	0,278	17,2	3,24	0,881
Без оптимізації при $U = U_{\text{ном}} = \text{const}$	0,002	0,649	15,1	3,68	0,319

Результати розрахунків показують, що за рахунок регулювання напруги можливо приблизно в 2,5 -3 рази зменшити втрати потужності і підвищити $\cos\varphi$.

До появі доступних перетворювачів частоти в нашій країні робилися спроби використовувати ТРН для регулювання швидкості асинхронних двигунів насосів, що працюють в тривалому режимі.

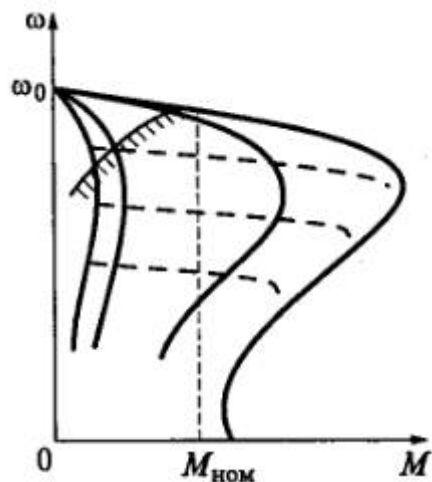


Рисунок 1.10 - Механічні характеристики асинхронного двигуна при регулюванні напруги на статорі

Теоретично таке регулювання, зване параметричним, можливо, оскільки механічні характеристики в розімкнутої системі мають вигляд, показаний на рис. 1.10 суцільними лініями, а при використанні негативного зворотного зв'язку по швидкості (див. рис. 1.9) - штриховими. Однак таке рішення пов'язане з технічним обмеженням, яке здійснює його практично недоцільним.

Втрати в роторному ланцюзі в номінальному режимі, які можна вважати допустимими, складають

$$\Delta P_{2\text{ном}} = M_{\text{ном}} \omega_0 s_{\text{ном}}; \quad (1.8)$$

втрати при регулюванні швидкості складають

$$\Delta P_{2\text{рег}} = M_{\text{доп}} \omega_0 s_{\text{рег}}. \quad (1.9)$$

прирівнявши $\Delta P_{2\text{рег}} = \Delta P_{2\text{ном}}$, отримаємо:

$$M_{\text{доп}} = M_{\text{ном}} s_{\text{ном}} / s_{\text{рег}}. \quad (1.8)$$

З формули (1.9) випливає, що допустиме навантаження різко падає зі зменшенням швидкості. При $s_{\text{ном}} = 0,03$ зниження швидкості всього на 15% ($s_{\text{рег}} \approx 0,15$) вимагає зниження моменту в 5 разів (рис. 1.10, лінія із зарубками).

У зв'язку з викладеним обмеженням використання ТРН в тривалому режимі навіть при сприятливій «вентиляторної» характеристиці навантаження ($M_C \sim \omega^2$) робить необхідним завищення потужності двигуна в 2,5 - 3 рази (збільшення $M_{\text{ном}}$), використання ротора з підвищеним опором ($s'_{\text{ном}} > s_{\text{ном}}$), застосування спеціальних засобів (вентилятор – «наїзник») для видування теплових втрат з двигуна. Це робить зовні привабливий спосіб регулювання швидкості неконкурентоспроможним.

1.4 Системи електроприводів «Тиристорний перетворювач напруги - асинхронний двигун»

Найбільш поширенна силова структура ТПН-АД, схема якої приведена на рис. 1.3, складається з шести тиристорів, включених попарно зустрічно-паралельно в статорні ланцюга трифазного асинхронного двигуна. Такий перетворювач призначений для регулювання 1-й, або основний, гармоніки живить двигун напруги зміною кута відкриття тиристорів а в діапазоні від $\alpha = \phi$ до $\alpha = 180^\circ$. В цьому випадку діюча фазна напруга першої гармоніки змінюється від $U_1 = U_{1\text{ном}}$ (де $U_{1\text{ном}}$ - діюча фазна номінальна напруга мережі живлення; ϕ - кут відставання струму від напруги при синусоїdalному живленні) до $U_1 = 0$ [6]. Частота змінної напруги основної гармоніки залишається незмінною і дорівнює частоті мережі, тобто $f_1 = f_{1\text{ном}}$. При такому управлінні синхронна швидкість асинхронного двигуна і критичне ковзання не змінюються, але регулюється момент двигуна $M = f(U_1^2)$.

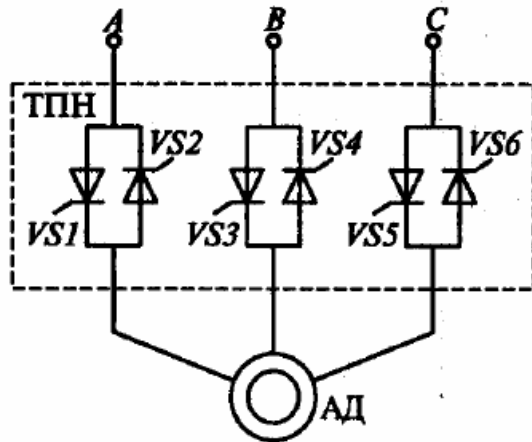


Рисунок 1.11 - Схема силової структури системи ТПН-АД

Відзначимо, що робота асинхронного двигуна на регулювальних характеристиках при: $U_1 < U_{1\text{ном}}$ відбувається в режимі переривчастого струму. В цьому випадку в спектрі несинусоїdalного періодичного струму при з'єднанні обмоток статора зіркою без нульового проводу в періодичному несинусоїдної струмі крім основної гармоніки присутні непарні гармоніки: 5-а,

7-а, 11-а, 1 13-я і т.д. При такому способі управління здійснюється дискретний вплив на асинхронний двигун і протягом періоду напруги живлення 0,02 с при $f_1 = 50$ Гц відбувається чергування схем підключення статорних ланцюгів двигуна до трифазної мережі в наступній послідовності: трифазне підключення, двофазне підключення різних фаз, відключення всіх фаз двигуна. У зв'язку з цим навіть в сталому режимі спостерігаються пульсації моменту двигуна з частотою 300 Гц (схема ТПН на рис. 1.3 має пульсність $p = 6$) і, якщо бути точним, статичний режим являє собою квазістатичний, або сталий динамічний, режим. Однак, як показано в [6], пульсуюча складова моменту практично не впливає на коливання швидкості і динаміку електроприводу і досить враховувати тільки гладку складову моменту, створювану основною гармонікою, тобто середній момент двигуна на розрахунковому інтервалі $M_{ср}$, який дорівнює M_c . Вищі гармоніки збільшують втрати в асинхронному двигуні, зростання яких оцінюється введенням в розрахункові формули втрат коефіцієнтів k_{p1} і k_{p2} . Для точного аналізу усталених режимів не можна користуватися однофазною схемою заміщення асинхронного двигуна для визначення значення 1-ї гармоніки, питомої ваги вищих гармонік і коефіцієнта потужності асинхронного електроприводу. Розрахунок зазначених та інших показників може бути точно виконаний при використанні диференціальних рівнянь асинхронної машини (1.3) з урахуванням алгоритму перемикання тиристорів при $\omega = \text{const}$ і $a = \text{const}$. При регулюванні U_1 за рахунок ТПН втрати в елементах асинхронного двигуна з короткозамкненим ротором при роботі в сталому режимі визначаються наступним чином [6]: $f_{1\text{ном}}$

$$\begin{aligned}\Delta P_{1m} &= k_{p1}^2 \Delta P_{1m\text{.ном}} M_{c*} \left[A \frac{S_{\text{ном}}}{S} + (1 - A) \frac{S}{S_{\text{ном}}} \right]; \\ \Delta P_{2m} &= k_{p2}^2 \Delta P_{2m\text{.ном}} M_{c*} \frac{S}{S_{\text{ном}}}; \\ \Delta P_{1c} &= \Delta P_{1c\text{.ном}} M_{c*} \left[B \frac{S_{\text{ном}}}{S} + (1 - B) \frac{S}{S_{\text{ном}}} \right].\end{aligned}\tag{1.11}$$

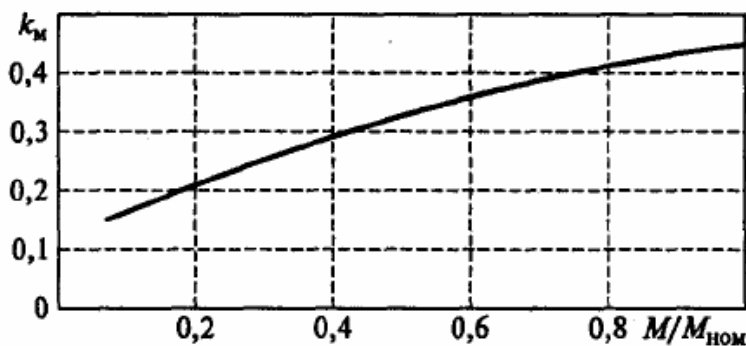


Рисунок 1.12 - Залежність $k_M = f(M)$ для двигуна МТ012-6 з закороченому ротором при $\omega = 0,6\omega_{ном}$

У формулах (1.11) замість швидкості використовується ковзання двигуна, що більш доцільно. $S = (\omega_0 - \omega)/\omega_0$.

Значення k_M може бути точно розраховане тільки із застосуванням ЕОМ при використанні математичного опису асинхронної машини по рівняннях (1.3) і (1.4) з урахуванням алгоритму перемикання тиристорів. На рис. 1.14 приведена залежність $k_M = f(M)$ для двигуна МТ012-6 з закороченому ротором при відносній швидкості. При розглянутому способі управління робота асинхронного двигуна на регулювальних характеристиках при зменшенні розвивається моменту (зростанні кута α) пов'язана зі значним зниженням коефіцієнта потужності, так як з ростом α збільшується фазовий зсув 1-ї гармоніки струму φ_1 і зменшується, що входить в формулу (2.5), але зростає питома вага вищих гармонік струму, що призводить до зниження k_M . Цей факт і показаний на рис. 1.14. При $\omega = 0,6\omega_{ном}$ в діапазоні зміни моменту від 0 до $M_{ном}$ асинхронний двигун працює в зоні переривчастих струмів. При визначенні ККД електроприводу в системах ТПН-АД можна не враховувати механічні та додаткові втрати і втрати в сталі ротора через їхню малість у порівнянні з іншими складовими втрат. Тоді формула для визначення ККД набуває такого вигляду: $\omega = 0,6\omega_{ном} \cos \varphi_1 \omega = 0,6\omega_{ном}$

$$\eta = \frac{M_c \omega}{M_c \omega + \Delta P_{1M} + \Delta P_{2M} + \Delta P_{1c}}. \quad (1.12)$$

При розрахунку η за формулою (2.20) з використанням рівнянь (2.19) необхідно підставити в (2.19) значення S , відповідні обраної швидкості.

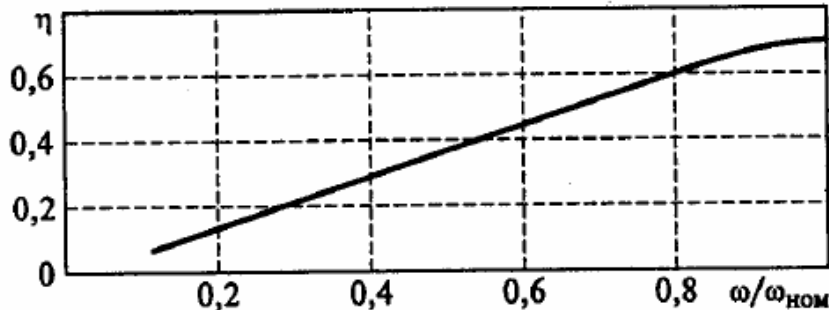


Рисунок 1.13 - Залежність ККД від швидкості двигуна при управлінні від ТПН для двигуна MTF111-6 з закороченою ротором

На рис. 1.16 приведена залежність ККД від швидкості двигуна при управлінні від ТПН для MTF111-6 з закороченою ротором. При розрахунку залежності прийнято, що $\kappa_{n1} = \kappa_{n2} = \kappa_n = 1,1$; $A = 0,861$; $B = 0,97$.

Енергія втрат в сташих режимах може бути визначена з використанням формул (2.19) шляхом множення потужності втрат $\Delta P_{1M}, \Delta P_{2M}, \Delta P_{1c}$ (при обраній швидкості ω і відповідному їй ковзанні S) на час роботи з усталеною швидкістю t_y .

Особливістю використання асинхронних короткозамкнених двигунів в системах ТПН-АД є те, що відносні втрати в роторі перевищують відносні втрати в інших елементах машини [6]. Тому встановлена потужність асинхронного двигуна ($P_{ном}$) повинна бути обрана таким чином, щоб у всьому діапазоні регульованих (знижених) швидкостей потужність втрат в роторі ΔP_{2M} була менше номінальної потужності втрат $\Delta P_{2M, nom}$. Тоді для забезпечення нормальног теплового режиму двигуна необхідно, щоб виконувалося така умова:

$$\Delta P_{2M} \leq \Delta P_{2m,nom}, \quad (1.13)$$

з якої випливає, що допустимий по нагріванню відносний момент двигуна $M_{don*} = M_{don}/M_{nom}$ при тривалому режимі роботи повинен бути:

$$M_{don*} = M_{don}/M_{nom} \leq S_{nom}/k_{n2}^2 S. \quad (1.14)$$

Для ілюстрації ступеня зниження M_{don*} при регулюванні швидкості (ковзання) в табл. 1.1 наведені значення M_{don*} при зміні швидкості двигуна від ω_{nom} до 0 (ковзання від SH0m до 1). При розрахунках прийнято значення $k_{n2}^2 = 1,1$; $S_{nom} = 0,04$.

З рівняння (2.22) і табл. 1.1 випливає, що тривале регулювання швидкості асинхронного електроприводу в системі ТПН-АД при $M_c = const$ практично неможливо, так як зі зростанням ковзання (при зниженні швидкості) в порівнянні з номінальними багаторазово зростають втрати в статорі і в роторі. В цьому випадку для забезпечення роботи короткозамкненого асинхронного двигуна без перегріву необхідно збільшення в кілька разів, а іноді і на порядок, номінальної потужності двигуна в порівнянні з максимальною потужністю статичного навантаження [6]. З урахуванням погіршення тепловіддачі самовентильованих електроприводів при зниженні швидкості залежність буде ще менш сприятливою. $M_{don*} = f(S)$

Таблиця 1.3 - Залежність відносного моменту M_{don}^* от ω/ω_{nom} и S

ω/ω_{nom}	1	0,937	0,833	0,625	0,416	0,208	0
S	0,04	0,1	0,2	0,4	0,6	0,8	1
M_{don*}	1	0,36	0,182	0,091	0,06	0,045	0,036

Залежності $k_m = f(M)$ і $\eta = f(\omega)$ (Див. рис. 1.14, 1.16) також підтверджують низьку енергетичну ефективність регульованих електроприводів по системі ТПН-АД, робота яких пов'язана з підвищеною

витратою електроенергії і низьким ККД. Однак існує ряд виробничих завдань, для вирішення яких за технологічними вимогами доцільно застосування систем ТПН-АД. У цих випадках їх використання дозволяє одночасно знижувати споживання електроенергії, виконуючи функцію енергозбереження [6]. Варіанти доцільного застосування систем ТПН-АД для управління асинхронним електроприводом з метою енергозбереження будуть розглянуті в гл. 3. Точний розрахунок пускотормозних режимів і визначення втрат енергії перехідних процесах в системах ТПН-АД не можна виконувати по статичним залежностям, так як електромагнітні перехідні процеси вносять істотні корективи в динамічні характеристики асинхронних електроприводів і впливають на енергоспоживання. Однак при використанні замкнутих по швидкості САУ, коли забезпечується рівномірно прискорений рух при розгоні електроприводу і двигун працює при, що послаблює вплив електромагнітних перехідних процесів, можна для попередніх розрахунків і порівняльного аналізу з іншими типами регульованих електроприводів визначати втрати енергії з використанням формул (2.19) для розрахунку потужності втрат в окремих елементах машини. У цьому випадку, з огляду на формули (2.15) і (2.16), $U_1 < U_{1\text{ном}} \omega = 0 \Rightarrow \omega = \omega_y$

$$\begin{aligned}\Delta W_{1M} &= \frac{k_{n1}^2 \Delta P_{1M,\text{ном}} M_* \dot{\omega}_0}{\varepsilon} \left[\frac{1-A}{2S_{\text{ном}}} (1 - S_y^2) - AS_{\text{ном}} \ln S_y \right]; \\ \Delta W_{2M} &= \frac{k_{n2}^2 \Delta P_{2M,\text{ном}} M_* \dot{\omega}_0}{\varepsilon} (1 - S_y^2); \\ \Delta W_{1c} &= \frac{\Delta P_{1c,\text{ном}} M_* \dot{\omega}_0}{\varepsilon} \left[\frac{1-B}{2S_{\text{ном}}} (1 - S_y^2) - BS_{\text{ном}} \ln S_y \right],\end{aligned}\tag{1.15}$$

де $S_y = \frac{\omega_0 - \omega_y}{\omega_0}$; М. - відносне значення моменту двигуна в перехідному режимі, $M_* =$ (як було сказано вище, приймається, що значення $M_* = \text{const}$). $M/M_{\text{ном}}$

Значення М залежить від необхідного динамічного моменту Мдин, виду моменту статичного навантаження (активний або реактивний) і визначається з тих же міркувань, які викладені в підрозділ. 2.2. Загальні втрати енергії в двигуні в перехідному режимі, що реалізується в системі ТПН-АД, визначаються як сума складових втрат, обчислених за формулами (1.15):

$$\Delta W_{\text{п,п}} = \Delta W_{1M} + \Delta W_{2M} + \Delta W_{1c}. \quad (1.16)$$

Уточнений розрахунок перехідних процесів і динамічних механічних характеристик асинхронного двигуна особливо в розімкнутих системах повинен здійснюватися з використанням системи диференціальних рівнянь асинхронної машини при змінному швидкості обертання, алгоритму перемикання тиристорів ТПН і часового закону зміни кута відкриття вентилів. Математичні моделі систем ТПН-АД досить повно відпрацьовані із застосуванням аналогових пристроїв [12, 13] і на основі ЦВМ з використанням методів чисельного рішення нелінійних диференціальних рівнянь [14, 15]. Такі моделі, зокрема з цифровим імітаційним моделюванням, будуть використані при аналізі можливостей спрямованого формування пускогадьмівних режимів для отримання бажаних динамічних характеристик, при досліджені прямого пуску - при підключені асинхронного двигуна до номінальної напруги мережі, $\alpha = f(t)$ порівняно з прямим пуском, зокрема при часовому законі формування U1 в перехідних процесах.

1.5 Оптимізація втрат і ККД в системах ТПН - АД при зміненні параметрів усталеного режиму

Електроприводи більшості виробничих механізмів мають завищену потужність, що перевищує в 2 -3 рази необхідну. Крім того, електроприводи деяких механізмів (пресів, ковальського обладнання, верстатів, металургійних агрегатів і ін.) По технологічних особливостях частину часу працюють з недовантаженням.

Зазначені особливості дозволяють знизити енергоспоживання недовантажених АД при роботі в зоні номінальної швидкості [7, 8, 9, 10], забезпечивши його роботу за рахунок ТПН на регулювальної $U_1 < U_{1\text{ном}}$, а не на природній, характеристиці (де U_1 - діюче значення 1-ї гармоніки напруги, прикладеної до двигуна; $U_{1\text{ном}}$ - діюче значення номінальної напруги мережі). Цей режим ілюструє рис. 1.17, де показані природна (1) і регулювальна (2) характеристики АД при управлінні від ТПН; $M_{\text{ном}}$ - номінальний момент двигуна; M_c - момент статичного навантаження; S_1, S_2 - ковзання на природній і регулювальній характеристиці при заданому M_c .

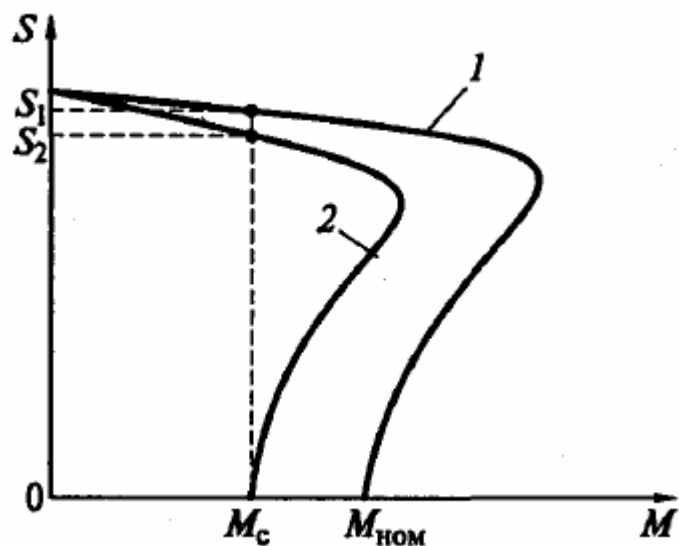


Рисунок 1.14 - Природна (1) і регулювальна (2) характеристики АД

Електромагнітні втрати в двигуні розраховуються за формулою:

$$\Delta P_{\text{ем}} = \Delta P_{1M} + \Delta P_{2M} + \Delta P_{1c}. \quad (1.17)$$

Значення ΔP_{1M} , і ΔP_{2M} , ΔP_{1c} при роботі на регулювальній характеристиці в системі ТПН-АД визначаються за допомогою формул (2.10) при підстановці відносного значення статичного моменту. При роботі АД на природній характеристиці [8] вирази для визначення складових втрат набувають такий вигляд: $M_{c*} = M_c / M_{\text{ном}}$

$$\begin{aligned}\Delta P_{1m} &= [A + (1 - A) M_{c*}^2] \Delta P_{1m.nom}; \\ \Delta P_{2m} &= M_{c*}^2 \Delta P_{2m.nom}; \\ \Delta P_{lc} &= [B + (1 - B) M_{c*}^2] \Delta P_{lc.nom}.\end{aligned}\quad (1.18)$$

Як випливає з (1.18), при роботі АД на природній характеристиці при зміні S від 0 до $S = S_{nom}$ втрати ΔP_{em} залежать тільки від статичного моменту. При роботі на регулювальній характеристиці $U_1 < U_{1nom}$ $\Delta P_{em} = f(M_{c*}, S)$, як випливає з (2.10), що дозволяє визначити значення S_{opt} , що доставляє мінімум функції $\Delta P_{em} = f(M_{c*}, S)$.Хоча в вирази для складових (2.10) входять коефіцієнти k_{n1} і k_{n2} пов'язані нелінійною залежністю з S і, діапазон їх зміни для структури ТПН, що складається з трьох пар тиристорів, включених зустрічно-паралельно, незначний [6], що дозволяє при визначені S_{opt} прийняти їх постійними і рівними один одному $k_{n1} = k_{n2} = k_n$. Тоді

$$S_{opt} = S_{nom} \sqrt{\frac{Ak_n^2 \Delta P_{1m.nom} + B \Delta P_{lc.nom}}{(1 - A)k_n^2 \Delta P_{1m.nom} + k_n^2 \Delta P_{2m.nom} + (1 - B)\Delta P_{lc.nom}}}.\quad (1.19)$$

Розрахунки показують, що змінення k_n^2 в діапазоні 1 ... 1,2 не робить істотного впливу на значення S_{opt} . Як випливає з формули (3.3), значення S_{opt} не залежить від, що дозволяє задавати АД і підтримувати відповідну S_{opt} швидкість при змінному моменті навантаження M_{c*} .

Очевидно, оптимізація енергоспоживання найбільш просто реалізується при наявності в системі датчика швидкості і створенні з використанням силової структури ТПН-АД системи автоматичного регулювання швидкості. Схема САР швидкості системи ТПН-АД показана на рис. 1.18. В цьому випадку задана швидкість $\omega_3 = \omega_0(1 - S_{onm})$, тобто електропривод буде працювати в процесі регулювання швидкості при S_{opt} , значення якого не буде змінюватися, якщо в системі управління використовується дворазово інтегруюча САР швидкості. Для різних типів асинхронних двигунів $S_{opt} = (0,5 \dots 0,9) S_{nom}$ і визначається в основному коефіцієнтом A , тобто значенням струму холостого ходу, тому значення S_{opt} , що наближаються до S_{nom} , мають двигуни краново-

металургійних серій, що відрізняються підвищеним повітряним зазором і струмом. Двигун може працювати з оптимальним ковзанням, якщо $M_{c*} = S_{onm}/S_{nom}$. В цьому випадку дещо знижується швидкість в порівнянні з роботою на природній характеристиці, зменшуються втрати в міді і сталі статора і зростають втрати в міді ротора, однак їх перерозподіл таке, що електромагнітні втрати при S_{onm} менше, ніж при S_1 . Різниця у втратах $\Delta P_{\text{ем}}$ тим більше, чим менше M_{c*} в порівнянні з відношенням S_{onm}/S_{nom} і більше $A \approx (\frac{I_0}{I_{1nom}})^2$, тому найбільше зниження втрат при роботі в зоні максимальної швидкості може бути забезпечене у двигунів краново-металургійних серій, що мають більше значення моменту M_{c*} при якому може бути досягнуто зниження енергоспоживання, і збільшене значення А в порівнянні з двигунами єдиних серій. Так, при роботі в сталому режимі з $M_{c*} = 0,05$ значення $\Delta P_{\text{ем}}$ для двигунів краново-металургійних серій може бути знижено в 5 -8 раз, а для двигунів єдиної серії - в 3 -6 раз. Електромагнітний ККД двигуна

$$\eta_{\text{ем}} = \frac{P_{\text{мех}}}{P_{\text{мех}} + \Delta P_{\text{ем}}}, \quad (1.20)$$

де $P_{\text{мех}} = M_c \omega_y$ - механічна потужність на валу АД; ω_y - стала швидкість, відповідна роботі з ковзанням S_1, S_{onm}, S_{nom}

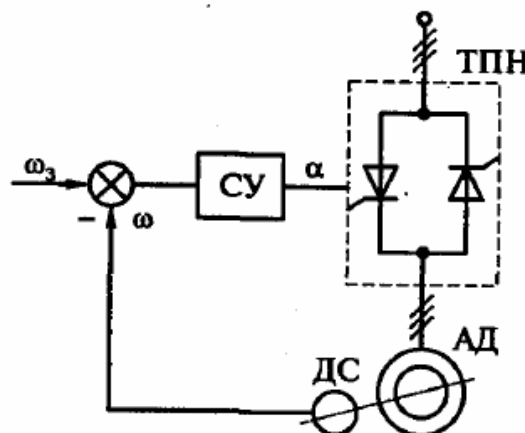


Рисунок 1.15 - Схема САР швидкості системи ТПН-АД

ДС - датчик швидкості; СУ - система управління; α - кут відкриття вентилів; ω_3 , ω - відповідно задана, реальна швидкість АД

Значення ККД може зрости відповідно в 2 – 3 або 1,5 – 2 рази. Для підтвердження цих висновків в табл. 1.2. наведені окремі складові втрат, електромагнітні втрати $\eta_{\text{эм}}$ і двигунів різних типів при максимальній сталої швидкості з різними значеннями ω_y і відповідними цієї швидкості ковзаннями S_y . Крім розгляду випадків, коли $S_y = S_1$ і $S_y = S_{\text{ном}}$ визначені втрати і для випадку, коли двигун працює на регулювальних характеристиках при $S_y = S_{\text{ном}}$.

Таблиця 1.4. Залежність втрат і ККД АД від усталених режимів від ковзання

Тип и характе- ристики двигателя	S_y	Параметр									
		ΔP_{1M}	ΔP_{2M}	ΔP_{1c}	ΔP_{3M}	$\eta_{\text{эм}}$	ΔP_{1M}	ΔP_{2M}	ΔP_{1c}	ΔP_{3M}	$\eta_{\text{эм}}$
		$M_{\text{с*}} = 0,5 M_{\text{ном}}$					$M_{\text{с*}} = 0,05 M_{\text{ном}}$				
МТКФ012-6: $P_{\text{ном}} = 2,2 \text{ кВт};$ $S_{\text{ном}} = 0,12;$ $S_{\text{опт}} = 0,105$	S_1	376	75	128	579	0,669	313	7	128	448	0,217
	$S_{\text{опт}}$	294	134	73	501	0,690	39	17	7	63	0,64
	$S_{\text{ном}}$	290	154	65	509	0,680	38	20	6	64	0,630
4A100L6У3: $P_{\text{ном}} = 2,2 \text{ кВт};$ $S_{\text{ном}} = 0,05;$ $S_{\text{опт}} = 0,032$	S_1	129	30	75	234	0,828	74	3	74	151	0,433
	$S_{\text{опт}}$	128	42	59	229	0,830	17	5	6	28	0,800
	$S_{\text{ном}}$	152	61	39	252	0,813	19	7	4	30	0,750

Значення втрат ΔP_{1M} і ΔP_{2M} , Наведені в табл. 1.2, обчислені для $S_{\text{ном}}$ і $S_{\text{ном}}$ з k_{n1} і k_{n2} з урахуванням коефіцієнтів, що залежать при заданій швидкості від відносини моментів двигуна на природній і регулювальної характеристики [6]. Як видно з табл. 1.5 для двигунів краново-металургійних серій, коли $S_{\text{ном}} \approx S_{\text{ном}}$, значення втрат і ККД при $S_{\text{ном}}$ і $S_{\text{ном}}$ досить близькі, що дозволяє в ряді випадків здійснювати режими з мінімізацією втрат в машині, задаючи і підтримуючи в САР швидкості $\omega_3 = \omega_{\text{ном}}$ ($S_y = S_{\text{ном}}$) Кількість зекономленої електроенергії в даному випадку залежить від типу АД, його потужності, часу роботи на швидкості ω_y і моменту статичного навантаження.

Так, якщо асинхронний двигун МТКF012-6, що має $P_{ном} = 2,2 \text{ кВт}$, забезпечує, працюючи в повторно-короткочасному режимі, 60 включень на годину при роботі на сталій швидкості ω_y протягом $t_y = 30 \text{ с}$ і працює протягом року 8000 год ($\Gamma = 8000 \text{ год}$), то при роботі на регулювальної характеристики з ковзанням $S_2 = S_{онт}$ вдасться заощадити за рік 280 кВт-год електроенергії при $M_c = 0,5 \text{ Мном}$; 880 кВт-год при $M_c = 0,25 \text{ Мном}$; 1530 кВт-год при $M_c = 0,05 \text{ Мном}$ в порівнянні з роботою АД на природній характеристиці при s_1 . Зниження втрат може бути також забезпечене при роботі нерегульованого приводу в тривалому режимі при керуванні механізмами безперервної дії, наприклад вентиляторами, коли АД обраний зі значним запасом по потужності (коєфіцієнт завантаження не перевищує 0,3 ... 0,4). У цьому випадку робота при зниженні напрузі ($U_1 < U_{1ном}$), може бути реалізована протягом всього часу роботи (8760 год на рік). Використання датчика швидкості не завжди доцільно і можливо, так як викликає додаткові труднощі при створенні САР швидкості за схемою, показаною на рис. 1.18. Позбавлена цього недоліку схема асинхронного електроприводу з регулюванням напруги статора двигуна в функції кута φ_1 показана на рис. 3.3, так як енергоекспективний асинхронний електропривод побудований без застосування датчика швидкості [10]. У ній ковзання (швидкість) вимірюється опосередковано за кутом зсуву φ_1 між першими гармоніками напруги і струму статора, так як в зоні малих ковзань залежність між кутом φ_1 і ковзанням практично лінійна. Вихідна напруга ТПН (див. рис. 3.3) за рахунок зміни кута відкриття вентилів регулюється системою управління (СУ), яка порівнює задане значення кута φ_{13} з фактичним його значенням φ_1 , виміряним опосередковано датчиком кута (ДУ). Як задане значення φ_{13} задається кут φ_1 , відповідний ковзанню $S_{онт}$. Миттєві значення напруги і струму статора вимірюються за допомогою датчиків струму (ДТ) і напруги (ДН). Так як на виході ТПН присутні вищі гармоніки [6], то за датчиками струму і напруги встановлюються фільтри (Φ), що виділяють перші гармоніки струму і напруги.

Відзначимо, що економія електроенергії при застосуванні системи ТПН-АД не настільки значна, щоб забезпечити швидку окупність ТПН, включеного в статорні ланцюга АД. Використання ТПН в більшості випадків викликано технологічними вимогами, виробничих механізмів (транспортерів, насосів, вентиляторів, ліфтів, конвеєрів та ін.), що вимагають плавного пуску і обмеження ударних моментів, прискорень і ривків, що виникають при прямому підключенні асинхронних двигунів до номінальної напруги мережі (докладніше в підрозділ. 3.3.3). Тому ТПН, що використовуються за умовами технології, дозволяють одночасно вирішувати завдання зниження енергоспоживання практично без додаткових витрат.

1.6 Системи ТПН-АД

Системи ТПН-АД, забезпечуючи плавний пуск асинхронних двигунів (системи Soft-Start), можуть застосовуватися і для зниження енергоспоживання при роботі недовантажених двигуна в зоні номінальної швидкості. У цьому випадку за рахунок збільшення кута відкриття вентилів, що входять в ТПН, знижується перша гармоніка напруги і асинхронний двигун при заданому моменті статичного навантаження, одержуючи живлення переривчастим струмом, працює на регулювальній характеристиці при швидкості дещо меншій, ніж на природній характеристиці. Такий режим призводить до зменшення сумарних втрат в АД і споживаної активної потужності [11]. Розрахунок балансу потужності електроприводу проводиться на основі аналізу миттєвих значень струмів і напруг статора, отриманих з рішення рівнянь повної моделі системи ТПН-АД, а також передбачається, що симетричний двигун живиться від мережі нескінченної потужності і падіння напруги на тиристорах не враховується. Розрахунок активної потужності, споживаної електроприводом P , яка при зазначених припущеннях дорівнює активної потужності двигуна P_1 здійснюється за формулою

$$P = P_1 = 3 \frac{1}{T} \int_0^T u_1 i_1 dt, \quad (1.21)$$

де Т - період напруги статора, $T = 2\pi$; u_1 - миттєве значення фазної напруги статора; i_1 - миттєве значення фазного струму статора. Визначимо повну потужність, споживану двигуном S_1 і електроприводом в цілому S , за такими формулами:

$$S_1 = 3 \sqrt{\frac{1}{T} \int_0^T u_1^2 dt} \sqrt{\frac{1}{T} \int_0^T i_1^2 dt} = 3U_1 I_1; \quad (1.22)$$

$$S = 3 \sqrt{\frac{1}{T} \int_0^T u_c^2 dt} \sqrt{\frac{1}{T} \int_0^T i_1^2 dt} = 3U_{1\text{ном}} I_1, \quad (1.23)$$

де u_c - миттєве значення фазної напруги мережі;

U_1 - діюче значення фазної напруги статора;

I_1 - діюче значення фазного струму статора;

$U_{1\text{ном}}$ - номінальне значення фазної напруги мережі.

Тепер можна розрахувати реактивну потужність, споживану двигуном Q_1 і системою електроприводу Q :

$$\begin{aligned} Q_1 &= \sqrt{S_1^2 - P_1^2}; \\ Q &= \sqrt{S^2 - P^2}. \end{aligned} \quad (1.24)$$

Звернемо увагу, що потужність, обчислена за формулами (3.71), містить як власне реактивну потужність за всіма гармоникам спектра, так і потужність спотворення, величина якої, як правило, мала, і в оціночних розрахунках нею можна знехтувати. Розрахунок складових потужності необхідно проводити в загальноприйнятою для асинхронних двигунів системі відносних одиниць. На рис. 1.19 наведені графіки характеристик реактивної і активної потужностей, розраховані для різних двигунів. При розрахунку швидкість двигуна приймалася незмінною і рівною номінальній. Реактивна потужність, споживана

системою електроприводу, як видно на рис. 1.19, істотно більше реактивної потужності двигуна.

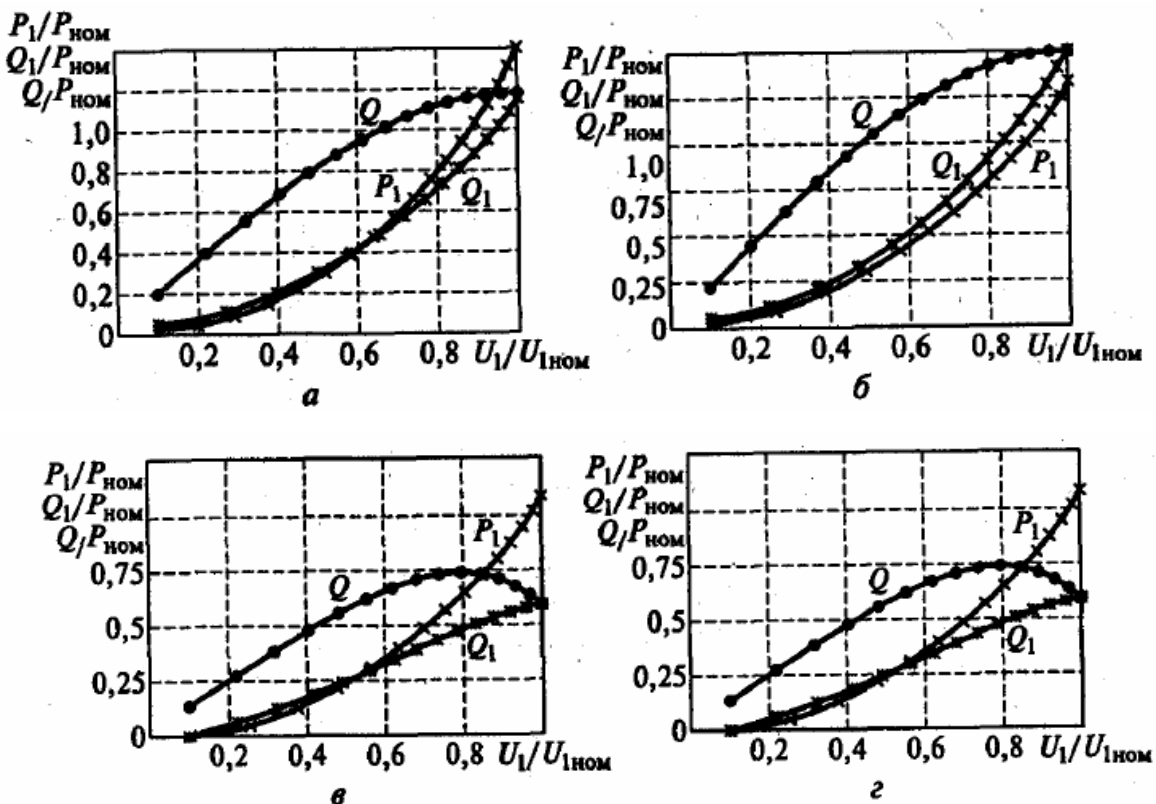


Рисунок 1.16 - Характеристики активної і реактивної потужностей в системі ТПН - Пекло для двигунів типів 4A80B4 (а), МТКФ012-6 (б), 4A200L6 (в) і 4A315M6 (г)



Рисунок 1.17 - Залежність кута зсуву від кута відкриття тиристорів для двигуна типу 4A200L6

Для з'ясування причин, що призводять до збільшення реактивної потужності системи електроприводу щодо потужності, споживаної двигуном, необхідно провести розрахунок потужностей по першим гармоникам напруг і струмів, а методом гармонійного аналізу напруги статора розрахувати залежності кута зсуву першої гармоніки напруги на статорі щодо напруги мережі в функції кута відкриття тиристорів при різних швидкостях. На рис. 1.20 показана залежність кута зсуву від кута відкриття тиристорів для двигуна типу 4A200L6. Як випливає з графіків на рис. 1.20, найбільші зміщення 1-ї гармоніки мають місце в області номінального ковзання. Зміна зсуву 1-ї гармоніки в залежності від швидкості пояснюється ефектом зміна кута навантаження двигуна і відповідним зміщенням зони нечутливості перетворювача, в якій кут відкриття тиристорів менше кута навантаження двигуна. Так як при номінальній швидкості двигун має кут навантаження, близький до мінімального, і, отже, перетворювач в цій області має мінімальну зоною нечутливості, то і зміщення 1-ї гармоніки при регулюванні кута відкриття тиристорів настає раніше. Через те, що зміщення 1-ї гармоніки напруги визначається кутом навантаження двигуна, повний кут системи буде дорівнює сумі кутів навантаження двигуна і зміщення 1-ї гармоніки напруги статора. При відомих кутах навантаження системи розрахунок реактивної потужності можна провести за такими формулами: перетворювач в цій області має мінімальну зоною нечутливості, то і зміщення 1-ї гармоніки при регулюванні кута відкриття тиристорів настає раніше. Через те, що зміщення 1-ї гармоніки напруги визначається кутом навантаження двигуна, повний кут системи буде дорівнює сумі кутів навантаження двигуна і

зміщення 1-ї гармоніки напруги статора. При відомих кутах навантаження системи розрахунок реактивної потужності можна провести за такими формулами: ($\omega = \omega_{\text{ном}}$)

$$\begin{aligned} Q_1 &= 3U_{11}I_{11} \sin \varphi_{11}; \\ Q &= 3U_{1\text{ном}}I_{11} \sin \varphi_1, \end{aligned} \quad (1.25)$$

де U_{11} - діюче значення 1-ї гармоніки фазної напруги статора;

I_{11} - діюче значення 1-ї гармоніки фазного струму статора;

φ_{11} - фазовий зсув 1-ї гармоніки струму статора по відношенню до 1-ї гармоніці напруги статора;

φ_1 - фазовий зсув 1-ї гармоніки струму статора по відношенню до напруги мережі.

Як зазначається в [16], значення QuQ_1 розраховані за формулами (3.71) і (3.72), в основному збігаються. Відмінності спостерігаються при низьких швидкостях і малих напругах через те, що при цьому найбільш високий відсоток вищих гармонік в порівнянні з 1-ї і тому більшою мірою проявляється вплив коефіцієнта спотворення. Як зазначалося, кут зсуву 1-ї гармоніки, а отже, і реактивна потужність системи ТПН-АД визначаються швидкістю двигуна через кут навантаження, що пояснює розходження характеристик як для різних швидкостей, так і для різних типів двигунів. Дійсно, АД серії 4А мають мінімальний кут навантаження в області номінальної швидкості. При цьому зростом потужності двигуна поліпшується і, як наслідок, зростає можливий діапазон зміни кута зсуву 1-ї гармоніки і реактивної потужності. Машини типу МТКФ, маючи менший $\cos\varphi$ у порівнянні з двигунами серії 4А при номінальній швидкості, мають і менший діапазон зсуву 1-ї гармоніки. Крім того, мінімум кута навантаження для двигунів типу МТКФ завжди знаходиться в зоні швидкостей менше номінальної. Таким чином, споживання реактивної потужності перетворювачем з двигуном типу МТКФ в робочій зоні менше в порівнянні з системою на основі двигунів серії 4А. Для підтвердження результатів розрахунку були зняті експериментальні залежності реактивної

потужності АД і системи ТПН-АД в функції напруги для типів 4A80B4 і MTKF012-6. Швидкість системи підтримувалася незмінною.

Експериментальні характеристики активної і реактивної потужностей для двигунів типів 4A80B4 і MTKF012-6 наведені на рис. 1.21.

Зіставлення експериментальних даних з розрахунковими підтверджує загальний характер залежності реактивної потужності системи від фазового зсуву 1-ї гармоніки і вказує на необхідність врахування даного ефекту при оцінці енергетичних показників системи ТПН-АД. Отримані результати підтверджують, що тиристорний перетворювач напруги є споживачем реактивної потужності. При цьому частка реактивної потужності, яка припадає на ТПН, досить відчутна. Більш того, при деяких напруженіх, менших номінального, і незмінною швидкості реактивна потужність системи ТПН-АД може перевершувати реактивну потужність при повному напрузі. Основною причиною цього явища слід визнати ефект зміщення 1-ї гармоніки при регулюванні напруги статора. Так як гармонійний склад напруги визначається як кутом відкриття тиристорів, так і швидкістю двигуна (через вплив проти-EPC), систему ТПН-АД при аналізі споживаної реактивної потужності слід розглядати спільно з урахуванням конкретних параметрів двигуна.

Ефект зміщення 1-ї гармоніки безумовно погіршує властивості системи ТПН-АД. Проте це явище не виключає використання ТПН як засобу енергозбереження. Дійсно, ефект від енергозберігаючого режиму найбільш відчутний при роботі двигуна на холостому ходу. При цьому (див. рис. 1.16) істотно знижується споживання як активної, так і реактивної енергії в порівнянні з номінальним режимом. Однак необхідно дослідження умов оптимізації енергоспоживання системи ТПН-АД з урахуванням балансу реактивної потужності. У каталогах фірм, що випускають системи Soft-Start, не наводяться відомості про вплив ТПН на живильну мережу і заходах, спрямованих на обмеження цього впливу.

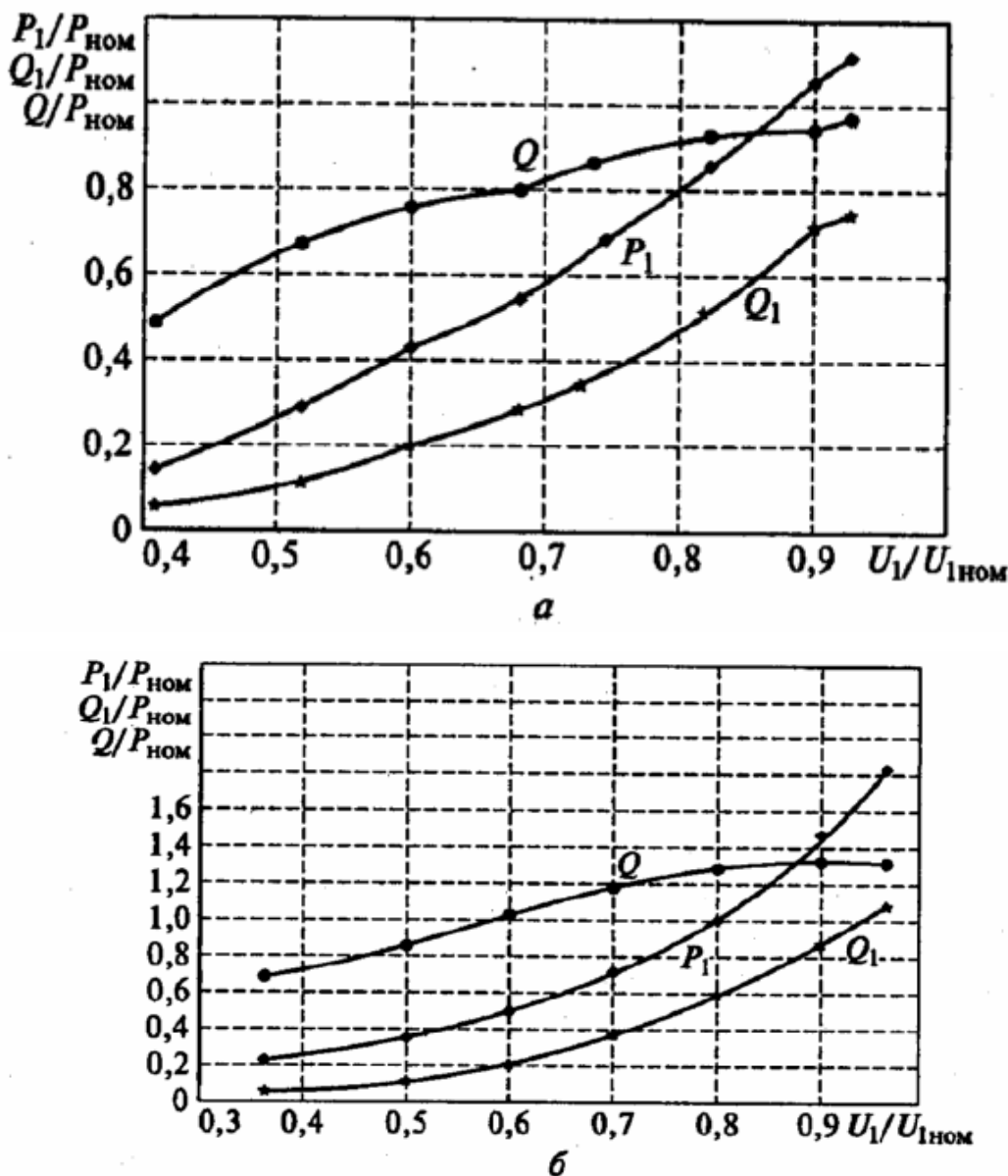


Рисунок 1.18 - Експериментальні характеристики активної і реактивної потужностей в системі ТПН - АД різних двигунів: а - типу 4А80В4 при $\omega = 0,95\omega_{\text{ном}}$; б - типу МТКФ012-6 при $\omega = 1,1\omega_{\text{ном}}$

2 РОЗРАХУНОК СТАТИЧНИХ ХАРАКТЕРИСТИК АД ПРИ ЖИВЛЕННІ ВІД ДЖЕРЕЛА НАПРУГИ

Статичні енергетичні характеристики АМ будуються на основі сімейства механічних характеристик і показників векторної діаграми АМ розрахованих по Т-подібної схеми заміщення АМ, яка виходить при класичних припущеннях. Так для фіксованого ковзання (s) і напруги статора (U_1) на підставі Т-подібної схеми заміщення (рис. 2.1) електричні координати стану в комплексній формі можна розрахувати за такими формулами:

$$\begin{aligned} Z_{AD} &= r_1 + jx_1 + \frac{jx_m(jx_2s+r_2)}{jx_2s+r_2}; \\ I_1 &= \frac{U_1}{Z_{AD}}; \quad ; E_0 = U_1 - (r_1 + jx_1)I_1 \\ I_0 &= \frac{E_0}{jx_m}; \quad I_2 = \frac{E_0}{jx_2+\frac{r_2}{s}} = \frac{sE_0}{r_2+jx_2s}, \end{aligned} \quad (2.1)$$

де r_1, r_2, x_1, x_2 - активні та індуктивні опори розсіювання статора (1) і ротора (2);

x_m - індуктивний опір намагнічування.

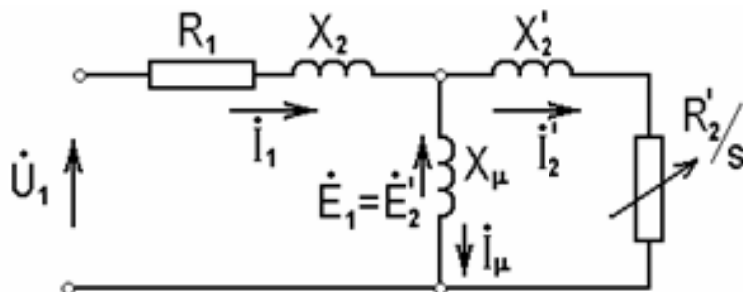


Рисунок 2.1 - Схема заміщення АМ

На основі значень струмів в комплексному вигляді, отриманих з (2.1), електромагнітний момент машини розраховується наступним чином:

$$M_e = \frac{3}{2} Z_p L_m (I_m(I_s) \times R_e(I_r) - R_e(I_s) \times I_m(I_r)) \quad (2.2)$$

Таким чином, задаючись різними значеннями ковзань при конкретних значеннях напруг по (2.1), (2.2) розраховуються точки сімейства механічних характеристик АМ. Отримане сімейство наведено на рисунку 2.2. Розрахунок реалізований в пакеті MATLAB і оформленний у вигляді скрипту-програми.

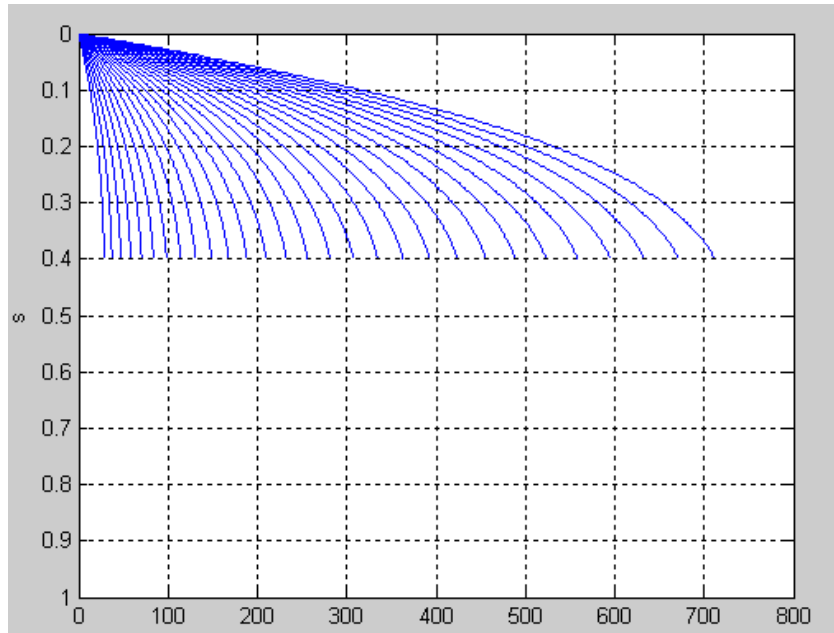


Рисунок 2.2 - Механічні характеристики АМ при різній напрузі статора з номінальною частотою

На основі комплексів електричних координат можна розрахувати енергетичні показники:

- втрати в міді

$$\Delta P = \Delta P_1 + \Delta P_2 = 3(|I_1|^2 \times r_1 + |I_2|^2 \times r_2);$$

- коефіцієнт корисної дії

$$\eta = \frac{P_{\text{мех}}}{P_{\text{мех}} + \Delta P} : P_{\text{мех}} = M_e \times \omega = M_e \times \frac{\omega}{\omega_0 (1 - S)}$$

- коефіцієнт потужності

$$\cos \varphi = \frac{I_m |I_s|}{|I_s|} n p u U_s = j U_1$$

Як результат розрахунку також виходить набір даних для побудови сімейств «електричних» характеристик АМ. Однак отримані сімейства є

залежностями координат стану як функцій від ковзання при фіксованих напругах. Енергетичні ж характеристики зручніше представляти у вигляді сімейств залежностей від напруги при незмінних моментах. Щоб не вдаватися до ітераційної процедури розрахунку напруги при фіксованому ковзанні для отримання необхідного значення моменту ці значення напруг пропонується визначати на базі «пакета» отриманих даних, інтерполювавши їх в необхідних значеннях електромагнітного моменту. Так, для зазначеного двигуна отримані сімейства залежностей енергопоказників як функцій від напруги при фіксованих моментах наведені на рисунку 2.3, де наведені такі енергопоказники: ККД, $\cos\phi$, сумарні електричні втрати машині

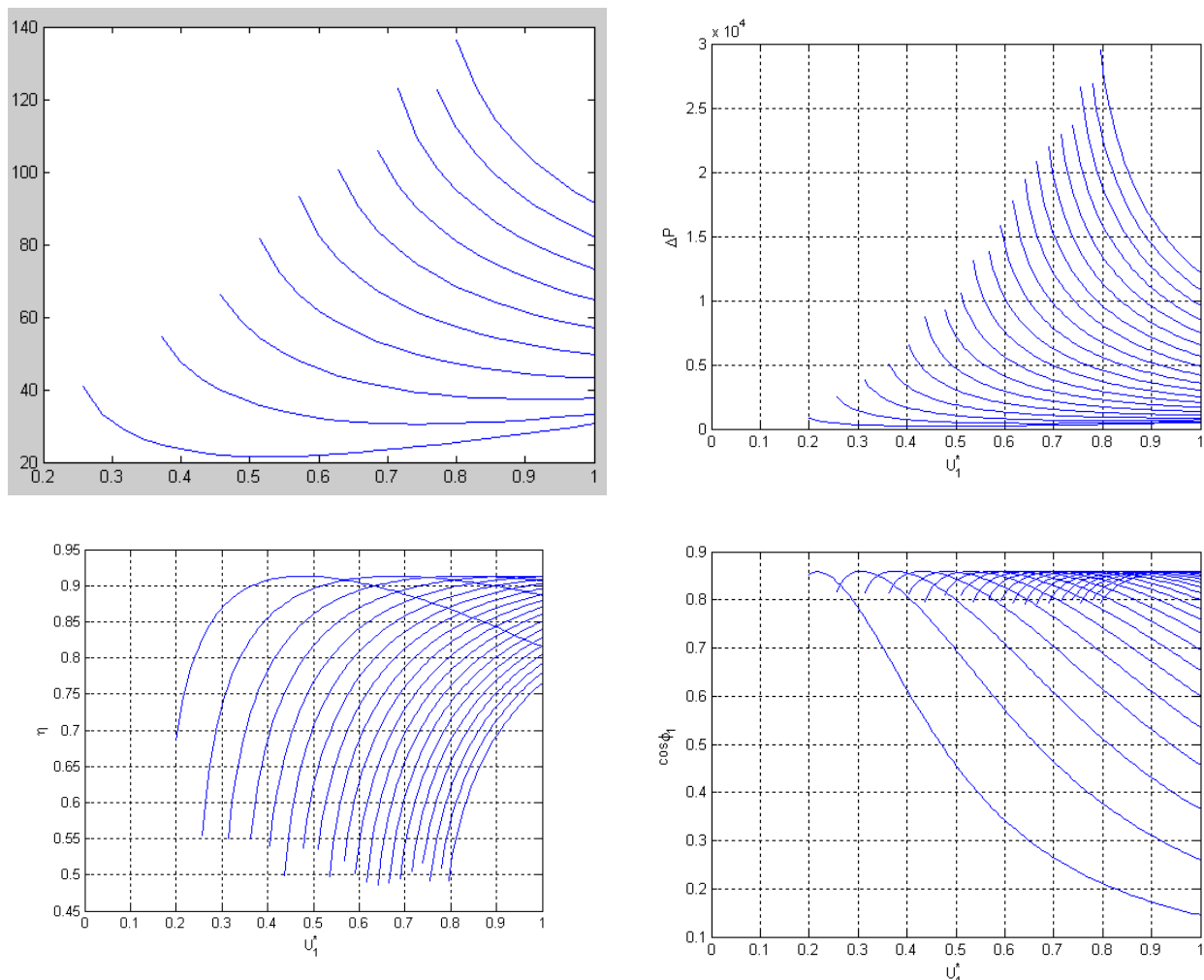


Рисунок 2.3 - Енергетичні характеристики АМ

З ЗАЛЕЖНОСТІ ДЛЯ ПОБУДОВИ ЕНЕРГОЕФЕКТИВНИХ СИСТЕМ

З сімейств статичних характеристик бачимо, що для обраного двигуна є можливість здійснити управління із забезпеченням мінімуму струму статора або мінімуму споживаної реактивної потужності. Відповідні екстремали представлені на рисунку 3.1.

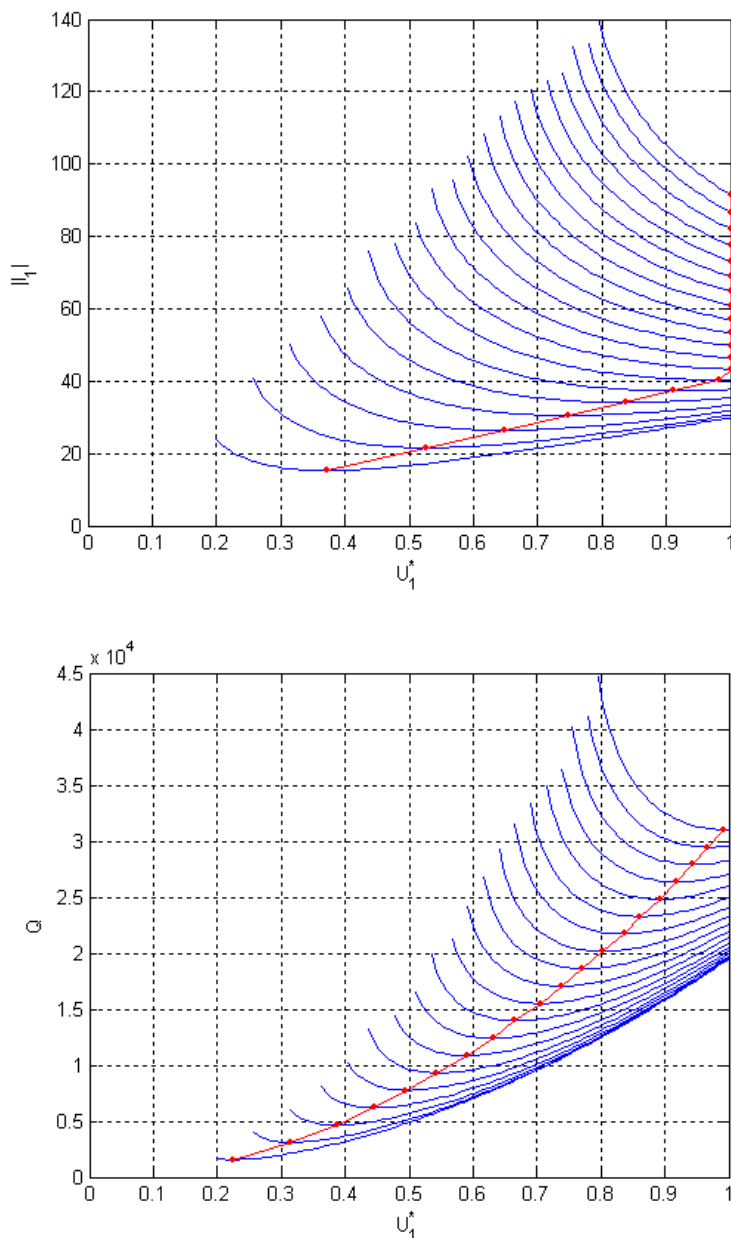


Рисунок 3.1 - Екстремалі енергопоказників на сімействах характеристик

Для використання даних результатів при побудові систем ЕП необхідно отримані екстремалі перерахувати як залежності напруги або швидкості від координат стану електроприводу (моменту, струму швидкості). Перерахунок проведено на основі матриці даних отриманих при розрахунку статичних характеристик. Отримані залежності представлені на рис. 3.2.

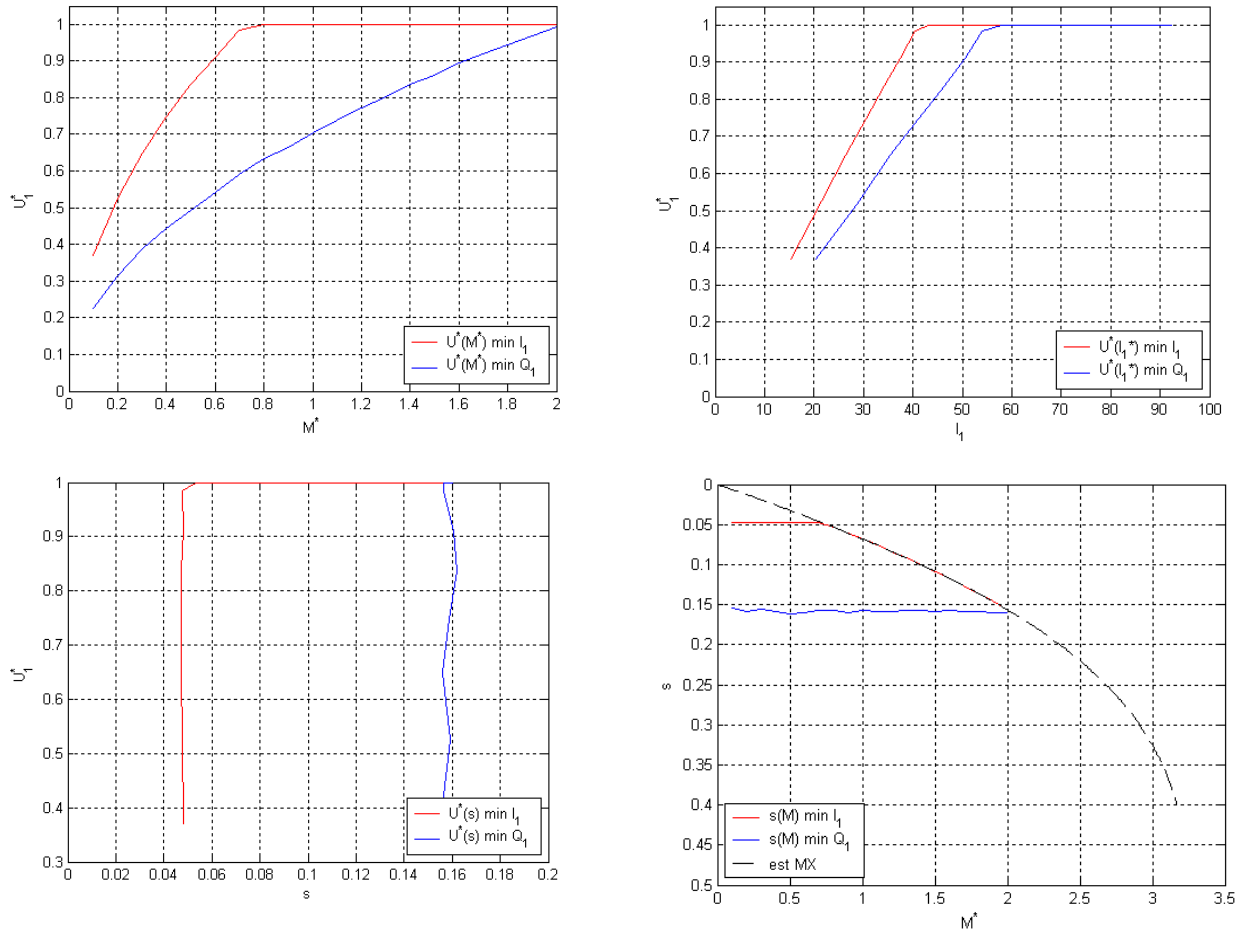


Рисунок 3.2 - Залежності напруги і ковзання від координат стану АМ при яких забезпечується екстремальний характер енергопоказників

З залежностей рис. 3.2 робимо висновок, що робота при забезпеченні екстремуму енергопоказника досягається при роботі двигуна з постійною швидкістю. Тому система забезпечення мінімуму струму або реактивної потужності система електроприводу повинна будуватися як система стабілізації швидкості.

4 МОДЕЛЮВАННЯ ЕНЕРГОЗБЕРІГАЮЧОЇ СИСТЕМИ ЕЛЕКТРОПРИВОДА

4.1 Модель асинхронної машини

Опис АМ розглядається при класичних припущеннях про магнітної і електричної симетрію обмоток, лінійність кривої намагнічування, нехтуєчи зубцовими ефектами.

Опис АМ в ортогональній загальної просторової системі координат (u, v), яка обертається зі швидкістю ω_k наступний:

$$\begin{cases} U_{su} = R_s i_{su} + \frac{d\psi_{su}}{dt} - \omega_k \psi_{sv} \\ U_{sv} = R_s i_{sv} + \frac{d\psi_{sv}}{dt} - \omega_k \psi_{su} \\ U_{ru} = R_r i_{ru} + \frac{d\psi_{ru}}{dt} - (\omega_k - \omega_e) \psi_{rv} \\ U_{rv} = R_r i_{rv} + \frac{d\psi_{rv}}{dt} - (\omega_k - \omega_e) \psi_{ru} \end{cases} \quad (4.1)$$

де R_s, R_r - активні опори обмоток статора і ротора;

ω_e - електрична швидкість обертання ротора, $\omega_e = z_p \omega$;

z_p - кількість пар полюсів.

Проекції потокозчеплення статора і ротора

$$\begin{cases} \psi_{su} = L_s i_{su} + L_m i_{ru} \\ \psi_{sv} = L_s i_{sv} + L_m i_{rv} \end{cases} \quad (4.2)$$

$$\begin{cases} \psi_{ru} = L_m i_{su} + L_r i_{ru} \\ \psi_{rv} = L_m i_{sv} + L_r i_{rv} \end{cases} \quad (4.3)$$

де L_s, L_r, L_m - індуктивності статора, ротора і намагнічування,

$$L_s = L_m + L_{1\sigma}; \quad L_r = L_m + L_{2\sigma}$$

Електромагнітний момент

$$M_e = \frac{3}{2} z_p L_m (i_{sv} \cdot i_{ru} - i_{su} \cdot i_{rv}). \quad (4.4)$$

Для побудови структури моделі, призначеної для дослідження АМ при частотному управлінні з статора, запишемо наведене опис:

в нерухомій системі просторових координат ($\alpha, \beta; \omega_k = 0$);

ротор розглядаємо короткозамкненим, тобто $U_{ru} = 0$, $U_{rv} = 0$;
опис отримаємо в координатах стану $(i_s - \psi_r)$.

Доповнивши отриманий з (4.1) - (4.4) опис рівнянням руху, матимемо:

$$\left\{ \begin{array}{l} \frac{di_{s\alpha}}{dt} = \frac{1}{\sigma L_s} \left[U_{s\alpha} - (R_s + K_r^2 R_r) i_{s\alpha} + K_r \frac{R_r}{L_r} \psi_{r\alpha} + \omega_e K_r \psi_{r\beta} \right]; \\ \frac{di_{s\beta}}{dt} = \frac{1}{\sigma L_s} \left[U_{s\beta} - (R_s + K_r^2 R_r) i_{s\beta} + K_r \frac{R_r}{L_r} \psi_{r\beta} + \omega_e K_r \psi_{r\alpha} \right]; \\ \frac{d\psi_{r\alpha}}{dt} = -\frac{R_r}{L_r} \psi_{r\alpha} + R_r K_r i_{s\alpha} - \omega_e \psi_{r\beta}; \\ \frac{d\psi_{r\beta}}{dt} = -\frac{R_r}{L_r} \psi_{r\beta} + R_r K_r i_{s\beta} - \omega_e \psi_{r\alpha} \\ M_e = \frac{2}{3} z_p K_r (i_{s\beta} \psi_{r\alpha} - i_{s\alpha} \psi_{r\beta}); \quad \omega_e = z_p \omega; \\ \frac{d\omega}{dt} = \frac{1}{J} (M_e - M_c), \end{array} \right. \quad (4.5)$$

де K_r - коефіцієнт магнітного зв'язку ротора, $K_r = \frac{L_m}{L_r}$;

σ - коефіцієнт розсіювання за Блонделем, $\sigma = \frac{L_s L_r - L_m^2}{L_s L_r}$;

Складові напруги статора при $\omega_k = 0$:

$$U_{s\alpha} = U_{\phi m} \cdot \sin (\int \omega_{0e} dt); \quad U_{s\beta} = -U_{\phi m} \cdot \cos (\int \omega_{0e} dt), \quad (4.6)$$

Де $U_{\phi m}$ - амплітуда фазного напруги живлення статора;

ω_{0e} - електрична швидкість обертання поля, $\omega_{0e} = 2\pi f$.

Струм ротора і потокозчеплення статора в проекціях на осі α і β виражаються алгебраїчно:

$$\left\{ \begin{array}{l} i_{r\alpha} = \frac{1}{L_r} (\psi_{r\alpha} - L_m i_{s\alpha}); \\ i_{r\beta} = \frac{1}{L_r} (\psi_{r\beta} - L_m i_{s\beta}); \end{array} \right. \quad \left\{ \begin{array}{l} \psi_{s\alpha} = K_r \psi_{r\alpha} + \sigma L_s i_{s\alpha}; \\ \psi_{s\beta} = K_r \psi_{r\beta} + \sigma L_s i_{s\beta}; \end{array} \right. \quad (4.7)$$

Роторні координати стану (ψ_r, i_r) В просторовій системі, пов'язаної з ротором (d , q) можна отримати з проекцій в нерухомій системі α , β координатним перетворенням: ψ_r, i_r

$$\left\{ \begin{array}{l} \psi_{rd} = \psi_{r\alpha} \cos \sigma_e + \psi_{r\beta} \sin \sigma_e \\ \psi_{rq} = -\psi_{r\alpha} \sin \sigma_e + \psi_{r\beta} \cos \sigma_e \end{array} \right. \quad (4.8)$$

$$\left\{ \begin{array}{l} i_{rd} = i_{r\alpha} \cos \sigma_e + i_{r\beta} \sin \sigma_e \\ i_{rq} = -i_{r\alpha} \sin \sigma_e + i_{r\beta} \cos \sigma_e \end{array} \right. \quad (4.9)$$

де σ_e - електричний кут положення ротора,

$$\sigma_e = \int \omega_e dt = \int z_p \omega dt.$$

Модулі узагальнених векторів (амплітуди фазних значень) електричних координат положення виходять в будь-який ортогональної просторової системі по теоремі Піфагора, наприклад модуль струму статора:

$$|I_s| = \sqrt{i_{s\alpha}^2 + i_{s\beta}^2}. \quad (4.10)$$

За описом (4.5), (4.7), (4.8) складається структура моделі АМ. Для зручності при подальшому використанні цю структуру рекомендується звернути в підсистему з входними сигналами $U_{s\alpha}, U_{s\beta}, M_c$, а вихідними - сигналами проекцій електричних координат стану (статорних на осі α, β , роторних на осі d, q), електромагнітного моменту (M_e) і швидкості (ω).

Структура буде мати велику кількість зв'язків. Спростити її уявлення можна застосовуючи блоки передачі сигналу Goto і From. Розрахунок модулів векторів по (4.10) також доцільно реалізовувати окремими підсистемами. Один з варіантів структури АМ, який відображає опис (4.5) наведено на рисунку 4.1.

Формування сигналів напруги живлення по (3.6) також слід реалізувати у вигляді підсистеми, входами якої є сигнали $\omega_{oe}, U_{\phi m}$, а виходами - $U_{s\alpha}, U_{s\beta}$.

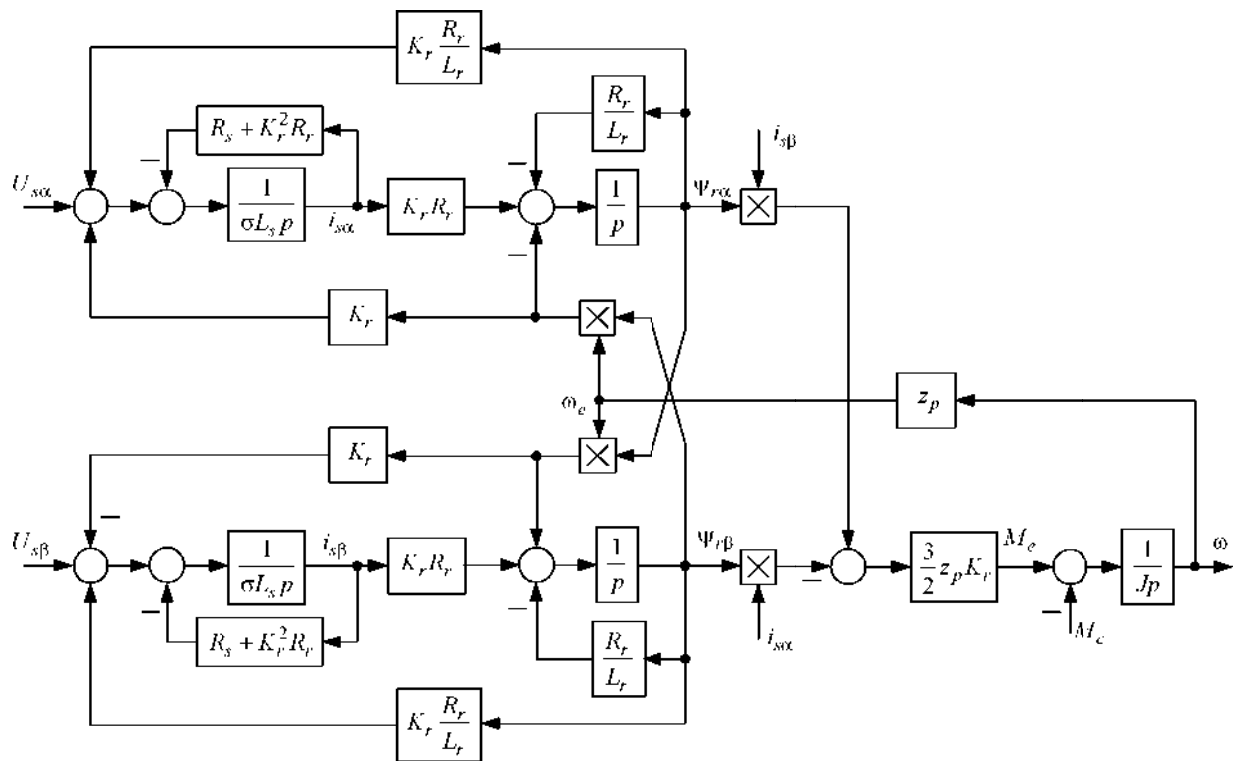


Рисунок 4.1 - Структура опису AM в нерухомій загальній системі просторових координат (α, β)

4.2 Функціональна схема системи ТРН-АД. Робота системи

Розглянемо замкнену за швидкістю систему. Регулюючим перетворювачем, власне, є тиристорний регулятор напруги ТРН (рис. 4.2). При такій силовій схемі привід є нереверсивним. Завдання на контур швидкості формується задатчиком інтенсивності (ЗІ), а швидкість вимірюється датчиком швидкості. Для обмеження рівня струму статора в систему вводиться зв'язок за струмо з відсічкою, тобто контур струму замикається і та працює в режимі струмообмеження, коли рівень струму перевищить рівень порівняння в блоці «зона нечутливості» (ЗН). Зворотній зв'язок замикається по амплітудним значенням струму статора, який виходить в датчику амплітудного значення струму (АА) на базі миттєвих значень струмів фаз статора, які вимірюються датчиками струмів фаз ВА1....3. Для стійкої роботи системи, коли контур струму не працює, застосовується пропорційний регулятор струму (РІ), який в цьому режимі підсилює сигнал ПІ-регулятора швидкості.

Силова частина ТРН нелінійна – напругам на двигуні 0, U_{sh} відповідають кути управління α_{max} , α_{min} відповідно, тому в прямому каналі є нелінійний блок (НБ), який узгоджує вхідний канал в СІФУ (U_{cifu}) з вихідним сигналом регулятора струму (U_{pi}) для отримання необхідних значень кутів управління при сигналі $U_{pi} = 0 \div U_{y_{max}}$.

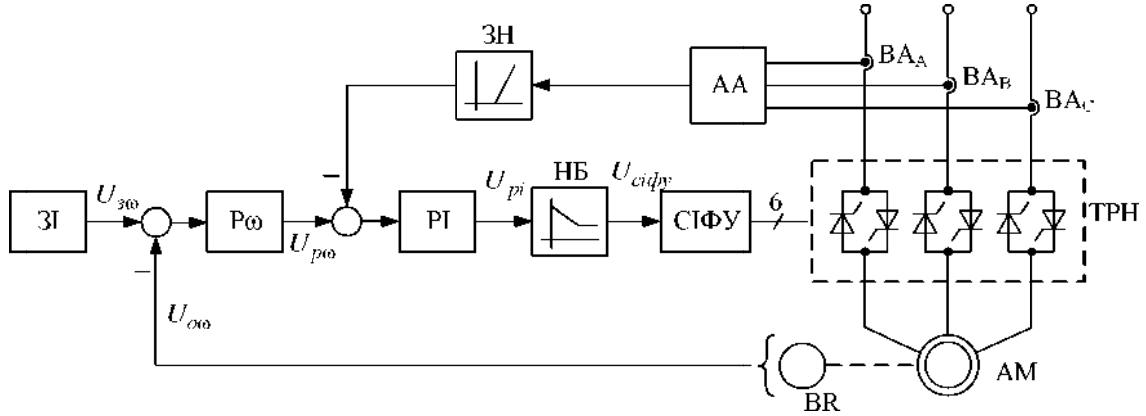


Рисунок 4.2 - Функціональна схема системи ТРН - АД

4.3 Структурна схема системи і оптимізація

Структурну схему керуючої частини системи ТРН-АД складаємо вважаючи, що нелінійність силової частини ТРН повністю компенсується нелінійним блоком (НБ) на виході регулятора струму. В результаті прямий канал регулюючої частини системи вважаємо лінійним: елементи НБ, СІФУ, ТРН мають загальний коефіцієнт передачі

$$K_{trn} = \frac{U_{shm}}{U_{y_{max}}},$$

де U_{shm} - амплітуда номінального фазного напруги статора АМ,

$$U_{shm} = U_{s\phi n} \sqrt{2} = U_{s\ln} \sqrt{\frac{2}{3}};$$

$U_{y_{max}}$ - максимальне значення напруги сигналів в керуючої частині системи.

Інерційність силової частини відображена постійної часу ланцюга фазового управління ТРН визначається максимальним часом запізнювання. Для силової частини, зображененої на рисунку 36.1, цей час становить $\tau_{\text{сч}} = 0,333$ с [2]. Приймемо сталу часу силової частини ТРН $T_{\text{трн}} = \tau_{\text{сч}} = 0,333$ с. Структурна схема керуючої частини системи приведена на рисунку 4.3.

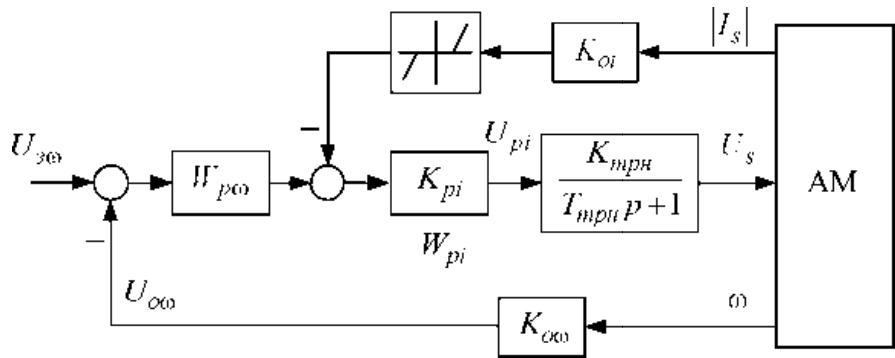


Рисунок 4.3 - Структурна схема керуючої частини системи

Коефіцієнт зворотного зв'язку за струмом

$$K_{\text{трн}} = \frac{U_{ym}}{I_{smax}}$$

де I_{smax} - максимальне значення амплітуди струму. приймемо

$$I_{smax} = 5 \cdot I_{SH} \sqrt{2}.$$

Напруга відсічення $U_{\text{отс}}$ в блоці «зона нечутливості» в зворотному зв'язку за струмом визначається рівнем максимального струму, який необхідно підтримувати в режимі струмообмеження

$$U_{\text{отс}} = K_{oi} \cdot I_{\text{огр}},$$

де $I_{\text{огр}}$ - значення амплітуді струму, яке необхідно підтримувати при струмообмеження. приймемо

$$I_{\text{огр}} = 2 \cdot I_{\text{SH}} \sqrt{2}$$

Коефіцієнт П-регулятора струму розраховуємо по статичному режиму за умови точності підтримки струму (ΔI_s) при зміні напруги статора в усьому діапазоні. Приймемо $\Delta I_s = 0,1 I_{sH}\sqrt{2}$. Нехтуючи опором статора в порівнянні з відношенням

$$\frac{U_{Sh\phi}}{\Delta I_s} = \frac{U_{Sh\phi}}{0,1I_{Shm}} \cdot z_1,$$

отримаємо вираз для розрахунку: K_{pi}

$$K_{pi} = \frac{1}{K_{oi} K_{mpn}} \cdot \frac{U_{Sh\phi}}{0,1I_{Shm}}$$

Асинхронний двигун, як об'єкт управління при регулюванні напруги статора на робочій ділянці механічної характеристики по каналу «електромагнітний момент - швидкість» описується аперіодичною ланкою першого порядку

$$W_{ad} = \frac{K_\delta}{T_M p + 1}$$

де - коефіцієнт передачі двигуна, K_δ

$$K_\delta = \frac{\omega_0 S_k}{U_{Shm}} = \frac{\omega_0 S_k}{U_{Sh} \sqrt{2}};$$

T_M - електромеханічна стала часу на робочій ділянці механічної характеристики при $U_s = U_{Sh}$ (на природній характеристиці),

$$T_M = J \frac{\omega_0 S_k}{2M_k},$$

де s_k, M_k - критичні ковзання і момент на природній характеристиці двигуна,

$$S_k = \frac{r_2'}{\sqrt{r_1^2 + x_k^2}}; M_k = \frac{3}{2} \frac{U_{H\phi}^2}{\omega_0 (r_1 + \sqrt{r_1^2 + x_k^2})};$$

$$x_k = x_1 + x_2'; \omega_0 = \frac{\pi n_0}{z_p} = \frac{2\pi f}{z_p}.$$

Контур швидкості в цілому, при незамкнутому контурі струму має структурну схему, наведену на рисунку 4.4.

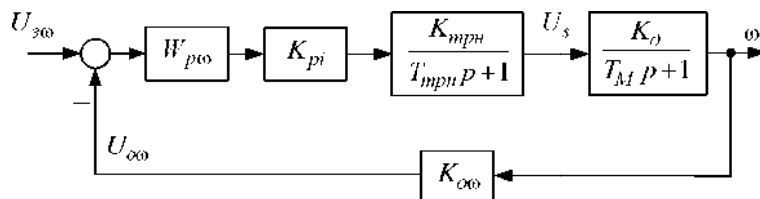


Рисунок 4.4 - Структурна схема контуру швидкості

Коефіцієнт зворотного зв'язку за швидкістю

$$K_{0\omega} = \frac{U_{ym}}{\omega_n},$$

де U_{ym} – максимальне значення сигналів напруги в керуючої частині системи.

Оптимізуємо контур швидкості за модульним оптимумом з некомпенсованою сталою T_{trn} . В результаті отримаємо ПІ-регулятор швидкості.

$$W_{p\omega}(p) = K_{p\omega} + K_{ip\omega} \frac{1}{p};$$

$$K_{p\omega} = \frac{T_m}{a_\omega T_{trn} K_{pi} K_{trn} K_o K_{o\omega}}; K_{ip\omega} = \frac{K_{p\omega}}{T_m},$$

де приймаємо $a_\omega = 3 \dots 5$.

Через те, що оптимізація контуру струму проводилася по статичним режимом, то може виникнути потреба в регулюванні коефіцієнтів регулятора швидкості (і остаточне визначення a_ω), які підбираються за результатами моделювання з умови забезпечення якості регулювання в динаміці.

4.4 Моделювання системи ТРН-АД в MATLAB / Simulink

У роботі необхідно досліджувати роботу системи шляхом структурного моделювання. При побудові структури моделі та аналізі результатів моделювання слід пам'ятати, що в реальності силова регулююча частина системи істотно нелінійної і її властивості накладають певні обмеження на регулюальні властивості системи ЕП.

У нашому випадку це:

- привід є нереверсивним без режиму динамічного гальмування, тому сигнали завдання на швидкість і зворотного зв'язку по швидкості можуть бути тільки позитивними;

- при фазовому управлінні на виході ТРН змінюється рівень напруги при фіксованій частоті - структурно при формуванні миттєвих значень напруг живлення статора, їх амплітуда повинна бути позитивною - значить сигнал на виході регулятора струму повинен бути тільки позитивним.

Крім того, в системі контролюється амплітуда струму статора, і сигнал з відповідного датчика (АА на рис. 4.1) є завжди позитивним.

З урахуванням цих особливостей будується модель регулюючої частини системи електроприводу ТРН-АД.

Модель асинхронної машини рекомендується будувати по повним описом з урахуванням електромагнітних процесів в загальній нерухомої просторовій системі координат α, β - α, β в координатах стану « $I_s - \psi_r$ », а на рисунку 4.5 представлена згорнутою в підсистему (Subsystem_AM) з входами $U_{s\alpha}, U_{s\beta}, M_c$ і виходами $i_{s\alpha}, i_{s\beta}, \psi_{r\alpha}, \psi_{r\beta}, M_e, \omega$.

Тиристорний регулятор напруги разом з СІФУ і компенсує нелінійним блоком представляється лінійним, а напруга на виході ТРН – сінусоїдальною з незмінною номінальною частотою і регульованою амплітудою. Отже

$$U_{s\alpha} = U_{sm} \sin(\int \omega_{0e} dt); U_{s\beta} = -U_{sm} \cos(\int \omega_{0e} dt);$$

$$\omega_{0e} = 2\pi f_h = const;$$

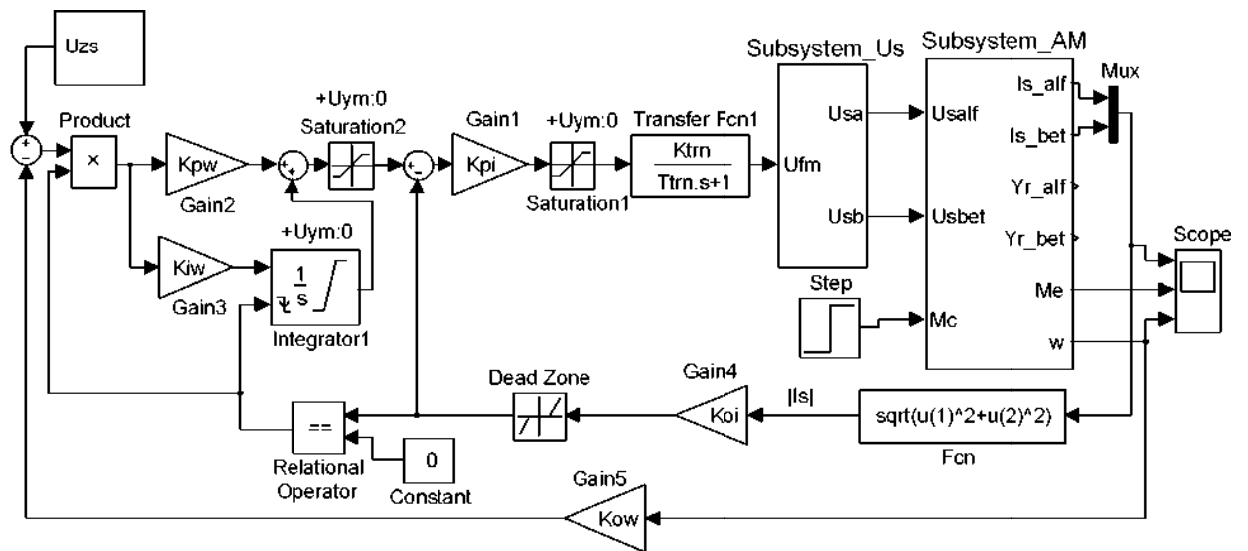


Рисунок 4.5 - Структура моделі ЕП па системі ТРН-АД в МАДЛАВ / Simulink

де U_{sm} - амплітудне значення напруги. U_{sm} одержується на виході аперіодичної ланки з коефіцієнтом K_{trh} і сталою часу T_{trh} (блок Transfer Fcn1 на рис. 4.5).

Структура отримання напруг $U_{s\alpha}, U_{s\beta}$, по (4.2) на рисунку 4.5 оформлена у вигляді підсистеми Subsystem_Us.

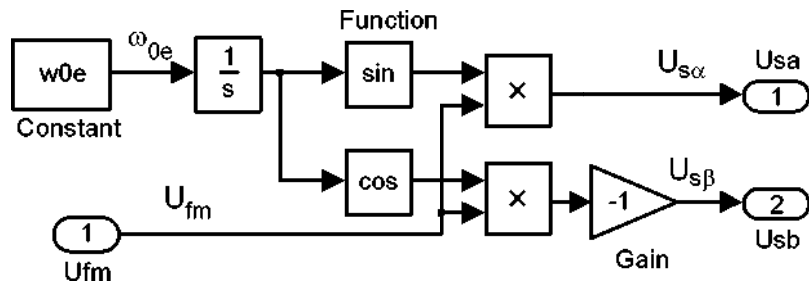


Рисунок 4.5 - Структура підсистеми Subsystem_Us формування напруг $U_{s\alpha}, U_{s\beta}$

У контурі струму пропорційний регулятор представлений підсилювачем (Gain1) з обмеженням (Saturation1). З огляду на зазначені вище регулювальні властивості ТРН, сигнал виходу регулятора струму повинен бути тільки позитивним, тому в блоці Saturation1 обмеження встановлюється в межах ($U_{ym}; 0$). Зворотній зв'язок по току замикається по амплітудному значенням, яке з сигналів моделі двигуна ($i_{s\alpha}, i_{s\beta}$) можна отримати по теоремі Піфагора

$$I_{sm} = |I_s| = \sqrt{i_{s\alpha}^2 + i_{s\beta}^2}$$

Розрахунок I_{sm} по (4.2) в моделі реалізовано блоком Fcn (рис. 4.5). Зона нечутливості в зворотного зв'язку по струму реалізована блоком Dead Zone в якому задаються межі зони $\pm U_{otc}$. З огляду на те, що сигнал з датчика амплітуди струму позитивний, то початок зони нечутливості можна встановити будь-яким від $-\infty$ до 0.

Пропорційно-інтегральний регулятор швидкості реалізується за традиційною структурою, але з обмеженням виходу на рівнях $U_{ym}, 0$ (блоки Saturation2 і Integrator1). Вихід регулятора швидкості в даній роботі повинен «скидатися» в нуль при роботі внутрішнього контуру струму.

Це досягається обмеженням сигналу на вході регулятора швидкості (блоком Product) і на виході інтегратора Integrator1, задавши в блоці внутрішнє (internal) початкове значення 0 (Initial condition) і перехід на це значення по зовнішньому сигналу по спаду (falling).

Обнулення здійснюється коли логічний сигнал на виході блоку Relational Operator переходить в нульове значення. На видах блоку Relational Operator функцією «дорівнює» ($==$) порівнюються сигнали блоку DeadZone в зворотного зв'язку по струму і нуль.

Коли сигнал з блоку Dead Zone не дорівнює нулю (діє контур струму) - на виході блоку Relational Operator отримаємо нуль, інакше - одиницю.

Сигнал завдання на швидкість слід сформувати лінійно наростиючим. Задатчик інтенсивності швидкості на рисунку 4.4 не показаний. Час пуску розраховується, прийнявши значення динамічного моменту, що дорівнює номінальній

$$t_{n_h} = \frac{J\omega_h}{M_h}.$$

На рис. 4.6- 4.7 показані графіки перехідних процесів і фазові портрети роботи систем стабілізації швидкості при ковзанні, відповідному мінімуму струму статора (рис. 4.6) і мінімуму реактивної потужності (рис. 4.7).

Порівняння показників при номінальному моменті опору наведено в таблиці 4.1. З таблиці видно, що в режимі мінімізації реактивної потужності статора при номінальному моменті опору реактивна потужність знижується на 27,4%.

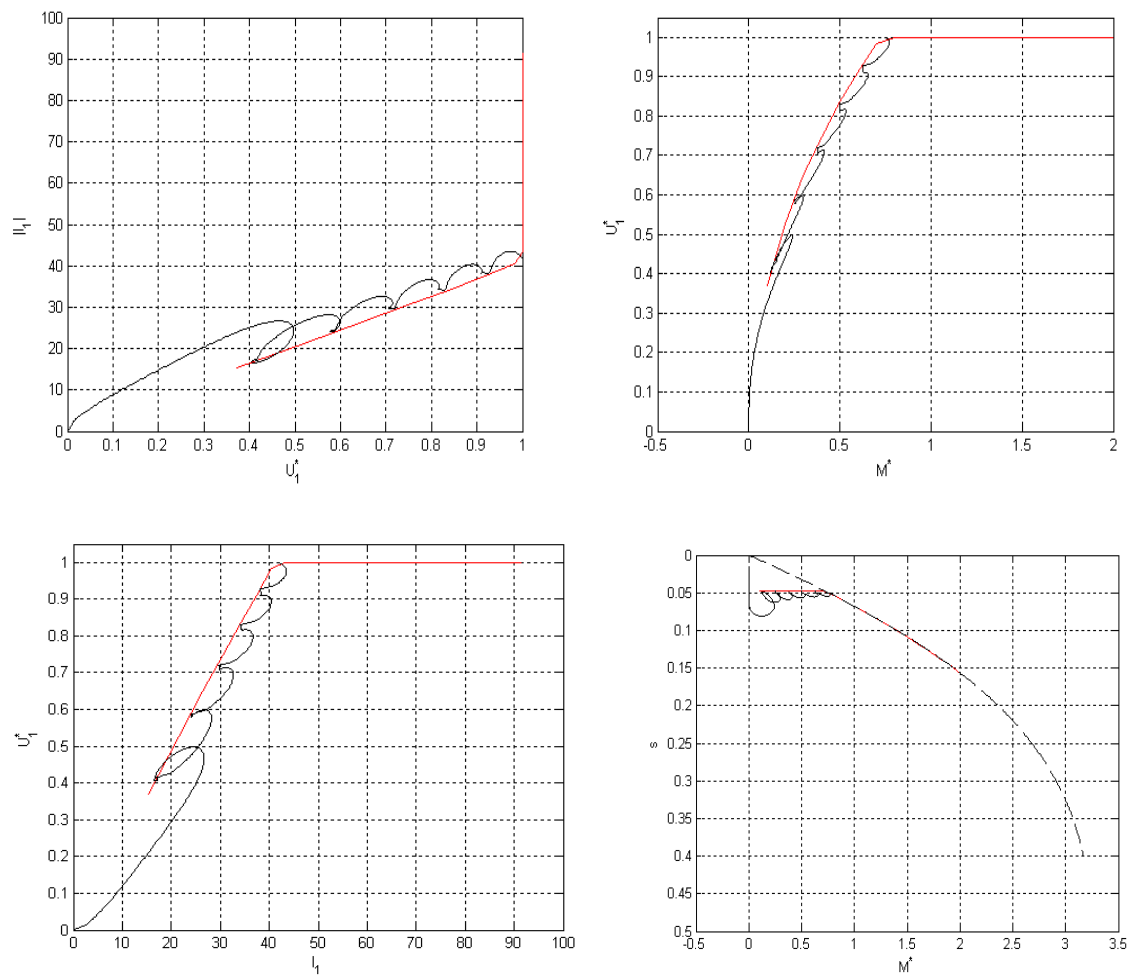


Рисунок 4.6 – Фазові портрети роботи систем стабілізації швидкості при ковзанні, відповідному мінімуму струму статора

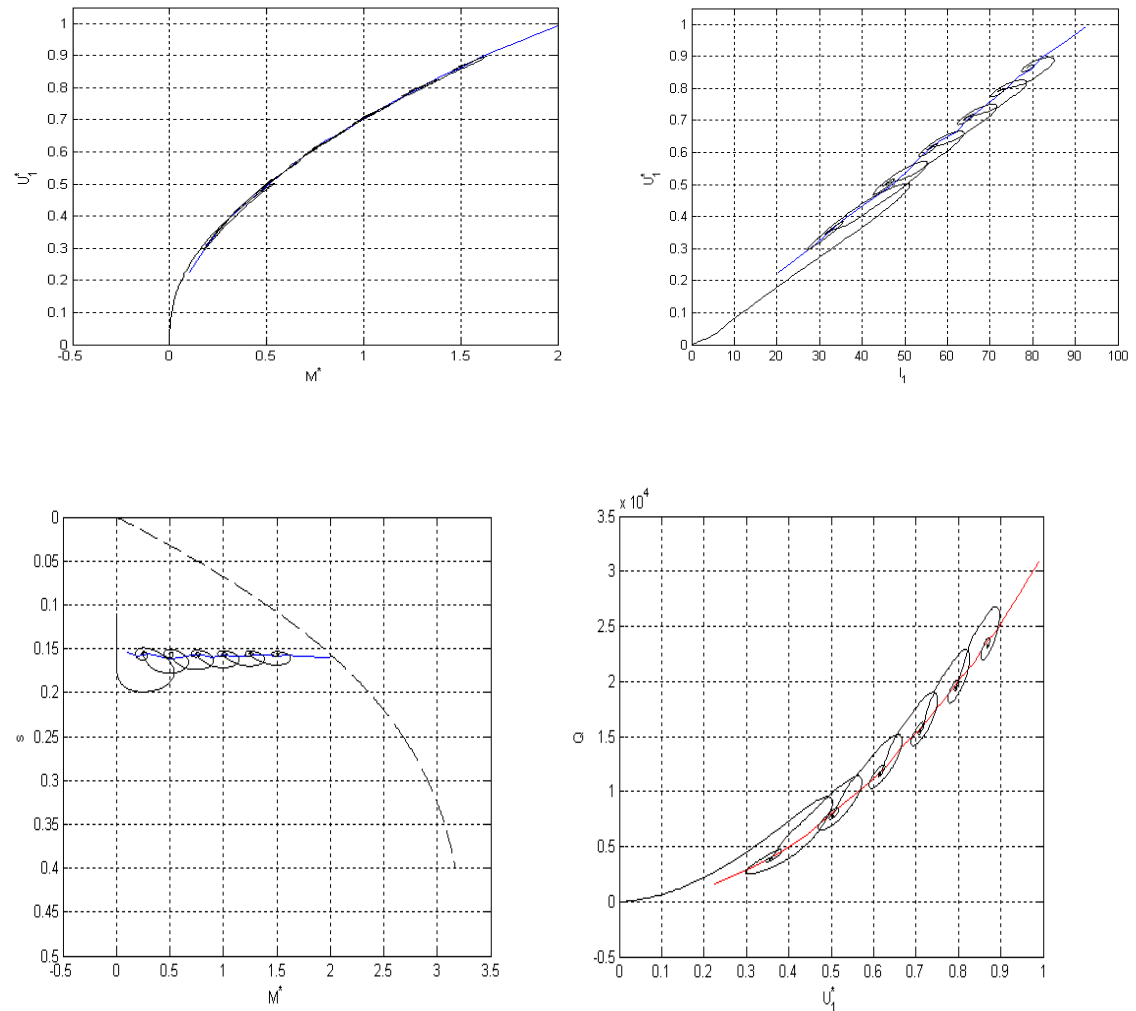


Рисунок 4.7 – Фазові портрети роботи систем стабілізації швидкості при ковзанні, відповідному і мінімуму реактивної потужності

Таблиця 4.1 - Порівняння енергопоказників при номінальному моменті

показник	значення		змінення	
	$U = U_n$	U_{onm}	абсолютне	відносне
U_1^*	1	0,704	0,296	0,296
S	0,068	0,1585	-	-
ω	97,5	88,02		16,6
$ I_1 $	49,7894	65,0495	-17,2601	-0,35
$ I_2 $	38,7650	59,1819	-20,4169	-0,53
ΔP_{M1}	1413	2412	-999	-0,707
ΔP_{M2}	1600,4	3730,2	-2129,8	-1,33
ΔP	3013,4	6142,2	-3128,8	-1,038
P_{mex}	2192,9	1979,9	213	0,097
η	0,8792	0,7632	0,116	-
$\cos \varphi$	0,7590	0,8583	-	-0,130
Q_1	21394	15511	5883	0,274

ВИСНОВКИ

1. Розроблено програму розрахунку статичних характеристик АД який одержує живлення від джерела напруги;
2. Отримано залежності напруги від струму статора, моменту, реактивної енергії при яких забезпечується екстремальний характер енергопоказників;
3. Оптимальна система управління АД з підтримкою мінімального струму статора або реактивної потужності може будуватися як система стабілізації швидкості.

ПЕРЕЛІК ПОСИЛАНЬ

1. Энергосберегающий асинхронный электропривод // И. Я. Браславский, З. Ш. Ишматов, В. Н. Поляков: Учеб. пособие для студ. высш. учеб. заведений. – М.: Издательский центр «Академия», 2004. – 256 с.
2. Казачковский М. М., Комплектные электроприводы: Уч. пособие. – Днепропетровск: Национальный горный университет, 2003. – 226 с.
3. Вешеневский С. Н. Характеристики двигателей в электроприводе / С. Н. Вешеневский. – М.: Энергия, 1977. – 432 с.
4. Башарин А. В., Новиков В. А., Соколовский Г. Г. Управление электроприводами: Учебное пособие для вузов. – Л.: Энергоиздат, Ленингр. отд-ние, 1982. – 392 с.
5. Системы управления электроприводов: учебник для студ. высш. учеб. Заведений / В. М. Терехов, О. И. Осипов. – М.: «Академия», 2006. – 304с.
6. Браславский И. Я, Зубрицкий О. Б. Куцин В. В. К определению мощности тиристорных асинхронных электроприводов при параметрическом управлении // Электротехника. — 1974. — № 10. — С. 23—26.
7. Браславский И. Я., Зюзев А. М, Трусов Н. П. Сравнительный анализ способов регулирования подачи центробежных насосов // Электротехническая промышленность. Сер. Электропривод. — 1983. — Вып. 2 (112). — С. 8-10.
8. Браславский И. Я. О снижении энергопотребления асинхронных электроприводов с тиристорными преобразователями напряжения// Электричество. - 1988. - № 11. - С. 58-60.
9. Импульсный регулируемый электропривод с фазными электродвигателями // Э. В. Шикуть, М.И. Крайцберг, П. А. Фукс и др. — М.: Энергия, 1972. — 104 с.
10. Электромагнитные переходные процессы в асинхронном электроприводе / М. М. Соколов, Л. П. Петров, Л. Б. Масандилов, В. А. Ладензон. — М.: Энергия, 1967. — 200 с.

11. Браславский И. Я., Зюзев А. М., Костылев А. В. Баланс реактивной мощности в системе тиристорный преобразователь напряжения — асинхронный двигатель // Электротехника. — 2000. — № 1. — С. 30—33.
12. Онищенко Г. Б., Юньков М. Г. Электропривод турбомеханизмов. — М.: Энергия, 1972. — 240 с.
13. Шубенко В. А., Браславский И. Я. Тиристорный асинхронный электропривод с фазовым управлением. — М.: Энергия, 1972. — 200с.
14. Сандрер А. С., Гусяцкий Ю. М. Тиристорные инверторы с широтно-импульсной модуляцией для управления асинхронными двигателями. — М.: Энергия, 1968. — 96 с.
15. Braslavsky I. Ya., Zuzev A.M. Shilin S.I. Software for thyristor voltage regulator — asynchronous motor (TVR — AM) system// Proceedings of the 2nd international Conference «Electrical Engineering Analysis and Design». — Southampton, 1993. — Р. 153—159.
16. Лезнов Б. С. Энергосбережение и регулируемый привод в насосных установках. — М.: ИК «ЯГОРБА» — Биоинформсервис, 1998. — 180 с.
17. Браславский И. Я. Асинхронный полупроводниковый электропривод с параметрическим управлением. — М.: Энергоатомиздат, 1988. — 224 с.
18. Фираго Б. И. Расчет характеристик и показателей трехфазных вентильных двигателей переменного тока / Б. И. Фираго // Вестник Кременчугского государственного университета им. М. Остроградского. — Кременчуг: КГУ, 2010. – Вып. 3/2010 (62). Часть 1. – С. 48-52.

додаток А

Розрахунок параметрів АМ

Розрахунок параметрів АМ з КЗР.

$$\begin{aligned}
 x_m &= r_1 \sqrt{\frac{1 - \cos^2 \varphi_{xx}}{\cos^2 \varphi_{xx}}} - x_1 = \frac{r_1}{\cos \varphi_{xx}} \sqrt{1 - \cos^2 \varphi_{xx}} - x_1 = r_1 \operatorname{tg} \varphi_{xx} - x_1 \\
 Z_{xx} &= \sqrt{r_1^2 + (x_1 + x_m)^2} = \frac{U_1}{I_{xx}} \\
 (x_1 + x_m)^2 &= \left(\frac{U_1}{I_{xx}}\right)^2 - r_1^2 \\
 x_m &= \sqrt{\left(\frac{U_1}{I_{xx}}\right)^2 - r_1^2} - x_1
 \end{aligned}$$

додаток Б

Скрипт-файл розрахунку статичних характеристик АМ

```

clearall
closeall
% MTKB411-6;

Pn = 22e3;
nn = 935;
zp = 3;
cosFxx = 0.07;
I1n = 50;
r1 = 0.19;
x1 = 0.31;
I2n = 37;
r2 = 0.355;
x2 = 0.375;
Jd = 0.475;

U1n = 220;
I1xx = 29.7;
% =====
% Xm = (r1 / cosFxx) * sqrt (1-cosFxx ^ 2) -x1
xm = sqrt ((U1n / I1xx) ^ 2-r1 ^ 2) -x1;
xr = x2 + xm;

f = 50;
wc = 2 * pi * f;
Lm = xm / wc;
%
wn = pi * nn / 30;
Mn = Pn / wn
Mm = 3 * Mn
n0 = 1000;
w0 = pi * n0 / 30;

sn = (w0-wn) / w0

% ===== v kompl vide =====
U1 = j * U1n;
s = 0.065;
U1_ = linspace (0.2,1,99);% (0.2,1,99)
U1v = U1_ * U1n;
sv = linspace (0,0.4,201);

```

```

for d = 1: length (U1_) % Po U1
for q = 1: length (sv) % Po s
    U1 = j * U1v (d);
    s = sv (q);
Zem2 = j * xm * (j * x2 * s + r2) / (j * xr * s + r2);
Z1 = r1 + j * x1;
Zad = Z1 + Zem2;
I1 = U1 / Zad;
E0 = U1-Z1 * I1;
I0 = E0 / (j * xm);
I2 = s * E0 / (r2 + j * x2 * s);
% -----
% 1)
I2 = -I2;
Me (q, d) = (2) * (3/2) * zp * Lm * (imag (I1) * real
(I2) -real (I1) * imag (I2));
% 2)
mI1 (q, d) = abs (I1); mI2 (q, d) = abs (I2);
DP1 (q, d) = 3 * mI1 (q, d) ^ 2 * r1;
DP2 (q, d) = 3 * mI2 (q, d) ^ 2 * r2;
DP (q, d) = DP1 (q, d) + DP2 (q, d);
% 3)
Pmex (q, d) = Me (q, d) * w0 * (1-s);
kpd (q, d) = Pmex (q, d) / (Pmex (q, d) + DP (q, d));
% 4)
cosF (q, d) = imag (I1) / mI1 (q, d);
% 5)
Q (q, d) = 3 * abs (U1) * real (I1);
end% For q = 1: length (sv)% po s
figure (1)
fh = figure (1)
    set (fh, 'Color', 'White')
plot (Me (:, d), sv)
holdon
end% D = 1: length (I1v)% po U1

% ----- postroenie grafikov -----
% MX AD
figure (1)
set (gca, 'Ydir', 'Reverse')
xlabel ('Me, Nm')
ylabel ('S')
ylim ([0 1])
% Ydir ('reverse')
gridon
% Plot (Me, sv)

```

```
%%%%%%%%%%%%%%%%
%% pereschet na znashenija M zavisimosti (U, M) %%

```

```
M_ = linspace (0.1,2,20);
Mv = M_ * Mn;
for m = 1: length (M_)
    M = Mv (m);
    for d = 1: length (U1_) % Po U1
        if M <max (Me (:, d))
            s_mom = interp (Me (:, d), sv, M); % 1) naxodim
        s
            s_m (m, d) = s_mom;
% 2) naxodim vse ostalnoe
            mI1_m (m, d) = interp (sv, mI1 (:, d), s_mom);
            mI2_m (m, d) = interp (sv, mI2 (:, d), s_mom);
            DP1_m (m, d) = interp (sv, DP1 (:, d), s_mom);
            DP2_m (m, d) = interp (sv, DP2 (:, d), s_mom);
            DP_m (m, d) = interp (sv, DP (:, d), s_mom);
            Pmex_m (m, d) = interp (sv, Pmex (:, d), s_mom);
            kpd_m (m, d) = interp (sv, kpd (:, d), s_mom);
            cosF_m (m, d) = interp (sv, cosF (:, d), s_mom);
            Q_m (m, d) = interp (sv, Q (:, d), s_mom);
        else
            s_m (m, d) = nan;
            mI1_m (m, d) = nan;
            mI2_m (m, d) = nan;
            DP1_m (m, d) = nan;
            DP2_m (m, d) = nan;
            DP_m (m, d) = nan;
            Pmex_m (m, d) = nan;
            kpd_m (m, d) = nan;
            cosF_m (m, d) = nan;
            Q_m (m, d) = nan;
        end
    end% po U1
end% Po M_
```



```
% Stroim grafiki
for m = 1: length (M_)
% -----
    figure (10)
    fh = figure (10)
```

```

    set (fh, 'Color', 'White')
    plot (U1_, mI1_m (m, :))
    hold on
%
% -----
    figure (11)
    fh = figure (11)
    set (fh, 'Color', 'White')
    plot (U1_, DP_m (m, :))
    hold on
%
% -----
    figure (12)
    fh = figure (12)
    set (fh, 'Color', 'White')
    plot (U1_, kpd_m (m, :))
    hold on
%
% -----
    figure (13)
    fh = figure (13)
    set (fh, 'Color', 'White')
    plot (U1_, cosF_m (m, :))
    hold on
%
% -----
    figure (15)
    fh = figure (15)
    set (fh, 'Color', 'White')
    plot (U1_, Q_m (m, :))
    hold on

end% Po M_
figure (10)
gridon
xlabel ('U_1 ^ *')
ylabel ('| I_1 |')
xlim ([0 1])
%
% -----
figure (11)
gridon
xlabel ('U_1 ^ *')
ylabel ('\Delta P')
xlim ([0 1])
%
% -----
figure (12)
gridon
xlabel ('U_1 ^ *')
ylabel ('\Eta')

```

```

xlim ([0 1])
%
```

```

figure (13)
gridon
xlabel ('U_1 ^ *')
ylabel ('Cos \ phi_1')
xlim ([0 1])
%
```

```

figure (15)
gridon
xlabel ('U_1 ^ *')
ylabel ('Q')
xlim ([0 1])

%
===== opredelenie minimumov =====
%
M = 1
for m = 1: length (M_)
    % Opredelenie napragniy pri
    I1min (m) = min (mI1_m (m, :));
for d = 1: length (U1_) % Po U1
    if mI1_m (m, d) == I1min (m)
        U_I1min (m) = U1_ (d);
    % Skolgenie pri kotorom budet minI1
        s_I1min (m) = s_m (m, d);
    end
end

Qmin (m) = min (Q_m (m, :));
for d = 1: length (U1_) % Po U1
    if Q_m (m, d) == Qmin (m)
        U_Qmin (m) = U1_ (d);
    % Tok I1 pri kotorom budet minQ
        I_Qmin (m) = mI1_m (m, d);
    % Skolgenie pri kotorom budet minQ
        s_Qmin (m) = s_m (m, d);
    end
end

end% Po M_
%
% Nanesenie linij minimumov
    figure (10)
    plot (U_I1min, I1min, 'R')

```

```

hold on
plot (U_I1min, I1min,'R.')
figure (15)
plot (U_Qmin, Qmin,'R')
hold on
plot (U_Qmin, Qmin,'R')

%%%%%%%%%%%%%
% Perechet regimov minimumov na drugie koordinaty:
% 1) zavisimosti U (M)

%% 1.1) zavisimost U (M) dla min I1
% Figure (101)
% Plot (M_, U_I1min)
% Title ('U ^ * (M ^ *) min I_1')
% Grid on
% Ylim ([0 1.05])
% Ylabel ('U_1 ^ *')
% Xlabel ('M ^ *')
%

%% 1.2) zavisimost U (M) dla min Q
% Figure (102)
% Plot (M_, U_Qmin)
% Title ('U ^ * (M ^ *) min Q_1')
% Grid on
% Ylim ([0 1])
% Ylabel ('U_1 ^ *')
% Xlabel ('M ^ *')

% 1.3) zavisimosti U (M) (OBE)
    figure (103)
    fh = figure (103)
    set (fh, 'Color', 'White')
    plot (M_, U_I1min,'R') % Min I_1
    hold on
    plot (M_, U_Qmin) % Min Q
    grid on
    ylim ([0 1.05])
    legend ('U ^ * (M ^ *) min I_1', 'U ^ * (M ^ *) min Q_1', 4)
    ylabel ('U_1 ^ *')
    xlabel ('M ^ *')

% 2) zavisimosti U (I1)

```

```

%% 2.1) zavisimost U (I1) dla min I1 - uge est
% Figure (201)
% Plot (I1min, U_I1min, 'r')
% Hold on
% Plot (I1min, U_I1min, 'r.')
% Title ('U ^ * (I_1 *) min I_1')
% Grid on
% Ylim ([0 1])
%% Nachnem os xs 0
% XL = get (gca, 'xlim');
% XL (1) = 0;
% Xlim (XL)
% Ylabel ('U_1 ^ *')
% Xlabel ('I_1')
%
%% 2.2) zavisimost U (I1) dla min Q
% Figure (202)
% Plot (I_Qmin, U_I1min)
% Title ('U ^ * (I_1 *) min Q')
% Grid on
% Ylim ([0 1])
%% Nachnem os xs 0
% XL = get (gca, 'xlim');
% XL (1) = 0;
% Xlim (XL)
% Ylabel ('U_1 ^ *')
% Xlabel ('I_1')

% 2.3) zavisimosti U (I1) (OBE)
figure (203)
fh = figure (203)
set (fh, 'Color', 'White')
plot (I1min, U_I1min, 'R') % Min I_1
hold on
plot (I_Qmin, U_I1min) % Min Q
grid on
ylim ([0 1.05])
% Nachnem os xs 0
XL = get (gca, 'xlim');
XL (1) = 0;
xlim (XL)
legend ('U ^ * (I_1 *) min I_1', 'U ^ * (I_1 *) min Q_1', 4)
ylabel ('U_1 ^ *')
xlabel ('I_1')

```

```

% 3) zavisimosti U (s)
%% 3.1) zavisimost U (s) dla min I1 - uge est
% Figure (301)
% Plot (s_I1min, U_I1min, 'r')
% Title ('U ^ * (s) min I_1')
% Grid on
% Ylim ([0 1])
% Ylabel ('U_1 ^ *')
% Xlabel ('s')
%
%% 3.2) zavisimost U (s) dla min Q
% Figure (302)
% Plot (s_Qmin, U_I1min)
% Title ('U ^ * (s) min Q')
% Grid on
% Ylim ([0 1])
% Ylabel ('U_1 ^ *')
% Xlabel ('s')

% 3.3) zavisimosti U (s) (OBE)
figure (303)
fh = figure (303)
set (fh, 'Color', 'White')
plot (s_I1min, U_I1min, 'R') % Min I_1
hold on
plot (s_Qmin, U_I1min) % Min Q
grid on
xlim ([0 0.2])
legend ('U ^ * (s) min I_1', 'U ^ * (s) min Q_1', 4)
ylabel ('U_1 ^ *')
xlabel ('S')

%
%
%
% 4) EMX s min pokazatelami
%% 4.1) zavisimost s (M) dla min I1 - uge est
% Figure (401)
% Plot (M_, s_I1min, 'r')
% Set (gca, 'ydir', 'reverse')
% Title ('s (M) min I_1')
% Grid on
% Ylim ([0 0.5])
%% Nachnem os xs 0
%% XL = get (gca, 'xlim');

```

```

%% XL (1) = 0;
%% Xlim (XL)
% Ylabel ('s')
% xlabel ('M ^ *')

%%
%% 4.2) zavisimost s (M) dla min Q
% Figure (402)
% Plot (M_, s_Qmin)
% Set (gca, 'ydir', 'reverse')
% Title ('s (M) min Q')
% Grid on
% Ylim ([0 0.5])
%%% Nachuem os xs 0
%% XL = get (gca, 'xlim');
%% XL (1) = 0;
%% Xlim (XL)
% Ylabel ('s')
% xlabel ('M ^ *')

% 4.3) zavisimosti U (s) (OBE)
figure (403)
fh = figure (403)
set (fh, 'Color', 'White')
plot (M_, s_I1min, 'R') % Min I_1
hold on
plot (M_, s_Qmin) % Min Q
plot (Me (:, end) / Mn, sv, 'K--') % Est MX
set (gca, 'Ydir', 'Reverse')
grid on
ylim ([0 0.5])
legend ('S (M) min I_1', 'S (M) min Q_1', 'Est MX', 3)
ylabel ('S')
xlabel ('M ^ *')

%%%%%%%%%%%%%
%% vivod %%
% 1) skolgenie dla min I1
s_opt_minI1 = s_I1min (1);

% 2) skolgenie dla min Q
s_opt_minQ = s_Qmin (1);

```

Додаток А

Системи регульованого електроприводів для вентиляторної установки

A.1 Енергозбереження в електроприводах

В останні роки розвинені країни активно працюють над питаннями енергозбереження, що обумовлено обмеженістю і закінченістю викопної сировини (нафта, вугілля, газ, уран тощо); зростаючим світовим попитом на енергію за рахунок постійного зростання економіки, промисловості і добропуту населення; глобальними змінами клімату із-за збільшення емісії парникових газів; постійним і часто непередбачуваним зростанням цін на вуглеводні; активною «атомофобією» у багатьох країнах Західної Європи і боротьбою «зелених» проти атомної енергетики, що ще більше загострилися після землетрусу в Японії і аварії на АЕС «Фукусіма» в березні 2011 року.

Аналіз проблеми енергозбереження показав, що більше половини електроенергії, що виробляється в світі, споживають електродвигуни. Тому над їх вдосконаленням працюють всі провідні електротехнічні компанії світу. Це обумовило появу енергоекспективних електродвигунів (рис.А.1), які виконують більше роботи на одиницю енергії, ніж аналоги (мають вищий ККД). Вищий ККД означає менше енергоспоживання. Звідси і друга назва – енергоощадний двигун[1].



Рисунок А.1 - Чинники, що обумовлюють актуальність підвищення енергоекспективності асинхронних електроприводів

До основних енергетичних показників роботи електропривода належать втрати енергії, коефіцієнт корисної дії (ККД) η і коефіцієнт потужності $\cos\phi$.

Економічність роботи електропривода у будь-якому режимі характеризується ККД – відношення виконаної механічної роботи до кількості спожитої за цей час електроенергії:

$$\eta_u = \frac{A_{mex}}{A_{en}} = \frac{\int_0^{T_u} M_m(t) \omega_m(t) dt}{\int_0^{T_u} P dt}, \quad (1)$$

де η_u – цикловий ККД електропривода; T_u – тривалість робочого циклу, год; A_{mex} , Аел – корисна механічна робота і спожита з мережі електрична енергія, Дж; M_m – момент на валу робочої машини, Н·м; ω – кутова швидкість приводного вала робочої машини, с-1 ; P – потужність, споживана електроприводом з мережі, Вт.

Якщо відомі значення ККД перетворювача електроенергії $\eta_{\text{п.ел}}$, двигуна $\eta_{\text{дв}}$ і механічних передач $\eta_{\text{мех.}}$, то ККД електропривода

$$\eta = \eta_{\text{п.ел}} \eta_{\text{дв}} \eta_{\text{мех.}} \quad (2)$$

Економічність споживання електроенергії з мережі характеризується коефіцієнтом потужності, який є відношенням активної потужності P до повної S :

$$\cos\phi = \frac{P}{S} \quad (3)$$

Європейським союзом розроблений і набув чинності новий стандарт IEC 60034-30, згідно з яким встановлено три класи енергоефективності одношвидкісних трифазних асинхронних електродвигунів з короткозамкненим ротором (рис.2):

- IE1 – стандартний клас енергоефективності, приблизно еквівалентний класу енергоефективності Eff2, що застосовується зараз в Європі;
- IE2 – високий клас енергоефективності, приблизно еквівалентний класу енергоефективності Eff1;

- IE3 – вищий клас енергоефективності, новий клас енергоефективності для Європи.

Більше того, зараз розробляються вимоги до двигунів класу IE4. За вимогами згаданого стандарту зміни стосуються практично всіх двигунів в діапазоні потужностей від 0,75 кВт до 375 кВт. Очікується, що втрати енергії у порівнянні з класом IE3 знизяться на 15%.

Енергоощадні двигуни – це електродвигуни, ККД яких на 1–10 % вищий, ніж у стандартних двигунів. У потужних енергоощадних двигунах різниця в значеннях ККД складає 1–2 %, а в двигунах малої і середньої потужності – вже 7–10 %.

Підвищення ККД в енергоощадних електродвигунах досягається за рахунок:

- збільшення долі активних матеріалів – міді і сталі;

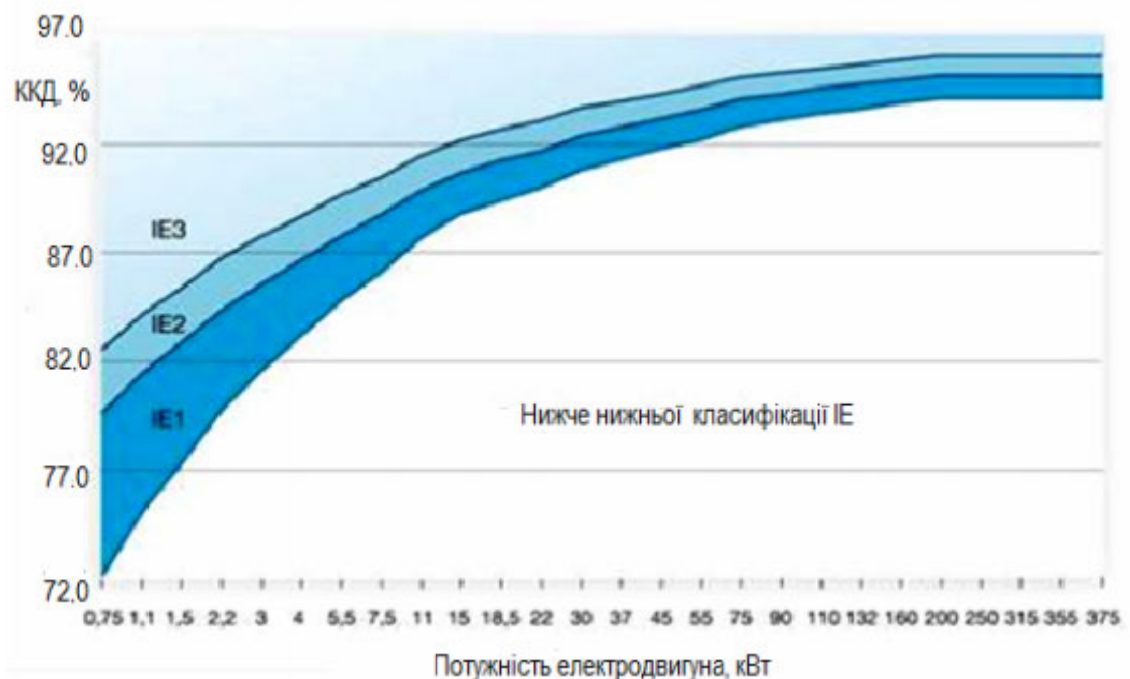


Рисунок А.2 - Класи енергоефективності асинхронних електродвигунів

- використання тоншої і високоякісної електротехнічної сталі;
- застосування замість алюмінію міді в роторних обмотках;
- зменшення повітряного зазору в статорі за допомогою прецизійного технологічного устаткування;
- оптимізації форми зубцевої зони магнітопроводу і конструкції обмоток;
- використання підшипників вищого класу;

У загальному випадку перехід до застосування енергоефективного (енергоощадного) двигуна дозволяє підвищити ККД двигуна на 1–10 % та надійність його роботи; скоротити час простоїв; зменшити витрати на технічне обслуговування; підвищити перевантажувальну здатність двигуна; його стійкість до теплових перевантажень та погіршення експлуатаційних умов (зниженої і завищеної напруги, спотворення форми кривої напруги, перекосу фаз тощо); підвищити коефіцієнт потужності; знизити рівень шуму; збільшити швидкість двигуна за рахунок зменшення ковзання.

Недоліками електродвигунів з підвищеним ККД у порівнянні із звичайними є на 10 – 30 % вища вартість; дещо більша маса; вища величина пускового струму.

Із зростанням енергоефективності збільшується і термін служби двигуна, оскільки втрати в ньому і нагрівання двигуна менші. У деяких випадках використання енергоефективного двигуна є недоцільним:

- коли двигун експлуатується менше 1–2 тис. год/рік;
- при роботі двигуна в режимах з частими пусками, оскільки заощаджена електроенергія буде витрачена на вище значення пускового струму;
- при роботі двигуна з недовантаженням, внаслідок зменшення ККД при роботі на навантаження нижче номінального.

За статистичними даними вартість енергоефективного двигуна складає менше 2 % сумарних витрат на життєвий цикл. Так, якщо двигун працює 4000 годин щороку протягом 10 років, то частка електроенергії становить приблизно 97 % всіх витрат. Тому збільшення ККД двигуна середньої потужності на 2 % дозволить окупити зростання вартості енергоощадного двигуна вже через 3 роки, залежно від режиму роботи.

Освоєння і впровадження електродвигунів високої ефективності усуває проблему необхідності збільшення встановленої потужності електроустаткування і зниження викидів шкідливих речовин в атмосферу. Крім того, зниження величини шуму і вібрації, збільшення надійності всього електроприводу є безперечним аргументом на користь застосування енергоефективних асинхронних електродвигунів.

Нині освоєний випуск асинхронних короткозамкнених двигунів серії 7A (7AVE), які відносяться до трифазних асинхронних електродвигунів загальнопромислової серії з короткозамкненим ротором. Вони мають ККД на 2 – 4% вищий, ніж в аналогів (EffI). Двигуни випускаються зі стандартним рядом висот осі обертання від 80 до 355 мм, розраховані на потужності від 1 до 500 кВт. Промисловість випускає двигуни зі стандартною частотою обертання 1000, 1500, 3000 об/хв і напругою 220/380, 380/660. Двигуни виконані зі ступенем захисту IP54 й ізоляцією класу F. Допустиме перегрівання відповідає класу В.

До переваг застосування асинхронних двигунів серії 7A відноситься їх висока економічність. Іншою перевагою таких двигунів є їх висока надійність і термін служби, окрім того, у них нижче рівень шуму приблизно в 2–3 рази по відношенню до двигунів попередніх серій. Вони дозволяють виконувати більше числа вмикань-вимикань і більш ремонтопридатні. Двигуни можуть працювати при коливаннях напруги мережі до 10 %.

В електродвигунах серії 7A використовується обмотка нового виду, яку можна намотати на обмотувальному устаткуванні старого покоління. При виготовленні двигунів цієї серії застосовуються нові просочувальні лаки, що забезпечують вищу цементацію і високу теплопровідність обмотки статора. Значно підвищена ефективність використання магнітних матеріалів. Протягом 2009 р. освоєні габарити 160 і 180, а протягом 2010-2011 рр. були освоєні габарити 280, 132, 200, 225, 250, 112, 315, 355 мм.

Серія 7AVE відповідає стандартам енергоефективності IE1, IE2 з можливістю створення машин до рівня IE3 Premium. Технологічними перевагами двигунів серії 7AVE є низькі шумові характеристики (на 3–7 дБ нижче, ніж у двигунів попередньої серії), тобто більш ергономічні; вищі показники надійності за рахунок зниження робочих температур, що забезпечує надійну роботу при тривалих перевантаженнях на 10–15 %; знижені значення наростання температури при загальмованому роторі, що дозволяє забезпечити надійну роботу в системі приводу механізмів з частими і важкими пусками і реверсом. Двигуни серії 7AVE адаптовані до роботи у складі частотно-

регульованого електроприводу. У таких умовах роботи особливо актуальні такі переваги:

–підвищена кратність максимального моменту в зоні низьких частот сприятливо впливає на роботу машини в області частот 0–20 Гц, а також знижує час пуску електродвигунів у високо інерційних системах;

–високий сервіс-чинник електродвигуна дозволяє працювати з постійним моментом у першій зоні механічної характеристики, не застосовуючи систему незалежної вентиляції.

Конструкцією енергоощадного електродвигуна передбачені місця встановлення датчиків температури, які забезпечують вбудований температурний захист. Електродвигуни відповідають новому стандарту IEC 6003430. Не дивлячись на високу результативність, нині існує ряд перешкод для поширення енергоефективних систем електроприводу:

–заміна лише одного або двох електродвигунів на цілому підприємстві є неефективним заходом;

–низький рівень інформованості споживачів про класи енергоефективності двигунів, їх відмінності та існуючі стандарти;

–окреме фінансування на багатьох підприємствах: розпорядник бюджету при закупівлі електродвигунів часто є не тією особою, яка займається питаннями зниження собівартості продукції, що випускається, або несе щорічні витрати на технічне обслуговування;

–придання електродвигунів у складі комплектного устаткування, виробники якого часто з метою здешевлення продукції встановлюють електродвигуни низької якості;

–витрати на придбання устаткування і на витрату енергії за термін служби часто оплачуються за різними статтями;

–на багатьох підприємствах існують запаси електродвигунів, як правило, того ж типу і того ж класу ефективності.

Впровадження енергоефективних двигунів в електроприводах забезпечує:

–економію споживання електроенергії за рахунок вищих ККД двигунів;

- економію за рахунок зниження встановленої потужності, необхідної для роботи устаткування з енергоефективним приводом;
- підвищення терміну служби та надійності двигунів; - зниження рівня шуму та вібрації.

A.2 Огляд існуючих систем вентиляції

Природна вентиляція: природна вентиляція приміщень обумовлюється різницею температур зовнішнього й кімнатного повітря й силою вітру. Вітровий напір повітря робить на одну сторону будинку тиск, за рахунок якого повітря проникає в приміщення, а з підвітряної сторони за рахунок розріженні відсмоктує повітря із приміщення. Повіtroобмін залежить від виду будівельного матеріалу стін будинку. Дерево, цегла добре пропускають повітря. Бетонні стіни, фарбовані олійною фарбою, цементна штукатурка значно знижують повітропроникність. З метою посилення природної вентиляції виконують також провітрювання приміщень через вікна, квартири, фрамуги.

З метою посилення природної вентиляції в стінах будинків прокладають витяжні вентиляційні канали, що відкриваються у кухні, у ванній та туалеті. Вони закінчуються на даху спеціальними насадками - дефлекторами, які підсилюють відсмоктування повітря за рахунок сили вітру. У сучасних житлах системи з каналною витяжкою вентиляції не завжди забезпечують видалення із квартири повітря. Нерідко виникає несприятливе явище як "перекидання тяги". У цих випадках через вентиляційні канали в приміщення надходять сторонні фракції та пил, що створює небезпеку поширення бруду і інфекцій з однієї квартири в інші. Для поліпшення повіtroобміну в житлових приміщеннях можна використовувати електричні вентилятори у витяжному каналі.

Механічна вентиляція: у механічних системах вентиляції використовуються устаткування і прилади (вентилятори, електродвигуни, повітронагрівачі, пиловловлювачі, автоматика й ін.), що дозволяють переміщати повітря на значні відстані.

Витрати електроенергії на їх роботу можуть бути досить великими. Такі

системи можуть подавати і видаляти повітря із локальних зон приміщення в необхідній кількості, незалежно від умов, що змінюються, навколошнього повітряного середовища. При необхідності повітря піддають різним видам обробки (очищенню, нагріванню, зволоженню й т.д.), що практично неможливо в системах природної вентиляції.

Слід зазначити, що на практиці часто передбачають так звану змішану вентиляцію, тобто одночасно природну й механічну вентиляцію. У кожному конкретному проекті визначається, який тип вентиляції є найкращим у санітарно-гігієнічному відношенні, а також економічно й технічно більше раціональним.

Припливна вентиляція: припливні системи - один з видів механічної вентиляції, слугують для подачі у вентильовані приміщення чистого повітря замість вилученого. Припливне повітря, як правило, піддається спеціальній обробці (очищенню, нагріванню, зволоженню й т.д.) за допомогою відповідного додаткового встаткування.

Витяжна вентиляція: витяжна вентиляція видаляє із приміщення (цеху, корпусів) забруднене або нагріте відпрацьоване повітря. У загальному випадку в приміщенні передбачаються як припливні системи вентиляції, так і витяжні системи. Їхня продуктивність повинна бути збалансована з урахуванням можливості надходження повітря в суміжні приміщення або із суміжних приміщень. У приміщеннях може бути також передбачена тільки надходить у дане приміщення зовні або із суміжних приміщень через спеціальні прорізи або віддаляється з даного приміщення назовні, або перетікає в суміжні приміщення. Як припливна, так і витяжна вентиляція може застосовуватися на робочому місці (місцева вентиляція), або для всього приміщення (загальнообмінна вентиляція).

Місцева вентиляція: місцевою вентиляцією називається така вентиляція, при якій повітря подають на певні місця (місцева припливна вентиляція) і забруднене повітря видаляють тільки від місць утворення шкідливих виділень (місцева витяжна вентиляція).

Місцева припливна вентиляція: місцева вентиляція вимагає менших

витрат, чим загальнообмінна вентиляція. Тому наприклад виробничих приміщеннях при виділенні шкідливих газів, вологи, теплоти й т.д. зазвичай застосовують змішану систему вентиляції - загальну в повному обсязі приміщення й місцеву (місцеві припливи) для подачі свіжого повітря до робочих місць.

Місцева витяжна вентиляція: Місцеву витяжну вентиляцію застосовують, коли місця виділення шкідливих речовин у приміщенні локалізовані й не можна допустити їхнього поширення по всьому приміщенню. Місцева витяжна вентиляція у виробничих приміщеннях забезпечує вловлювання й видалення шкідливих виділень: газів, диму, пилу й часточок, що виділяються під час виробничих процесів.

Для витяжки на місцях застосовуються місцеві відсмоктувальні (укриття у вигляді шаф, зони, бортові відсмоктувачі, завіси, укриття у вигляді кожухів біля верстатів та ін.)

Місцеві витяжні системи вентиляції, як правило, досить ефективні тому що дозволяють видаляти шкідливі речовини безпосередньо від місця їхнього утворення або виділення, не даючи їм поширитися в приміщенні. Завдяки відводу значної концентрації шкідливих речовин (пару, газів, пилу, зазвичай вдається досягти гарного санітарно-гігієнічного ефекту при невеликому об'ємі повітря, що видаляється.

Однак місцеві системи вентиляції не можуть вирішити всіх завдань вентилювання. Не всі шкідливі виділення можуть бути локалізовані завдяки цим системам. Наприклад, коли шкідливі виділення розосереджені на значній площині або в значному об'ємі, подача повітря в окремі приміщення не може забезпечити необхідні умови повітряного середовища.

Загальнообмінна вентиляція: загальнообмінні системи вентиляції – як припливні так і витяжні, призначені для здійснення вентиляції в приміщенні вцілому, або в значній його частині. Загальнообмінні витяжні системи відносно рівномірно видаляють повітря з усього приміщення, що обслуговується, а загальнообмінні припливні припливні системи подають повітря й розподіляють його по всьому об'ємі вентильованого приміщення.

Загальнообмінна припливна вентиляція: загальнообмінна припливна вентиляція влаштовується для асиміляції надлишкового тепла й вологи, розведення шкідливих концентрацій парів і газів, не вилучених місцевою вентиляцією й загальнообмінною витяжною вентиляцією, а також для остаточного забезпечення розрахункових норм .

При негативному тепловому балансі, тобто при недоліку тепла, загальнообмінну припливну вентиляцію влаштовують із механічним спонуканням і з підігрівом усього об'єму припливного повітря. Як правило, перед подачею повітря очищають від пилу. При надходженні шкідливих виділень у цеху кількість припливного повітря має повністю компенсувати загальнообмінну й місцеву витяжну вентиляцію

Загальнообмінна витяжна вентиляція: найпростішим типом загальнообмінної витяжної вентиляції є окремий вентилятор (звичайно осьового типу) з електродвигуном на одній осі, розташований у вікні або в отворі стіни. Така установка видаляє повітря з найближчої до вентилятора зони приміщення, здійснюючи лише загальний повіtroобмін.

У деяких випадках установка має протяжний і витяжний повітроводи. Якщо довжина витяжного повітроводу перевищує 30-40 м і відповідно втрати тиску в мережі становлять більше 30-40 кг/кв. м,, то замість осьового вентилятора встановлюється вентилятор відцентрового типу. Коли шкідливими виділеннями в цеху є важкі гази або пил і немає тепловиділення від устаткування, витяжні повітроводи прокладають по підлозі цеху або виконують у вигляді підпільних каналів.

У промислових будинках, де є різnorідні шкідливі виділення (теплота, влага, гази, пари, пил і т.д.) і їхнє надходження в приміщення відбувається в різних умовах (зосереджено, розосереджено, на різних рівнях і т.п.), часто неможливо обйтися якою-небудь однією системою, наприклад, місцевою вентиляцією або загальнообмінною. У таких приміщеннях для видалення шкідливих виділень, які не можуть бути локалізовані й надходять у повітря приміщення, застосовують загальнообмінні витяжні системи.

Канальна й безканальна вентиляція: системи вентиляції або мають

розгалужену мережу повітроводів для переміщення повітря (канальні системи), або канали-повітроводи можуть бути відсутніми, наприклад, при установці вентиляторів у стіні, у перекритті, при природній вентиляції т.д. (безканальні системи).

Планується здійснювати вентиляцію всього промислового приміщення, де також потрібно видаляти шкідливі концентрації парів і газів, і підтримувати комфортні умови для праці. Тож для нашого випадку було обрано загальнообмінну припливну вентиляцію.

A.3 Обґрунтування вибору вентиляторної установки

Вихідні дані для вибору та розрахунку вентиляторної установки:

–необхідна продуктивність(подача): $Q=510\text{m}^3/\text{s}$;

–необхідний тиск: $H = 300\text{Pa}$;

По заданим вихідним даним, з урахуванням компенсації 20% втрати повітря по каталогу вибираємо осьовий вентилятор ВЦД-47, в якого робоча точка знаходитьться в економічній зоні (максимальний ККД вентилятора), який має наступні параметри[2], які приведені в таблиці

Таблиця А.1 – Технічна характеристика вентилятора ВЦД-47

Діаметр робочого колеса, мм	4700	
Подача номінальна, м ³ /сек	187	250
Подача в межах роб.зони, м ³ /сек	90	680
Статичний тиск номінальний, daPa	7200	7100
Статичний тиск в роб. зоні, daPa	1000	8800
ККД статичний максимальний, не менше	0,87	
Споживана потужність, кВт, не більше	4800	290-2050
Напруга, В	6000	
Частота обертання робочого колеса, min-1	125	490

Габаритні розміри, мм:	
Довжина	13070
Ширина	8170
Висота	5040
Маса вентилятора без електродвигуна, кг	85000

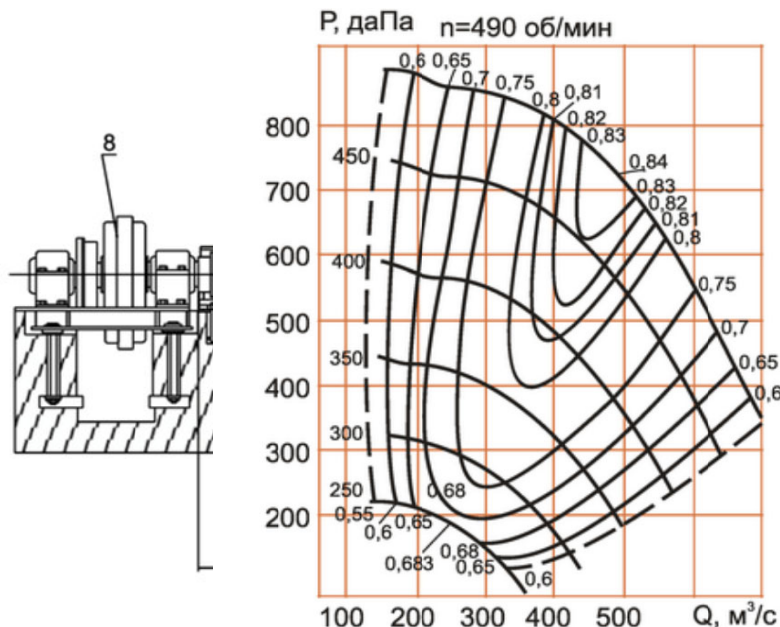
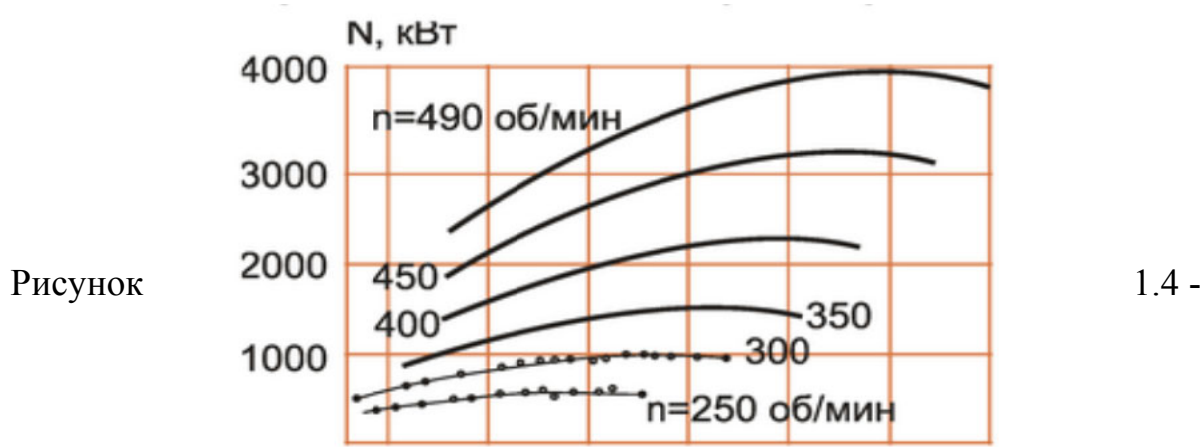


Рисунок А.3 - Загальний вигляд вентилятора ВЦД-47



Аеродинамічні характеристики вентилятора

Вентилятор ВЦД-47 – це відцентровий двостороннього всмоктування вентилятор, зображеній в додатку А, рис. А.1. Призначений для головного

провітрювання шахт та інших промислових приміщень, з потрібою витратою повітря від 90 до $680\text{м}^3/\text{s}$ і тиском від 1000 до 8800 Па.

Даний вентилятор складається з ротора 1, корпуса 2, правої всмоктуючої коробки 3, лівої всмоктуючої коробки 4, пристрою для скидання потужності 5, 6, системи змащення 7, електродвигун 8.

Переваги відцентрових вентилятора ВЦД-47:

- високий ККД і механічна надійність;
- можливість зміни експлуатаційних характеристик;
- висока стійкість і надійність робочих режимів;
- безпеку роботи, легкість обслуговування і доступу до всіх частин вентилятора.

A.4 Сучасні системи управління повітряним середовищем у приміщенні

Головними поняттями теорії системи управління є системами та управління. Система – сукупність пов'язаних між собою елементів, об'єктів або процесів, що взаємодіють один з одним і з середовищем за певним законів.

- У наведеному визначенні необхідно звернути увагу на слова взаємодія з середовищем. Будь-яка система не може існувати окремо і завжди схильна до впливу ззовні, що необхідно враховувати при її вивчені або створені.
- Управління – це сукупність дій, які забезпечують підтримку або зміну протікаючи технологічних процесів, відповідно до заданої програми.

- Система управління – це сукупність об'єкта управління (керованого технологічного процесу) і пристрій, що управляють, взаємодією яких забезпечує порівняння процесу, відповідно до заданої програми.

- Вплив – чинники, що змінюють стан технологічного процесу в об'єкті управління.

- Система управління, у якій підтримка заданого процесу виконується без участі людини-оператора, називається системою автоматичного управління(САУ)[8].

- Системи управління технологічними процесами , у яких пристроями, що управляють, є автоматичні пристрій, обчислювальні машини і людина,

називаються автоматизованими системами управління технологічними процесами (АСУ ТП).

Для будь-яких видів об'єктів, незалежно від класу і складності, діє один з основних принципів управління – принцип зворотного зв'язку. Суть принципу полягає у вироблення дії, що управляють, на об'єкт на підставі даних про стан процесу в конкретний момент часу і їх порівняння із заданим параметрами. На рис. 1.9 зображено типову схему промислової САУ, у якій основним елементом є об'єкт управління. На схемі виділені елементи, пристрой та функціональні блоки, до яких належать датчики, здавальники, перетворювачі, регулювальники, виконавчі механізми, регулюючі органи, програматори і пристрой дистанційного керування.

Параметри мікроклімату встановлюються залежно від санітарно-гігієнічних (комфортних) або технологічних вимог до умов внутрішнього середовища. При призначенні параметрів за технологічними вимогами враховується різноманітність їх зв'язків з технологічним процесом.

Зазвичай система клімат-контролю включає декілька рівнів. Мікроклімат у приміщеннях забезпечуються безліччю різноманітних пристрой. Через це для комплексної системи клімат-контролю існує необхідність забезпечення злагодженого керування усіма цими пристроями.

Прогресивним на сьогодні методом є централізоване управління всіма пристроями за допомогою автоматики – спеціальної системи для контролю та управління приладами і механізмами.

Для нормального функціонування САУ провітрюванням повинна складатися з наступних необхідних елементів:

1. Керуюча машина – центральна ланка системи, яка отримує та обробляє всю інформацію про вентиляційну мережу і видає команди виконавчим органам регуляторів.

2. Датчики – пристрой, що сигналізують керуючій машині про зміну витрат повітря.

3. Регулятори – механізми, за допомогою яких керуюча машина розподіляє повітря в мережі.

Завдання управління полягає не тільки у знаходженні будь-якого рішення і навіть не всього можливого діапазону рішень, а у виборі одного з низки можливих рішень за певним критерієм якості управління.

На сьогодні розглядається декілька способів управління системою клімат – контролю. По-перше, можливість установити відповідний сценарій клімат-контролю заздалегідь. Наприклад,[9-11] система може реагувати на людей, що з'явилися в приміщенні, і самостійно почати регулювати температуру. По-друге, управління кліматом може здійснюватись через датчики, які будуть стежити за тим, щоб температура не піднімалась за межі встановлених норм. По-третє, це можливість управління системою клімат-контролю за таймером. Так само системою клімат-контролю зазвичай можна управляти ручним способом, завдяки терmostатам або сенсорній панелі, на якій можна задавати необхідну в даний момент температуру.

Залежно від конкретних умов об'єкта застосовують різні види систем з кількісним регулюванням. При цьому враховується коливання теплового навантаження приміщення, необхідна точність підтримки параметрів, необхідність зонування, конструктивні можливості та інші чинники.

Окрім цього, має місце завдання різного клімату у різних приміщеннях. Сюди також можна віднести можливість управління кліматом за графіком, який може гнучко змінюватися для різних днів тижня. З розвитком техніки з'явилась можливість віддалено керувати кліматом через Інтернет або мобільний телефон, чи комп’ютера адміністратора. Існує також і можливість автоматичного використовувати для опалювання різні енергоресурси, залежно від добових змін тарифікації та оптимальної роботи устаткування, з метою енергозбереження.

Основною системою управління мікрокліматом є електроні програмовані (рідше не програмовані) елементи – контролери. В них закладається алгоритм управління всіма ввімкненими в систему пристроями і механізмами (підсистемами).

В умовах систем вентиляції (СВ) системи автоматичного регулювання (САР) застосовують для виконання функцій :

- Регулювання, тобто підтримки температури на бажаному рівні в заздалегідь заданих межах;
- Забезпечення безпеки, тобто попередження перевищення температури і запобігання виходу цього параметру за безмежні межі;
- Управління, тобто вимкнення і ввімкнення СВ у відповідні моменти часу у заздалегідь заданій послідовності для забезпечення економічності системи вентиляції.

Автоматичне регулювання температурою та іншими параметрами у вентильованому приміщенні потрібне для : підтримки параметрів повітряного середовища приміщення, необхідних для ефективної роботи людей, правильності різних технологічних процесів; запобігання перегріванню і переохолодженню приміщення, які призводять до невиправданих витрат енергії; надання можливості користувачам реалізувати власні вимоги відносно температури в заздалегідь зазначених розумних межах.

Дуже важливо, щоб СВ і САР проєктувались разом. Повітронагрівачі, повіtroохолоджуваці та їх регулювальні клапани і засувки мають бути правильно підібрані. Ефект запізнювання в САР[12] потребує аналізування.

По суті САР складається з контролера, тобто регулювального пристрою і джерела енергії.

A.5 Огляд динаміки та енергетичних характеристик вентиляторних установок з регульованим електроприводом

При проєктуванні і експлуатації вентиляційних установок необхідно забезпечити правильний вибір робочої точки, в якій продуктивність і тиск вентилятора відповідають характеристиці регульованого електроприводу змінного струму в якості приводу вентиляційної установки. В даний час в літературних джерелах вентиляційні установки розглядаються як єдиний технологічний комплекс спільно з електроприводом, а при проведенні досліджень режимів їх роботи в основному використовуються методи структурного моделювання. В цьому випадку здійснюється оцінка динаміки поведінки системи, проте відсутня можливість отримання інформації про

енергетичні характеристики. Тому варто використовувати комп'ютерні дослідження для коректного функціонування реальних вентиляційних установок.

У роботі вентиляторна установка представлена у вигляді єдиного технологічного комплексу, до складу якого входять: безпосередньо вентилятор і електропривод. Вибір структури електроприводу з частотно-регульованим короткозамкненим асинхронним електродвигуном пов'язаний з рекомендаціями провідних фірм-виробників і масовим застосуванням в даний час такої електромеханічної системи для турбомеханізмів, особливо для вентиляторів.

Для прикладу розглянемо відцентровий вентилятор головного провітрювання шахт і копалень ВЦ-16 (продуктивність 19,2 м³ / с, тиск 3110 Па, коефіцієнт корисної дії 0,85) з приводним асинхронним короткозамкненим електродвигуном ВА02-2802,10 (потужність 75 кВт, напруга 380 В, частота обертання 1000 об / хв).

Для проведення досліджень в середовищі MATLAB розроблена спеціальна імітаційна модель (рис. А.3), яка складається з декількох функціонально об'єднаних складових частин: віртуальної (силовий канал електроприводу), структурної (система управління) і математичної (вентилятор).

Силовий канал частотно-регульованого асинхронного електроприводу виконаний на основі віртуальних блоків спеціалізованого пакета SimPowerSystems за схемою перетворювача частоти з проміжною ланкою постійного струму і включає в себе наступні елементи (в дужках вказані основні параметри, що вводяться в поля налаштувань блоків в системі одиниць СІ):

AC - трифазна мережа змінного струму (лінійна напруга, частота мережі, опір і індуктивність джерела);

QF - силовий автоматичний вимикач на вході (опір в замкнутому стані);

AQF - блок управління автоматом (час подачі сигналів на включення / виключення);

UVI - трифазні датчики напруг і струмів (Вид накладень - лінійні або фазні);

LF - фільтр електромагнітної сумісності перетворювача частоти з мережею (опір і індуктивність);

U – випрямляч на діодах (опір вентилів, падіння напруги на них).

VT - транзистор IGBT (опір) підключення гальмівного резистора R (опір);

C - конденсаторний фільтр в ланці постійного струму (ємність);

UV - датчик напруги в ланці постійного струму (відсутні);

UZ - автономний інвертор напруги перетворювача частоти на транзисторних IGBT-модулях (опір у відкритому стані, падіння напруги на транзисторах і зворотних діодів);

M - асинхронний електродвигун з короткозамкненим ротором (потужність, напруга, частота мережі; опір і індуктивність статора; наведені до статора опір і індуктивність ротора; взаємна індуктивність; момент інерції, коефіцієнт тертя, число пар полюсів; початковий стан машини).

Залежно від технологічної ситуації управління вентиляторною установкою можна здійснювати за швидкістю ω , продуктивності Q або тиску H за рахунок введення в систему керування електроприводом негативного зворотного зв'язку по необхідній координаті. Оскільки швидкість і продуктивність вентилятора пов'язані між собою лінійною залежністю, то поведінка системи більш менш очевидна, тому варто розглянути можливості регулювання безпосередньо тиску вентилятора.

Система керування електроприводом побудована за сучасною структурою з одним цифровим ПІД-регулятором тиску AH. На вході встановлено стандартний задатчик інтенсивності першого порядку AI-1, який містить послідовно з'єднані нелінійний елемент з релейного характеристикою і цифровий інтегратор, охоплені одиничним негативним зворотнім зв'язком. Роль оператора машиніста виконує блок заданих значень тиску EH. Функціональний перетворювач FP формує рекомендований для вентиляторів закон управління $U / f^2 = const$

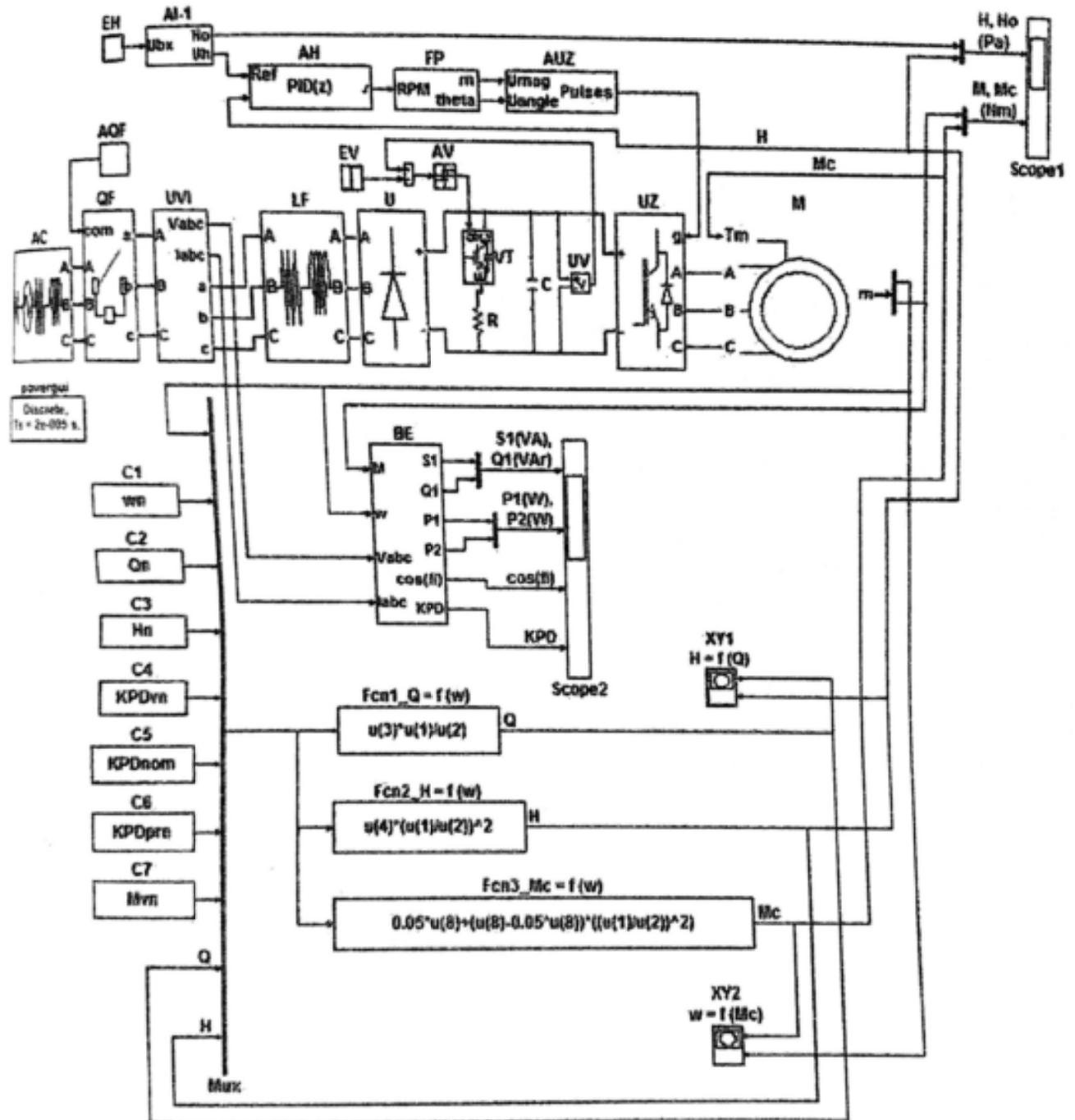


Рисунок А.3 – Імітаційна модель вентиляторної установки

Система управління автономним інвертором AUZ забезпечує режим ШІМ-модуляції із заданою частота комутації вентилів.

Управління блоком гальмівного резистора забезпечує нелінійний елемент AV відносно величини задається блоком EV максимальної напруги в ланці

постійного струму. Всі елементи керуючого каналу реалізовані на базі блоків основного пакету Simulink.

За допомогою віртуального осцилографа Scope1 є можливість фіксації характеру протікання перехідних процесів основних контролюваних координат: тиску, електромагнітного і статичного моментів двигуна (рис. А.4, а). Отримані діаграми, демонструють високу точність відпрацювання регульованою координатою по тиску в діапазоні $D = 2:1$. Стрибок моменту на початку запуску обумовлений пасивним характером навантаження при наявності моменту холостого ходу, з чим пов'язано деяке запізнювання по тиску на початку пуску.

Енергетичні показники асинхронного електроприводу вентилятора з частотним регулюванням визначаються підсистемою ВЕ, основний елемент якої є блок Active & Reactive Power, який з трифазної системи напруг і струмів після автоматичного вимикача виділяє активну P_1 і реактивну Q_1 складові споживаної потужності. За відомим залежностям визначаються повна потужність $S_1 = (P_1^2 + Q_1^2)^{1/2}$, коефіцієнт потужності $\cos\varphi = P_1 / S_1$, і коефіцієнт корисної $\eta = P_1 / P_2$, при цьому визначається і механічна потужність на валу двигуна $P_2 = M \cdot \omega$.

Протікання енергетичних процесів фіксуєте осцилографом Scope2 (див. рис.А.4, б), який виконаний чотирьохканальним відносно повної реактивної потужності, активної і механічної потужності коефіцієнта потужності, коефіцієнта корисної дії.

Слід зазначити незначне споживання частотно-регульованим електроприводом вентиляторної установки реактивної потужності, що дозволяє отримати $\cos\varphi = 0,96$ і вище, при цьому і коефіцієнт корисної дії досить високий $\eta \geq 0,95$

Модель самого вентилятора зібрана на базі універсального математичного блоку Fcn пакета Simulink, який по суті являє собою обчислювач необхідних функцій.

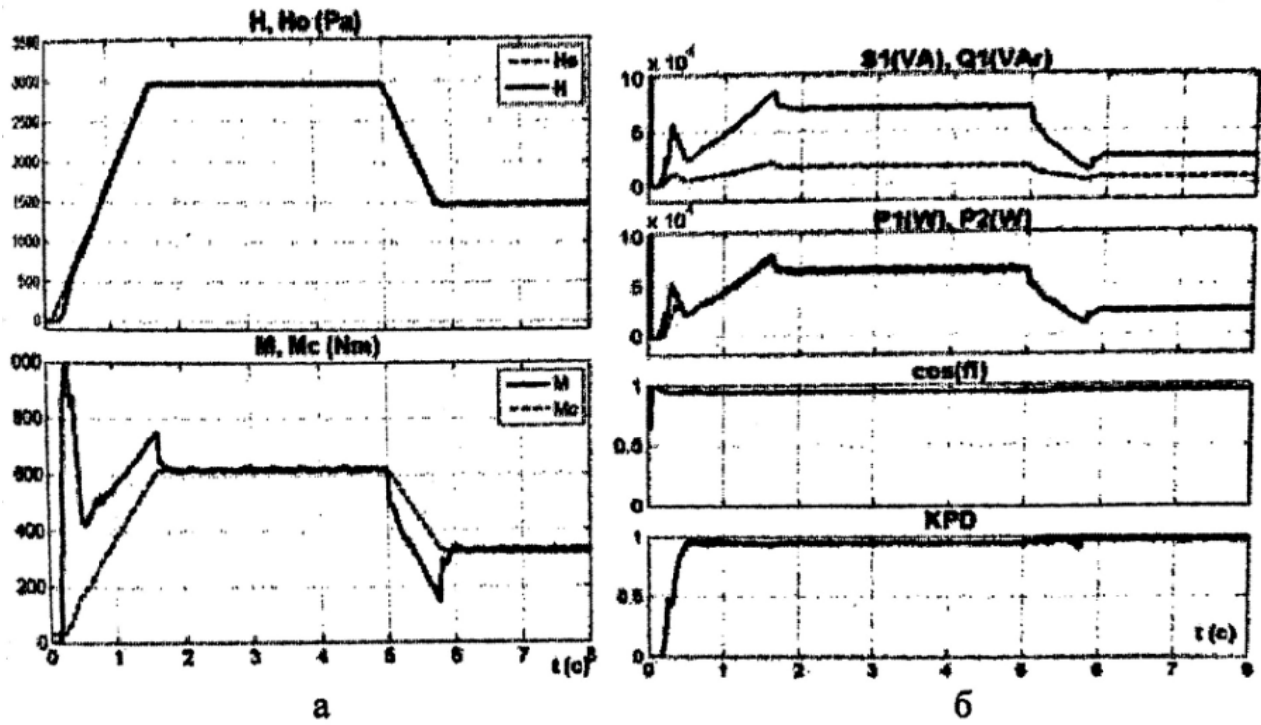


Рисунок А.4 - Графіки переходних процесів вентиляторної установки:

а – технологічні, б – енергетичні

Блоки Fcn1 і Fcn2 – реалізують залежність від швидкості відповідно продуктивності $Q = f(\omega)$ и тиску $H = f(\omega)$ вентилятора:

$$Q = Q_{\text{nom}} \cdot \frac{\omega}{\omega_{\text{nom}}} , \quad (3.1) \quad H = H_{\text{nom}} \cdot \left(\frac{\omega}{\omega_{\text{nom}}} \right)^2 , \quad \text{A.4)$$

де Q_{nom} - номінальна продуктивність вентилятора (паспортні дані), m^3 / s ;

ω_{nom} - номінальна робоча кутова швидкість двигуна (знаходитьться по аеродинамічним характеристикам вентилятора), $1/\text{s}$;

H_{nom} - номінальне повний тиск вентилятора (паспортні дані), Па.

Блок Fcn3 – обчислює момент статичного опору $M_c = f(\omega)$

$$M_c = M_{\text{xx}} + (M_{\text{e.nom}} - M_{\text{qu}}) \cdot \left(\frac{\omega}{\omega_{\text{nom}}} \right)^2 , \quad (3.3) \quad M_{\text{e.nom}} = \frac{Q_{\text{nom}} \cdot H_{\text{nom}}}{\eta_{\text{e.nom}} \cdot \omega_{\text{nom}}} , \quad \text{(A.5)}$$

де $M_{\text{e.nom}}$ - номінальний момент вентилятора, $\text{H}^* \text{M}$; $M_{\text{xx}} \approx 0,05 \cdot M_{\text{e.nom}}$ - момент холостого ходу, $\text{H}^* \text{M}$; $\eta_{\text{e.nom}}$ - номінальне значення ККД вентилятора.

Необхідні для реалізації наведених формул номінальні значення параметрів задаються блоками С1 ... С7 у вигляді констант. Використовуючи об'єднувач Мих обчислювачі вибирають необхідні сигнали і формують на виході поточні значення відповідних величин Q , H , M_c . Візуалізацію роботи моделі у вигляді фазових траєкторій забезпечують добудовники графіків XY1 - характеристика $H = f(Q)$ (рис. 3.3, а) і XY2 - залежність $\omega = f(M_c)$ (рис. А.5, б).

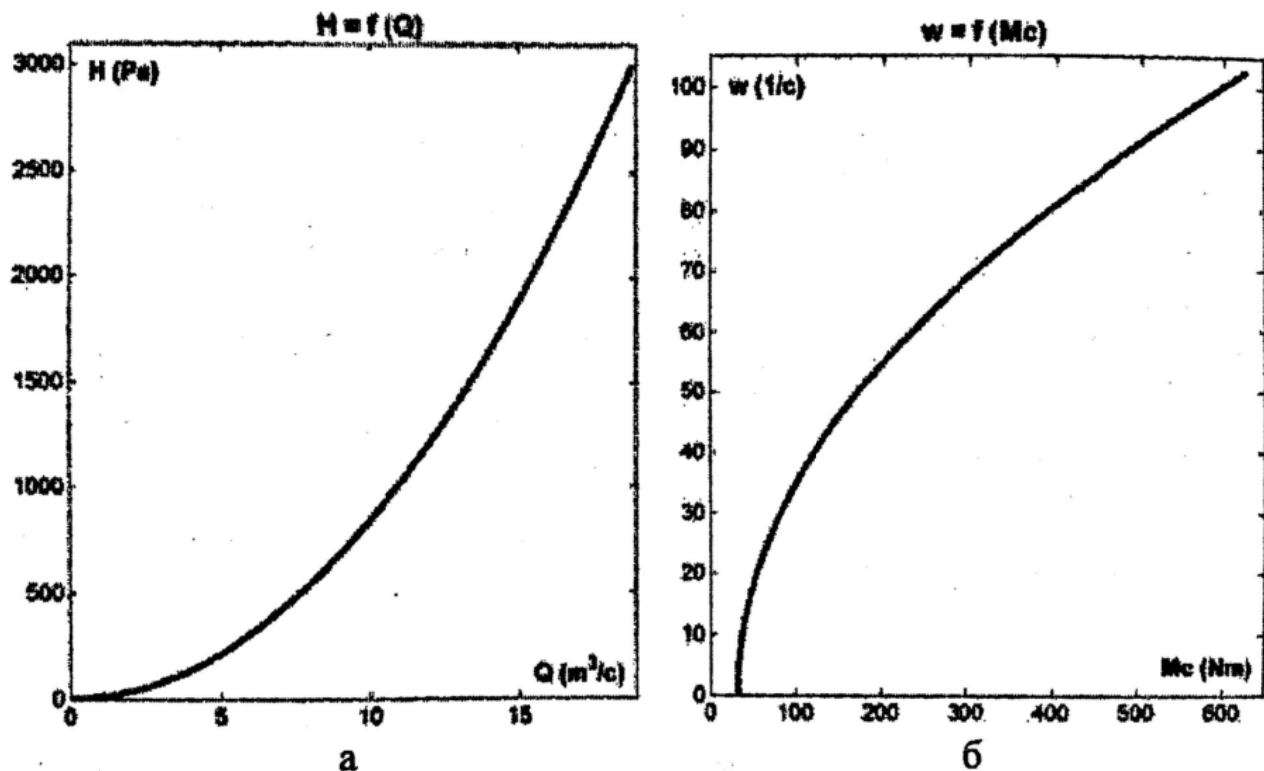


Рисунок А.5 – Статичні характеристики вентилятора:

$$a - H = f(Q), \quad b - \omega = f(M_c)$$

Залежність $H = f(Q)$ визначає оптимальні значення робочих точок вентиляційної мережі для будь-якого значення швидкості приводного двигуна вентилятора ω .

Графік $\omega = f(M_c)$ характеризує вентиляторний характер зміни навантаження з підвищеною точністю розрахунків, так як при визначенні значення моменту опору M_c в будь-який момент часу враховується величина кутової швидкості омега.

Отримані результати показують, що синтезована імітаційна модель вентиляційної установки дозволяє оцінити не тільки динаміку поведінки системи, а й енергетичні показники в разі використання віртуальної складової, котра враховує функціонування реальних електротехнічних елементів системи електроприводу.

Модель є універсальною для вентиляторів з частотно-регульованим електроприводом. Для отримання статичних, динамічних та енергетичних характеристик вентиляційної установки необхідно задати тільки номінальні параметри вентилятора і приводного електродвигуна[13].

A.6 Структурна схема об'єкта регулювання і передавальні функції окремих ланок

Асинхронний двигун не являє собою лінійну ланку. Для повного аналізу використовують складні математичні моделі і ЕОМ.

А при умові не насичення магнітного кола двигуна, симетричності фаз і т.д. найчастіше використовують еквівалентну двофазову модель двигуна у векторній формі.

Але найбільш спрощену модель можна отримати при лінеаризації робочої ділянки механічної характеристики. При цьому передатна функція регульованого двигуна може бути записана у вигляді аперіодичної ланки:

$$W(p) = \frac{M_d}{\omega_0 - \omega} = \frac{\beta}{T_\vartheta p + 1} \quad (\text{A.5})$$

В даному випадки вихідною координатою є момент на валу двигуна, тобто він розглядається як джерело моменту. У цьому випадки момент інерції самого двигуна доцільно віднесений до передавального пристрою ЕП.

Якщо доповнити передавальну функцію двигуна $W(p)$ ланкою K_d , що пов'язує керуючий вплив, в нашому випадку частоту, з різницею $\omega_0 - \omega$, а також функцією передачі механічної частини у вигляді одномасової схеми, тоді ми можемо отримати структурну схему асинхронного двигуна. А при доповненні

цієї схеми передавальної функції тиристорного регулятора напруги, яка може бути представлена у вигляді:

$$W_{TPH}(p) = \frac{K_{TPH}}{T_\mu p + 1} \quad (\text{A.6})$$

ми отримаємо необхідну структурну схему об'єкта регулювання.

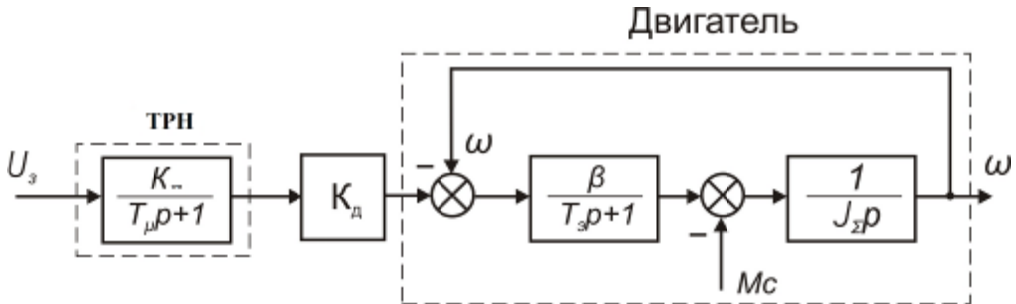


Рисунок А.4 - Структурна схема об'єкта регулювання

Розрахуємо параметри передавальних функцій для даної структурної схеми.

Передавальна функція тиристорного регулятора напруги буде мати вигляд:

$$W_{TPH}(p) = \frac{K_{TPH}}{T_\mu p + 1}$$

де,

$$K_{TPH} = \frac{U_n}{U_3} \text{ - коефіцієнт посилення ТРН.}$$

$$T_\mu = 0,01 \text{ - стала часу ТРН.}$$

Інші параметри схеми можна визначити по наступних спiввiдношеннях:

$$\omega_C = \frac{2 \cdot \pi \cdot f_H}{p} \quad (\text{A.7})$$

$$\omega_{O.H} = 2 \cdot \pi \cdot f$$

$$T_3 = \frac{1}{\omega_{O.H} \cdot S_{KH}}$$

$$\omega_H = \omega_C \cdot (1 - S_H)$$

$$M_H = \frac{P_H}{\omega_H}$$

$$\beta = \frac{M_H}{\omega_C - \omega_H}$$

$$J_M = 9 \cdot J_{\Delta}$$

$$J_{\Sigma} = J_{\Delta} + \frac{J_M}{i^2}$$

$$T_M = \frac{J_{\Sigma}}{\beta}$$

$$M_C = M_H$$

$$K_{\Delta} = \frac{2\pi}{p} - \text{коєфіцієнт передачі двигуна.}$$

На рисунку А.5 зображена структурна схема системи ТРН-АД з П-регулятором швидкості.

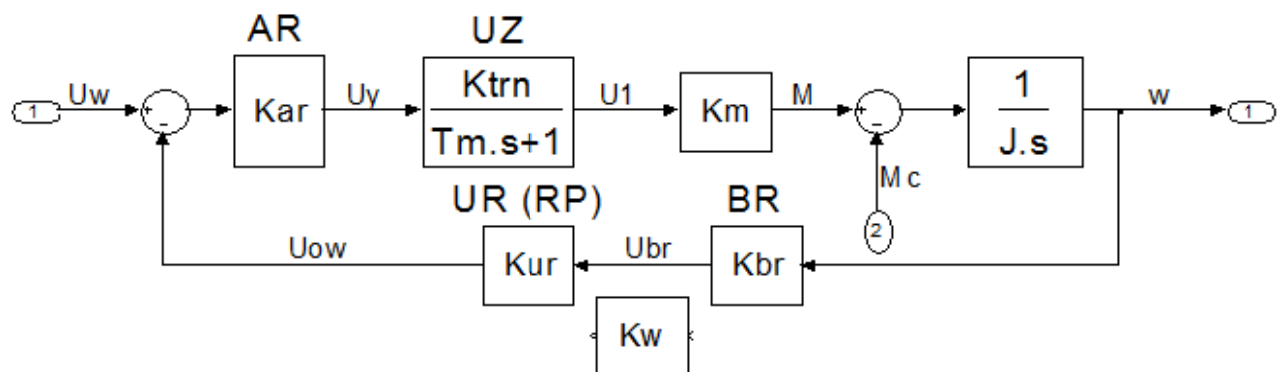


Рисунок А.5 – Структурна схема системи ТРН-АД з П-регулятором швидкості.